

# BRULION

Киренский Л.В.

МАГНЕТИЗМ



## Введение.

1. Физических тел, на которые бы не действовало магнитное поле не существует. Это следует просто из того факта, что всякое тело состоит из атомов, которые в свою очередь состоят из движущихся, т.е. обладающих электрическими зарядами. На великий электрический заряд  $e$ , движущийся в магнитном поле напряженности  $H$  со скоростью  $v$  будет действовать, как известно, сила Лоренца

$$\vec{F} = \frac{e}{c} [\vec{v} \vec{H}] \dots \dots (1)$$

которая будет как то возмущать траекторию этой заряда. Так как это произойдет в каждой заряженной частице в теле, то тело подвергнется какому то излучению при малейших на него магнитном поле.

2. Соотношение (1) указывает, что сила возмущающая движущийся заряд пропорциональна его скорости. Ввиду малости масс ядер и отсюда легкой леткости электронов, скорости последних значительно превышают скорости ядер. Отсюда а priori можно сделать вывод, что магнитные свойства тел определяются поведением электронов в них.

3. Однако поведение различных веществ в магнитном поле бывает различным. Общим во всех случаях является тот факт, что в теле, внесенном в магнитное поле индуцируется некоторый магнитный момент. Магнитный момент, рассчитанный на единицу объема, так называемая интенсивность намагниченности

$$J = \chi H \dots \dots (2)$$

где  $\chi$  - так называемая магнитная восприимчивость связанная с магнитной проницаемостью соотношением

$$\mu = 1 + 4\pi \chi \dots \dots (3)$$

Опыт дает, что возможны следующие случаи:

- а)  $\chi < 0$   $\mu < 1$  восприимчивость порядка  $10^{-6}$  и не зависит от температуры, (диамагнетизм)  $-3$   $-5$
- б)  $\chi > 0$   $\mu > 1$  восприимчивость порядка  $10^{-10}$ , как правило зависит от температуры (парамагнетизм)
- в)  $\mu \gg 1$ , кроме резкой зависимости от температуры, зависит от напряженности поля, а также от "предшествующей истории" неупорядоченного образца. (ферромагнетизм).

Ферромагнитные элементы всего 4. Парамагнетизм также не является свойством, общим для всех элементов, и проявляется только в тех веществах, атомы которых обладают некоторым постоянным, независящим от поля магнитным моментом.

Диамагнетизм присущ всем без исключения веществам и только перекрывается в некоторых из них более значительным по абсолютной величине парамагнетизмом или ферромагнетизмом.

В веществах, атомы которых лишены постоянного магнитного момента, диамагнетизм проявляется в чистом виде.

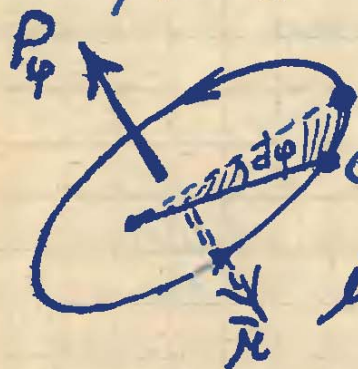
## Диамагнетизм.

1. Существование диамагнетизма может быть объяснено чрезвычайно просто исходя из закона электромагнитной индукции. В самом деле, если мы представим себе проводник, к которому приближается, например северный полюс постоянного магнита, то как известно, в проводнике возникнет индукционный ток такого направления, что он создаст магнитный момент, направленный против поля магнита. При обратном движении магнита индукционный ток в проводнике, вследствие наличия омического сопротивления будет нагревать, а затраченная работа уйдет на преодоление сил отталкивания при движении магнита переводит в дребулево тепло. Если бы проводник не обладал бы омическим сопротивлением, возбужденный ток бы не



2. Ядро атома будем считать неподвижным, а электрон движущимся вокруг ядра по эллиптической орбите. Орби-

тальный механический момент  $\bar{P}_\varphi = \frac{m}{e} \rho^2 \frac{d\bar{\varphi}}{dt}$



тальный магнитный момент  $\bar{\mu} = \frac{1}{c} \bar{J} S$

$$\bar{\mu} = \frac{e}{c\tau} \int_0^{2\pi} \frac{1}{2} \rho^2 \frac{d\bar{\varphi}}{dt} = \frac{e}{m e c} \int_0^{\tau} \frac{m}{2} \rho^2 \frac{d\bar{\varphi}}{dt} dt = \frac{e \bar{P}_\varphi}{2 m e c} \tau$$

$$\bar{\mu} = \frac{e}{2 m c} \bar{P}_\varphi$$

Направление  $\bar{\mu}$  всегда противоположно направлению  $\bar{P}_\varphi$ .

3. Из теории Бора известно, что  $P_\varphi = \frac{nh}{2\pi}$ , следовательно:

$$\bar{\mu} = \frac{e}{2 m c} \frac{nh}{2\pi} \quad \text{или}$$

$$\mu = n \frac{h e}{4\pi c m} \quad \text{или} \quad \mu = \mu_0 n$$

$\mu_0 = \frac{h}{4\pi c} \frac{e}{m} \sim$  элементарный магнитный момент т.ч. магнетон Бора.

$$\mu_0 = 9,24 \cdot 10^{-21} \text{ эргс/м (эрг. гаусс}^{-1}\text{)}$$

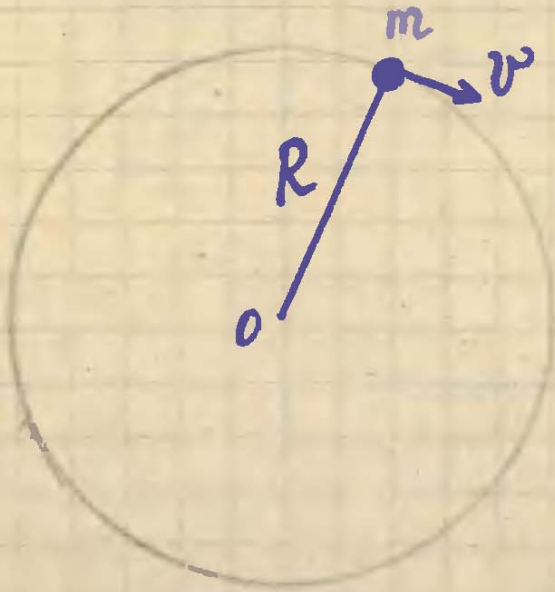
По Вейссу элементарный магнитный момент

$$\mu_W = 1,85 \cdot 10^{-21} \text{ эргс/м. т.е. почти ровно в 5 раз меньше.}$$

прекращаючись, пока не было бы убрано магнитное поле. Нетто аномалии мы имеем в атомах. Электроны, движущиеся вокруг ядра представляют собою токи, текущие без сопротивления. таким образом: диамагнетизм порождается индуцированными токами, текущими внутри атома.

таким образом, для того чтобы разобраться в явлениях диамагнетизма, необходимо рассмотреть поведение электронов, движущихся вокруг ядра в магнитном поле.

2.



Ядро атома будем считать неподвижным. Момент количества движения электронов по орбите (круговой

$$\bar{L} = m[\bar{R}\bar{v}] \dots (3)$$

Магнитный момент электронной орбиты

$$\bar{\mu} = \frac{1}{c} J \bar{S} \dots (4)$$

где  $\bar{S}$  - площадь орбиты,  $\bar{S} = \frac{1}{2} \int [\bar{R} d\bar{l}]$  или

$$\bar{\mu} = \frac{1}{2c} \int J [\bar{R} d\bar{l}] = \frac{1}{2c} \int [\bar{R} \bar{j}] dV$$

т.е.  $\bar{j} = \rho \bar{v}$ , т.о.

$$\bar{\mu} = \frac{1}{2c} \int [\bar{R} \bar{v}] \rho dV \dots (5)$$

т.е.  $[\bar{R} \bar{v}] = \text{const}$ , т.о.

$$\bar{\mu} = \frac{1}{2c} [\bar{R} \bar{v}] \int \rho dV \quad "$$

$$\bar{\mu} = \frac{e}{2c} [\bar{R} \bar{v}] \dots (6)$$

Сравнивая (3) и (6) - получим:

$$\vec{\mu} = \frac{e}{2mc} \vec{K} \quad (7)$$

Это чрезвычайно важный результат, показывающий, что механический момент всегда пропорционален магнитному моменту. Т.е. если вектор  $\vec{\mu}$  обратен по направлению вектору  $\vec{K}$ . Таким образом, если магнитный момент вообще есть результат движения электрических зарядов, то наличие магнитного момента, должно всегда сопровождаться наличием механического момента.



3. Если электронная орбита попадет в магнитное поле, то она будет испытывать некоторые возмущения и траектория электрона в старой системе отсчета, в которой электрон вращается вокруг ядра по плоской орбите до нахождения поля, станет весьма сложной.

Поэтому перейдем к новой системе отсчета, вращающейся около направления поля с некоторой угловой скоростью  $\vec{\omega}$ . Тогда на электрон, в этой новой системе координат, будут действовать силы:

- а) Сила Лоренца  $\frac{e}{c} [\vec{v} \vec{H}]$
- б) Центробежная  $m \vec{\omega}^2 \vec{r}$
- в) Корриолиса  $2m [\vec{v} \vec{\omega}]$

Если поле  $H$  не велико то  $m \vec{\omega}^2 \vec{r} \approx 0$  и мы можем подобрать такое  $\omega$ , чтобы:

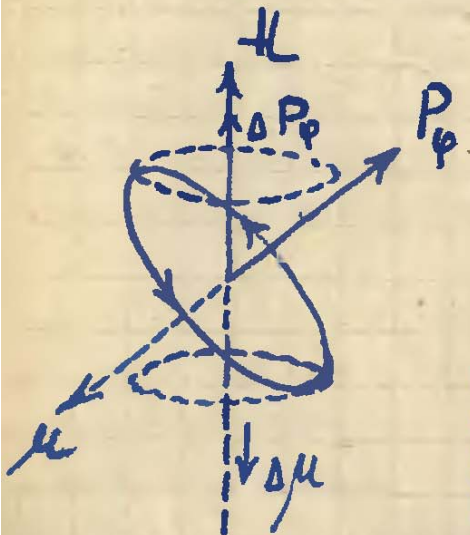
$$\frac{e}{c} [\vec{v} \vec{H}] + 2m [\vec{v} \vec{\omega}] = 0 \quad (8)$$

Тогда в этой новой системе координат не будет никаких новых добавочных сил и мы получим ту же плоскую орбиту электрона, но она будет в магнитном поле предсуществовать около неподвижного поля с угловой скоростью  $\vec{\omega}$ .

4. Попробуем вычислить дополнительную магнитную момент  $\Delta \mu$

$$\Delta \mu = \frac{e}{2mc} \Delta P_\varphi$$

$$\Delta \bar{P}_\varphi = m x^2 \bar{\omega}$$

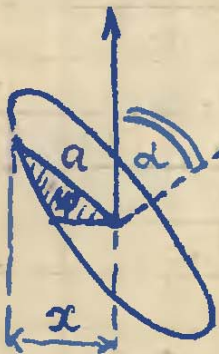


$$\Delta \bar{\mu} = \frac{e}{2mc} m x^2 \bar{\omega}$$

т.к.  $\bar{\omega} = -\frac{e}{2mc} \bar{H}$

$$\Delta \bar{\mu} = -\frac{e^2}{4mc^2} x^2 \bar{H}$$

таким дополнительным магнитным моментом одной электронной орбиты. Т.е.  $e^2$  всегда больше нуля, что это значит, что  $\Delta \bar{\mu}$  - всегда направлено против  $\bar{H}$ , что особенно очевидно видно при рассмотрении диаграммы для прецессии вектора в средней точке, где делаем попытку обмотать катушку ферромагнетиком катушкой магнитных атомов. Выходит так, а именно отталкивание с другими иди антипротект будет для атомов.



т.к.  $x$  - меняется со временем, но по формуле  $x^2 = a^2 (\cos^2 \varphi + \sin^2 \varphi \cos^2 \alpha)$ , то

$$\bar{x}^2 = \frac{a^2}{2\pi} \int_0^{2\pi} (\cos^2 \varphi + \sin^2 \varphi \cos^2 \alpha) d\varphi = \frac{a^2}{2\pi} (1 + \cos^2 \alpha)$$

Если атомов много, то угол  $\alpha$  принимает все возможные значения от  $0$  до  $\frac{\pi}{2}$ , то среднее из средних значений:

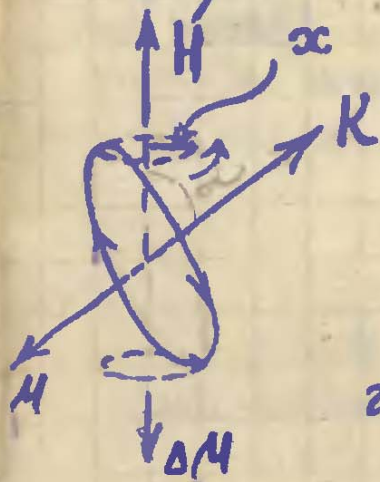
$$\bar{\bar{x}}^2 = \frac{\int_0^{\frac{\pi}{2}} \bar{x}^2 \sin \alpha d\alpha}{\int_0^{\frac{\pi}{2}} \sin \alpha d\alpha} = \frac{a^2 \int_0^{\frac{\pi}{2}} (1 + \cos^2 \alpha) \sin \alpha d\alpha}{2 \int_0^{\frac{\pi}{2}} \sin \alpha d\alpha} = \frac{a^2}{2} \left( 1 + \frac{x^3}{3} \right) \Big|_0^{\frac{\pi}{2}} = \frac{2}{3} a^2$$

Эта прецессия носит название прецессии Лармора  
указавшего на возможность такого рода прецессии  
в замкнутых молекулярных токах, еще в 1897 году.  
Из уравнения (8) имеем:

$\frac{e}{c} [\vec{v} \vec{H}] = -2m [\vec{v} \vec{\omega}]$  или т.е. на-  
правления  $\vec{H}$  и  $\vec{\omega}$  совпадают (так была выбрана  
наша новая система координат), т.е.:

$$\left\{ \vec{\omega} = -\frac{e}{2mc} \vec{H} \right\} \dots (9)$$

4. Расчет магнитной восприимчивости может  
быть проведен следующим образом:  
дополнительный магнитный момент электро-  
нов орбиты в результате прецессии:



$$\Delta M = \frac{1}{c} JS \dots (10)$$

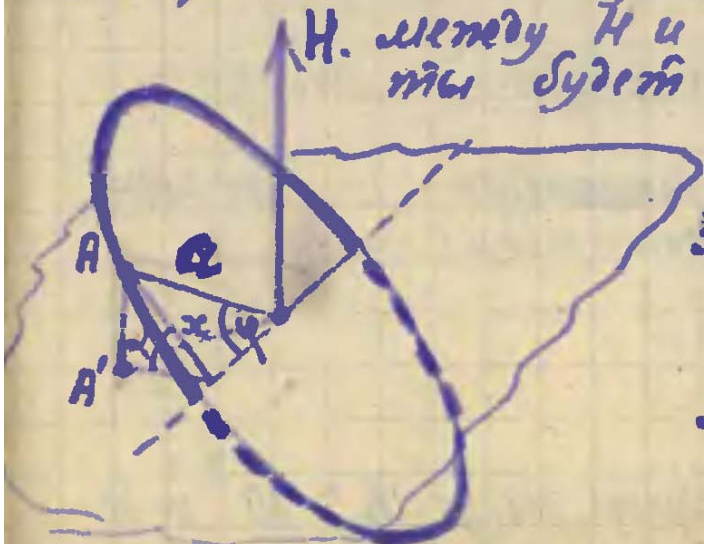
$$J = \frac{e}{T}; S = \pi \bar{x}^2 \text{ и (10) примет вид}$$

$$\Delta M = \frac{1}{c} \frac{e}{T} \frac{2\pi}{2} \bar{x}^2 = \frac{e}{2c} \omega \bar{x}^2$$

или подставив  $\omega$  из (9), получим:

$$\left\{ \Delta M = -\frac{e^2}{4mc^2} \bar{x}^2 H \dots (10) \right.$$

Величина  $\bar{x}$  очевидно, зависит от ориентации  
орбиты относительно направления магнитного  
поля. Очевидно следует подсчитать  $\bar{x}^2$ . Пусть угол  
 $\alpha$  между  $\vec{H}$  и нормалью к плоскости орби-  
ты будет  $\alpha$ . Очевидно:



$$x^2 = a^2 \cos^2 \varphi + a^2 \sin^2 \varphi \cos^2 \alpha \text{ и}$$

$$\bar{x}^2 = \frac{a^2}{2\pi} \int_0^{2\pi} (\cos^2 \varphi + \sin^2 \varphi \cos^2 \alpha) d\varphi \text{ и}$$

$$\bar{x}^2 = \frac{a^2}{2} (1 + \cos^2 \alpha) \dots (11)$$



II С точки зрения теории строения атомов <sup>в точности</sup> диаметриками должны быть атомы с замкнутыми электронными оболочками. (инертные газы, почти все органические соединения, некоторые металлы).

Различают: элементарные диаметрики - все инертные газы, металлы, цинк, серфер, золото, платина, и много органических соединений.  
 $\chi \sim 10^{-6}$  и не зависят от температуры.

Атомные диаметрики: вольфрам, серебро, платина, графит. В атоме сферическая симметрия.  $\chi \approx 10^{-4} - 10^{-5}$ . Кроме того у в-аксакии зависят от температуры, зависят периодической структуры кристалла.

3) Сверхпроводники. Некоторые металлы при температуре близкой к абсолютному нулю ( $T \approx 10^{-2} K$ ) обладают аномальными свойствами и являются сверхпроводниками. Суть в том, что при этом сопротивление падает до нуля. В сверхпроводниках  $B=0$ .

$$B = H + 4\pi J \text{ отнюдь}$$

$$J = \chi H = -\frac{1}{4\pi} H \text{ для сверхпроводника отрицательно}$$

$$\chi = -\frac{1}{4\pi} \gg |10^{-6}|$$

Это справедливо даже в случае критической температуры  $H_c$  при которой сверхпроводимость исчезает, а в сверхпроводнике магнитное поле, проникающее вглубь сверхпроводника от внешних полей. Заключается теория от Купера.

### 4) Диаметрики свободных электронов (Ландау)

Согласно квантовой теории Лоренца диаметриками свободных электронов являются только свободные электроны. Ландау показал, что

$$\chi_{эл} = -\frac{4\pi N_0^2}{N^2} \pi^{\frac{1}{3}} \left(\frac{\pi}{3}\right)^{\frac{2}{3}}$$

$N$  - число свободных электронов в единице объема.  $\chi_{эл} \sim 10^{-6}$ , но не имеет чёткой периодичности.

Если в веществе много атомов, причем в каждом есть орбита радиуса  $a$ , то ввиду всех возможных ориентаций этих орбит, среднее значение  $x^2$  найдем его

$$\overline{x^2} = \frac{\int_0^{\frac{\pi}{2}} x^2 \sin \alpha d\alpha}{\int_0^{\frac{\pi}{2}} \sin \alpha d\alpha} = \frac{\int_0^{\frac{\pi}{2}} a^2 (1 + \cos^2 \alpha) \sin \alpha d\alpha}{2 \int_0^{\frac{\pi}{2}} \sin \alpha d\alpha}$$

$$\left\{ \overline{x^2} = \frac{2}{3} a^2 \dots \right\} \dots \dots (12) \text{ среднее по орбите}$$

т.е. в среднем две трети орбит ориентированы перпендикулярно полю. Если в объеме  $\xi$  атомов, то дополнительный магнитный момент на атом

$$\Delta M_0 = -\frac{e^2}{4\pi c^2} \frac{2}{3} \sum_{i=1}^{\xi} a_i^2 H \dots (13)$$

На граммаграмм.  $M = -\frac{e^2 N}{6\pi c^2} \sum_{\xi} a_i^2 H$  и

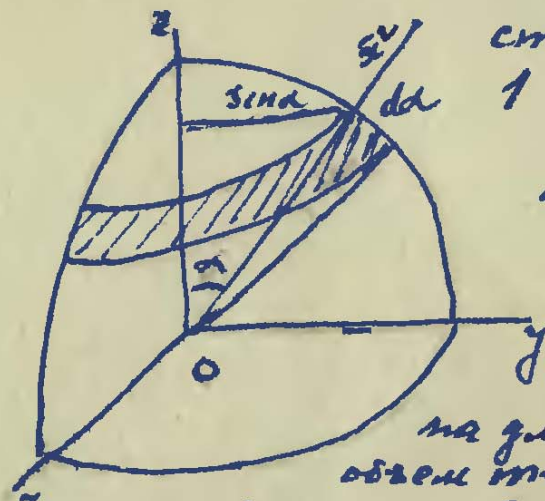
грамматрица восприимчивость:

$$\chi_a = -\frac{e^2 N}{6\pi c^2} \sum_{\xi} a_i^2 \dots (14) \text{ формула Ланжевена-Лоренца}$$

Удельная:  $\chi_0 = -\frac{e^2 N}{6\pi c^2} \frac{\sum a_i^2}{A} \dots (15)$

5. Хотя явление диамагнетизма существует в любом веществе, однако для веществ, атомы которых имеют постоянный магнитный момент, диамагнетизм будучи перекрытым более сильными парамагнетическим на опыте не наблюдается.

Диамагнетизм в чистом виде наблюдается у веществ, атомы которых не обладают постоянными магнитными моментами. Такие вещества носят название диамагнетиков. Величина восприимчивости диамагнетиков не зависит от температуры, как это видно из формулы (15). Этот факт был установлен



Возьмем на поверхности  
 сферического радиуса  
 1 поперечную площадь  
 $2\pi \sin \alpha d\alpha$

Для точек этой по-  
 лоски

$$\bar{x}^2 = \frac{a^2}{2} (1 + \cos^2 \alpha)$$

Продолжим радиус  
 на длину  $\bar{x}^2$  и вычислим  
 объем тела высотой  $\bar{x}^2$  и

основанием  $2\pi \sin \alpha d\alpha$ , элемент  $2\pi \int_0^{\frac{\pi}{2}} \bar{x}^2 \sin \alpha d\alpha$

Для определения среднего  
 объема на поверхности сферы

$$2\pi \int_0^{\frac{\pi}{2}} \sin \alpha d\alpha = 2\pi$$

Кюри еще в 1894 году.

Опыт дает для твердых тел, восприимчивости (удельные) порядка  $10^{-6} - 10^{-7}$ .

$$\chi_0 = -1,40 \cdot 10^{-6} \text{ у висмута}$$

$$-0,085 \cdot 10^{-6} \text{ " меди}$$

$$-1,87 \cdot 10^{-6} \text{ двуатомный водород}$$

Большие значения для титана имеют диамагнитные жидкие газы

$$\text{He } \chi_0 = -0,47 \cdot 10^{-6}$$

$$\text{Ne } -0,33 \cdot 10^{-6}$$

$$\text{Ar } -0,45 \cdot 10^{-6}$$

Диамагнитны почти все органические соединения.

6. Кристаллы обладают диамагнитной анизотропией. Так атомы восприимчивости

$$\chi_{a||} = -26,4 \cdot 10^{-6}$$

$$\chi_{a\perp} = -155,0 \cdot 10^{-6}$$

Висмут и сурьма обладают аномальными большими диамагнитными свойствами

$$\text{Bi } \chi_a = -293 \cdot 10^{-6}$$

$$\text{Sb } -108 \cdot 10^{-6}$$

$$\text{Однако при плавлении Bi } \chi_a = -17,1 \cdot 10^{-6}$$

$$\text{Sb } = -3,6 \cdot 10^{-6}$$

Кроме того, при низких температурах у Bi восприимчивость перемещается в область парамагнетизма. ( $T = 14,2 \text{ K}$ )

# 1. Нормальный парамагнетизм.

Парамагнетизм свободных атомов, ионов, молекул с магнитными моментами, отличными от нуля. Газы  $O_2$ ,  $NO$ , редкие земли, соли  $Fe$ ,  $Co$ ,  $Ni$  и  $Fe$ ,  $Ni$ ,  $Co$  при  $T > \theta_{\phi}$   $\theta_{\phi}$  - точка Кюри (ферромагнитная)

$$\chi = \frac{C}{T} - \text{закон Кюри. } C - \text{константа Кюри.}$$

Однако чаще подчиняются закону:

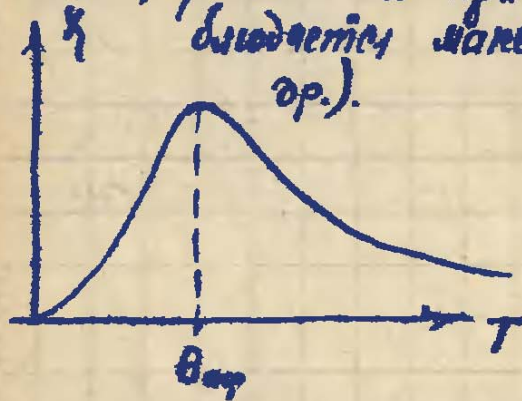
$$\chi = \frac{C}{T - \theta} - \text{закон Кюри-Вейсса.}$$

$\theta$  - парамагнитная точка Кюри. Может быть и больше и меньше 0. Для ферромагнетиков  $\theta$  обычно выше  $\theta_{\phi}$ . При очень низких  $T$  - закон Кюри-Вейсса перестает быть справедливым (Кристаллические аномалии).

# 2. Парамагнетизм "свободных электронов" в металлах.

$\chi$  - практически не зависит от температуры ( $\chi \sim 10^{-7} - 10^{-6}$ )

# 3. Антиферромагнетики. - Кристаллические тела элементов переходных групп. $\chi$ - зависит от температуры. Для них существует некоторая критическая температура $\theta_{\text{аф}}$ . при $T > \theta_{\text{аф}}$ антиферромагнетики подчиняются закону Кюри-Вейсса с $\theta < 0$ . при $T < \theta_{\text{аф}}$ $\chi$ убывает и при $T \rightarrow 0$ , $\chi \rightarrow 0$ . т.е. при $T = \theta_{\text{аф}}$ $\chi$ имеет максимум. При $T = \theta_{\text{аф}}$ $\chi$ достигает максимума теплоемкости. ( $MnO$ , $MnS$ , $NiCl_2$ , $FeS_2$ и др.).

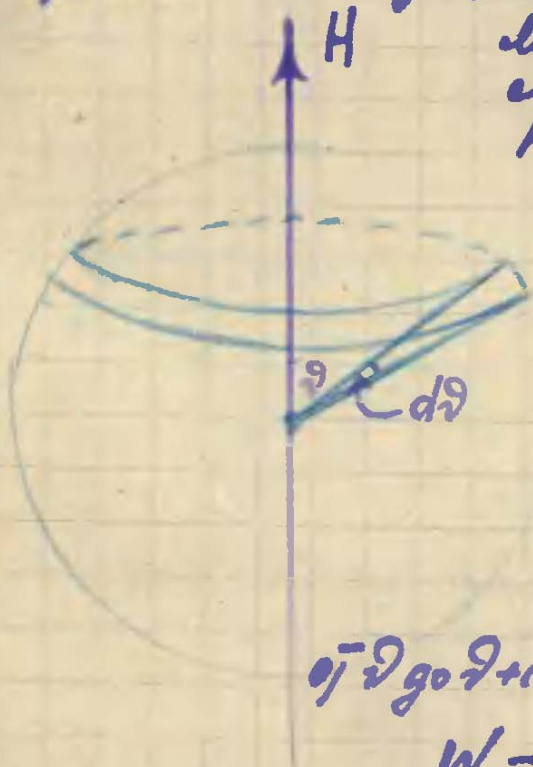


# 4. Диамагнетики. $CoCl_2$ , $FeCl_2$ , $CaCl_2$ и др. имеют аномалии при низких температурах. $\chi$ - зависит от поля, аномалии зависят от температуры, а также температуры.

# Парамагнетизм.

1. Если атомы обладают некоторым постоянным магнитным моментом, то тогда помимо диамагнетизма, обусловленного Ларндровской процессией электроинных орбит, магнитный момент каждого атома будет стремиться повернуться в поле. Однако, такому ориентирующему действию поля будет препятствовать тепловое движение а также возможные связи между атомами. Очевидно рассмотрение будет наиболее простым в том случае, если связи между атомами (или молекулами) отсутствуют. В этом случае ориентирующему действию поля будет препятствовать исключительно дезориентирующее действие теплового движения. Этот случай obviously относится к парамагнитным газам.

2. Теория парамагнетизма впервые была дана Лантжевеном в 1905 году.



Магнитная энергия элементарного магнитного момента  $\mu$  в поле  $H$  под углом  $\alpha$  к полю, будет:

$$E = -\mu H \cos \alpha \dots (16)$$

Согласно теории Больцмана, вероятность того, что данный магнитный момент, направленный которого составляет угол  $\alpha$  с направлением поля, будет (вернее

$$e^{-\frac{E}{kT}} = e^{\frac{\mu H \cos \alpha}{kT}}$$

$$W = \int e^{\frac{\mu H \cos \alpha}{kT}} \sin \alpha d\alpha \dots (17)$$

Если согласно Лантжену примем, что  $\alpha$  мал, т.е. среднее значение момента, направленного в поле, будет

$$\bar{\mu} = \frac{\int \mu \cos \alpha e^{\frac{\mu H \cos \alpha}{kT}} \sin \alpha d\alpha}{\int e^{\frac{\mu H \cos \alpha}{kT}} \sin \alpha d\alpha} \dots (18)$$

Обычно область приложенных полей  $\sim 10^3$ , область температур  $\sim 10^2$

$$\alpha = \frac{\mu H}{kT} \approx \frac{9,2 \cdot 10^{-21} \cdot 10^3}{1,38 \cdot 10^{-16} \cdot 10^2} = 6,66 \cdot 10^{-4} \text{ т.о. } \alpha \ll 1.$$

при  $\alpha \ll 1$ ,  $e^{\pm \alpha} = \frac{1}{\alpha} + \frac{\alpha}{3} - \frac{\alpha^3}{45} + \dots$

$$L_{\infty}(\alpha) = \frac{\alpha}{3} \quad \text{или} \quad L_{\infty}(\alpha) = \frac{\mu H}{3kT}$$

Табличные интегралы:

$$\int e^{ax} dx = \frac{e^{ax}}{a}; \quad \int e^{ax} x dx = e^{ax} \left( \frac{x}{a} - \frac{1}{a^2} \right)$$

или

$$\frac{\overline{\mu}}{\mu} = \frac{\int_0^{+\infty} e^{-\frac{\mu H \cos \vartheta}{kT}} \sin \vartheta d\vartheta}{\int_0^{+\infty} e^{-\frac{\mu H \cos \vartheta}{kT}} \sin \vartheta d\vartheta} \dots (19)$$

Обозначим  $\frac{\mu H}{kT} = a$ ;  $\cos \vartheta = x$   
 $-\sin \vartheta d\vartheta = dx$

$$\frac{\overline{\mu}}{\mu} = \frac{\int_{-1}^{+1} e^{-ax} x dx}{\int_{-1}^{+1} e^{-ax} dx} = \frac{e^{-ax} \left( \frac{x}{a} - \frac{1}{a^2} \right) \Big|_{-1}^{+1}}{e^{-ax} \frac{1}{a} \Big|_{-1}^{+1}};$$

$$\frac{\overline{\mu}}{\mu} = \frac{e^{-a} + e^{-a}}{e^{-a} - e^{-a}} - \frac{1}{a} \dots (20)$$

$$\frac{e^{-a} + e^{-a}}{e^{-a} - e^{-a}} = \operatorname{ctgh} a \quad \text{т.о.}$$

$$\frac{\overline{\mu}}{\mu} = L_{\infty}(a); \quad \left\{ L_{\infty}(a) = \operatorname{ctgh} a - \frac{1}{a} \dots (21) \right.$$

Пусть  $a = \frac{\mu H}{kT} \ll 1$ . Тогда разлагая в ряд, и ограничиваясь  $a^2$  поучим

$$L_{\infty}(a) = \frac{a}{3} = \frac{\mu H}{3kT} \dots (22)$$

и т.о.  $\overline{\mu} = \frac{\mu^2 H}{3kT} \dots (23)$



На один граммоль получаем

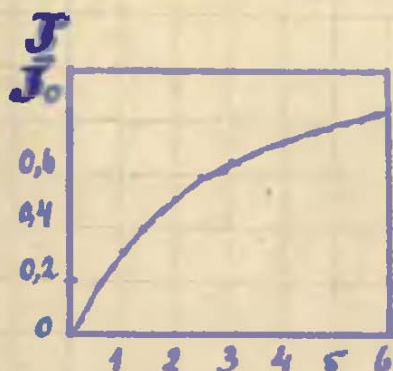
$$\chi_a = \frac{\mu^2 N}{3kT} \dots (24)$$

или 
$$\chi_a = \frac{\mu^2 N^2}{3RT} \dots (25)$$

Таким образом получаем известный закон Кюри

$$\chi_a = \frac{C_a}{T} \dots (26)$$

3.



Закон Кюри, полученный для парамагнитных газов, оказывается справедливым не только для газов, но и для растворов и даже для многих твердых тел.

Особенно хорошо функцию Лантеса-а Вена удовлетворяет для серпико-слот гидомини

ход функции Лантесена.

$3 Gd_2(O_3)_3 \cdot 8 \cdot H_2O$   
 вплоть до  $1,31^\circ K$   
 № 22230 эрстед.

4. Из (26) следует, что  $\frac{1}{\chi} = \frac{T}{C}$ . Однако прямые отек имеют не проведать через начало координат. Вейсс поэтому предложил вместо закона 26, несколько более сложный закон Кюри-Вейсса.

$$\frac{1}{\chi} = \frac{T - \theta}{C} \dots (27)$$

$\theta$  - парамагнитная точка Кюри, может быть как положительной так и отрицательной.

(См. Ландсберг и Лиденский рис 14 стр 50).

Для ферромагнитных  $\theta$  почти совпадают (несколько выше) с ферромагнитной точкой Кюри, т.е. с той температурой, при которой ферромагнитник теряет свои ферромагнитные свойства, превращаясь в парамагнитное тело. (Ландсберг рис 15 стр. 54)

5. Кривомагнитной аномалия - отступлению от закона Кюри-Вейсса при очень низких температурах. Кривые (№№ 18, 19 см. Лондону и Введенский стр. 60-61.)

6. В 1911г. Вейсс предположил атомистическое строение магнетизма. "Атом магнетизма" получил название магнетона Вейсса ( $M_w$ ), согласно теории парамагнетизма предполагается элементарный магнетон равен магнетону Вейсса

$$\chi_a = \frac{M_w^2 N}{3k} \quad \text{откуда:}$$

$$M_w^2 = \frac{3k\chi_a}{N} \quad \dots \quad (28)$$

Кроме того магнетон Вейсса определяется по приближению к насыщению с помощью температуры у ферромагнетиков. У Вейсса получены

$$\left\{ M_w = 1,85 \cdot 10^{-21} \text{ эрг} \right\}$$

7. Магнитные свойства металлов - чистых элементов обнаруживают либо независимость от температуры диамагнетизма, либо парамагнетизма - также независимый от температуры.

Для вычисления магнитных свойств электронов проводимости лучше всего обратиться к щелочным металлам: Li, K, Na, Rb, Cs. Если решетка металла ионная, то Li<sup>+</sup> аналогичен He, K<sup>+</sup> ~ Ne, Na<sup>+</sup> ~ Ar, Rb<sup>+</sup> ~ Xe, Cs<sup>+</sup> ~ Rn (радон). Благородные газы диамагнитны, также как это следует из растворов солей, диамагнитны ионы щелочных металлов.

Тогда

$$\chi_a = \chi_j + \chi_e \quad \dots \quad (29)$$

где  $\chi_a$  - молярная восприимчивость щелочного металла

$\chi_j$  - " " " " ионов

$\chi_e$  - " " " " электронов проводимости

эле- мент	$\chi_a \cdot 10^6$ наблюд.	$\chi_j \cdot 10^6$	$\chi_e \cdot 10^6$
Li	3,5	-0,665	4,165
Na	14,45	-3,74	19,19
K	20,05	-13,06	33,05
Rb	17,00	-24,05	41,05
Cs	28,6	-37,21	65,81
Cu	-5,4	-19,26	14,26
Ag	-20,7	-42,20	21,4
Au	-29,6	-58,33	28,78

(Цирконий Cs).

Медь в металле образует  
ион  $Cu^{++}$  с ионно  
парамагнетизмом и след.  $\chi_e$   
должна быть ионно пара-  
магнетиком.

т.о. Электроны проводимости вызывают  
парамагнетизм, он присутствует даже в  
диалектичных телах. Значит и парамагнетизм  
перекрывает диалектицизм.

Опыт дает, что  $\chi_e$  не зависит от этих ме-  
таллов от температуры. Следовательно пара-  
магнетизм электронов проводимости не зависит  
от температуры.

В 1930г. Ландау показал, что "свободным" электро-  
нам присущ и диалектицизм, причем диалек-  
тицизм составляет  $\frac{1}{3}$  от электроинного пара-  
магнетизма.

# Ферромагнетизм

Розини 1892г.  
N=0.

1. Известно, что даже в слабых полях в ферромагнетиках возникает чрезвычайно сильное намагничение. Этот факт Вейсе пытался истолковать введя так называемую молекулярную полн (1907). Т.е. по Вейсе в ферромагнетике должен присутствовать внешний поле  $H$ , а  $H + H_m$  где  $H_m$  внутреннее молекулярное поле, которое по Вейсе

$$H_m = \alpha J \dots (30)$$

пропорционально интенсивности намагниченности. Т.е. можно принять полнотью теорию Ланжевона, но с той разницей, что вместо внешнего поля  $H$  будет действовать полн эффективное

$$H_i = H + H_m = H + \alpha J \dots (31)$$

т.е. мы получим:

$$\left. \begin{aligned} \frac{J}{J_0} &= C \tanh a - \frac{1}{a} \dots \\ a &= \frac{MH}{kT} + \frac{M\alpha J}{kT} \dots \end{aligned} \right\} \dots (32)$$

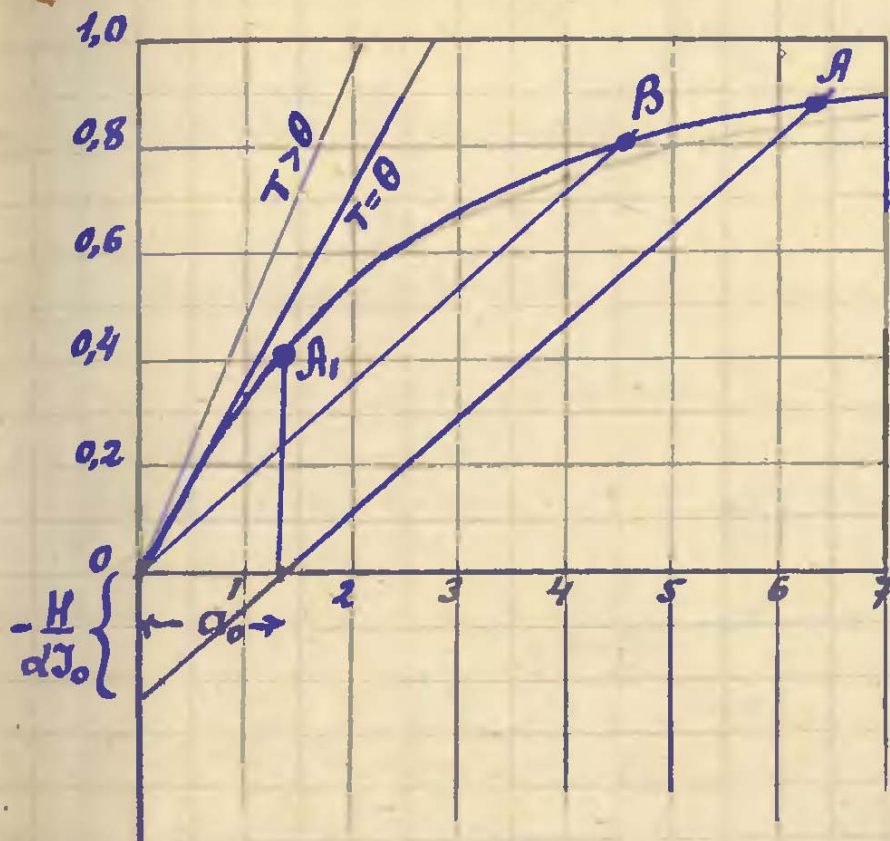
т.е. получим:

$$\frac{J}{J_0} = C \tanh a - \frac{1}{a} \dots (33)$$

$$\frac{J}{J_0} = \frac{kT}{M\alpha J_0} a - \frac{H}{\alpha J_0} \dots (34)$$

Решение с помощью исключения параметра  $a$  чрезвычайно запутано. Поэтому обычно решают уравнения (33) и (34) с помощью графика. Первая функция от  $a$  (33) это убывающая кривая  $L(a)$ , вторая - прямая, отсекающая на оси  $\frac{J}{J_0}$  отрезок  $-\frac{H}{\alpha J_0}$  и на оси абсцисс отрезок  $a_0 = \frac{MH}{kT}$  т.е. значение  $a$  при данной температуре в отсутствие молекулярного поля.

$$a_0 = \frac{\mu H}{kT}$$



Если  $H=0$ , то наклон  
кривой ушка будет  
определяющей вели-  
чиной

$\frac{kT}{\mu \alpha J_0}$  причем воз-  
можны следующие слу-  
чаи:

1)  $\alpha$

$$1) \frac{kT}{\mu \alpha J_0} > \frac{1}{3}$$

тогда оба уравнения (33)  
и (34) имеют общее ре-  
шение, дающее т.о. в от-  
сутствии поля  $J=0$ . т.е. намагниченности нет.

2)  $\frac{kT}{\mu \alpha J_0} < \frac{1}{3}$  Тогда (33) и (34) имеют два общие решения  
0 и B. Причем для B в отсутствие  
поля  $J \neq 0$ , т.е. возникает самопроизвольный, спонтан-  
ный намагниченность. Причем из этого решения, да-  
ющего точки 0 и B, устойчивым будет второе, т.е.  $J \neq 0$ . В самом деле, пусть даже вначале  $H_{ext} = 0$ . Но по  
действием каких либо крития появится небольшое на-  
магниченности где либо. Тогда сразу же возникнет ма-  
гнетонное поле, которое в свою очередь будет увеличи-  
вать намагниченность, что будет еще вест к росту  
поля, пока  $J$  не достигнет значения, соответствую-  
щего значению при данной температуре. Случай  $\frac{kT}{\mu \alpha J_0} < \frac{1}{3}$   
соответствует ферромагнитному состоянию.

3) Случай  $\frac{kT}{\mu \alpha J_0} = \frac{1}{3}$  очевидно соответствует переходному  
т.о. состоянию, а T — точка Кюри  $\theta$ .

т.о.

$$\frac{k\theta}{\mu \alpha J_0} = \frac{1}{3} \quad \text{Откуда:}$$

$$\theta = \frac{\mu \alpha J_0}{3k} \quad (35)$$

α τ.κ.  $J_0 = \mu N, \text{ τ.ο.}$

$$\theta = \frac{\mu^2 N}{3\kappa} \alpha \dots (36)$$

2. Οδύρε εσοτήκολεκε

$$J = \chi H$$

2.1) φερρομαγνητικός πυκνωτής βυδ:

$$J = \chi(H + \alpha J) \dots (37)$$

υ.υ.υ  $J = \chi H + \chi \alpha J \quad J(1 - \chi \alpha) = \chi H$

$$J = \frac{\chi}{1 - \chi \alpha} H$$

$\chi = \frac{c}{T}$  ελεγεβατέλεκο:  $J = \frac{\frac{c}{T}}{1 - \frac{c\alpha}{T}} H = \frac{\frac{c}{T}}{T - c\alpha} H$

$$J = \frac{c}{T - c\alpha} H \quad \text{υ τ.ο.}$$

$$\chi_T = \frac{c}{T - \theta} \dots (38)$$

2.2)  $\theta = c\alpha = \frac{\mu^2 N}{3\kappa} \alpha \dots (39)$

Β εολεκευ ε Ζεκοκου Ηοτυ-Βεύερα.

3. Υραβεκευ (33) υ (34) ποζλοκευή τέολεκε υετέοκοβευε Ζεβεκεοετέ επυτέολεκου κεμαγεκευε οη τέλεπυρατέυε.

$$\frac{J_s}{J_0} = C \tanh a - \frac{1}{a} \dots (40)$$

$$\frac{J_s}{J_0} = \frac{\kappa T}{\mu \alpha J_0} a \dots (41)$$

$\frac{\kappa T}{\mu \alpha J_0} a = \frac{T}{3\theta} a$  εολεκευ (35), ποζτέοκευ:

таким образом:

$$\left. \begin{aligned} \frac{J_s}{J_0} &= \alpha \rho h a - \frac{1}{a} \\ \frac{J_s}{J_0} &= \frac{T}{3\theta} a \end{aligned} \right\} \dots (42)$$

и

$$\left\{ \frac{J_s}{J_0} = f\left(\frac{T}{\theta}\right) \dots (43) \right.$$

Является универсальной функцией для всех ферромагнетиков. Сравнение с опытом дается на кривой п 24 (Ландсберг и Медведский стр. 91).

4. Спонтанные намагничивания впервые рассматриваются Вейссом - как спонтанные намагничивания зерен. Однако крупная теория монокристаллов не намагничивалась. Поэтому Вейссу пришлось ввести понятие областей спонтанного намагничивания.

5. Для ферромагнетиков  $\alpha \approx 10^4$ , при поле внешнем 1 эрстед  $J \approx 800$ . Тогда молекулярное поле Вейсса

$$H_m \approx 8000000 \text{ эрстед}$$

Поэтому сразу на отбросе пошатки сомнения попытки Вейсса использовать намагниченность молекулярного поля магнитными силами.

6. Точка Кюри - верхняя область Кюри - идентифицируется ферромагнитных свойств не стала редкой и есть функция поля. рис. 25. (стр. 92).

7. Эфект Гопкинсона  $J = f(T)$  в слабом поле. (стр. 93. рис. 26).

8. Трудности классической теории.

а) Величина молекулярного поля.

б) В парамагнетиках при  $T=0$  по теории Ландсберга было бы беспричинное расщепление уровней, что соответствует

отвечет конкретному значению энергии,  
 3) Теория Лауриенса - Кейса внутренне противоречива,  
 ибо в классической физике радиусе молекулярных орбит  
 может быть сколь угодно малым, что исключает существование  
 малых элементов.

9. Выход может быть найден только с помощью  
 квантовой теории.

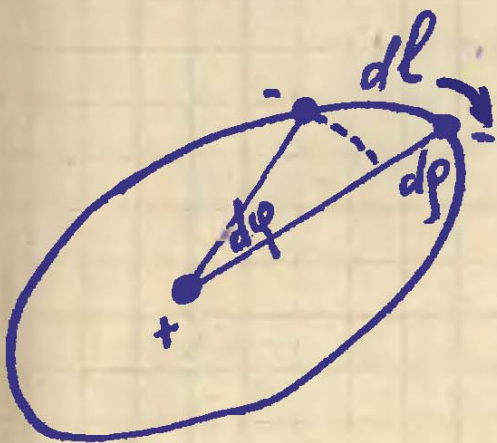
## Некоторые вопросы строения атома.

1. Водородоподобный атом по Бору-Зоммерфельду.  
 Основной постулат: Если мы имеем квази-  
 ельную систему с  $m$  степенями свободы, т.е.  
 если состоянием системы однозначно опре-  
 делются  $q_1, q_2, q_3, \dots, q_m$  координатами, то  
 система из всех возможных состояний  
 выбирает только такие, которые удовлетво-  
 ряют условию:

$$\oint P_1 dq_1 = n_1 h; \quad \oint P_2 dq_2 = n_2 h \dots \quad \oint P_m dq_m = n_m h.$$

$P_1, P_2, \dots, P_m$  - обобщенные импульсы, определяемые  
 из условия:

$$P_i = \frac{\partial E_k}{\partial \dot{q}_i} \quad \text{где} \quad \dot{q}_i = \frac{dq_i}{dt} - \text{соответствующая обо-} \\ \text{общенная скорость.}$$



Движение электронов вокруг  
 ядра происходит под действием  
 центральных сил. Это движе-  
 ние по плоской кривой второго  
 порядка (по Эллипсу), т.е. дви-  
 жение центральных сил  
 силой Кулона!

$$F = \frac{e_1 e_2}{R^2}$$



Обобщенные координаты  $\rho$  и  $\varphi$ , эквивалентно  $\frac{d\rho}{dt} = \dot{\rho}$ ;  $\frac{d\varphi}{dt} = \dot{\varphi}$

$$dl^2 = d\rho^2 + \rho^2 d\varphi^2 \quad v^2 = \left(\frac{d\rho}{dt}\right)^2 + \rho^2 \left(\frac{d\varphi}{dt}\right)^2$$

$$E_k = \frac{m}{2} \left[ \left(\frac{d\rho}{dt}\right)^2 + \rho^2 \left(\frac{d\varphi}{dt}\right)^2 \right]$$

$$E_n = -\frac{Ze^2}{\rho}; \quad \text{Обобщенные импульсы:}$$

$$P_\rho = m \frac{d\rho}{dt}; \quad P_\varphi = m\rho^2 \frac{d\varphi}{dt}$$

Уравнение Замерзевалда:

$$\oint P_\rho d\rho = n_\rho h$$

$n_\rho$  - радиальное квантовое число,

$$\oint P_\varphi d\varphi = n_\varphi h$$

$n_\varphi$  - азимутальное квантовое число.

Из закона сохранения следуют постоянство энергии и азимутальной скорости:

$$\frac{1}{2} \rho^2 \frac{d\varphi}{dt} = \text{const.}$$

след.  $P_\varphi = m\rho^2 \frac{d\varphi}{dt} = \text{const.}$  и поэтому:

$$P_\varphi \oint d\varphi = n_\varphi h \quad \text{и} \quad \left\{ P_\varphi = \frac{n_\varphi h}{2\pi} \dots \right\} (44)$$

Уравнение эллипса:  $\rho = \frac{a(1-\varepsilon^2)}{1+\varepsilon \cos \varphi}$

$\ln \rho = \ln [a(1-\varepsilon^2)] - \ln(1+\varepsilon \cos \varphi)$  возьмем производную по  $\varphi$ :

$$\frac{1}{\rho} \frac{d\rho}{d\varphi} = \frac{\varepsilon \sin \varphi}{1+\varepsilon \cos \varphi} \dots (45)$$

Возле и в направлении и противоположно

$$p_p = m \frac{dp}{dt} = m \frac{dp}{d\varphi} \frac{d\varphi}{dt} \quad \&$$

$$p_p dp = m \frac{dp}{d\varphi} \frac{d\varphi}{dt} dp = m p^2 \left( \frac{dp}{d\varphi} \right)^2 \frac{d\varphi}{dt} \frac{d\varphi}{p^2} \quad \text{или т.к. } m p \frac{d\varphi}{dt} = p_\varphi$$

$$\text{т.о. } p_p dp = p_\varphi \left( \frac{dp}{d\varphi} \right)^2 \frac{1}{p^2} d\varphi \quad \text{или т.к. } \frac{1}{p} \frac{dp}{d\varphi} = \frac{\epsilon \sin \varphi}{1 + \epsilon \cos \varphi} \quad \&$$

$$p_p dp = p_\varphi \frac{\epsilon^2 \sin^2 \varphi}{(1 + \epsilon \cos \varphi)^2} d\varphi \quad \text{и т.о.}$$

$$\oint p_p dp = p_\varphi \epsilon^2 \oint \frac{\sin^2 \varphi d\varphi}{(1 + \epsilon \cos \varphi)^2} = n_p h$$

$$\oint p_p dp = \frac{n_p h}{2\pi} \epsilon^2 \int_0^{2\pi} \frac{\sin^2 \varphi d\varphi}{(1 + \epsilon \cos \varphi)^2} = n_p h. \quad \text{или:}$$

$$\frac{1}{\sqrt{1 - \epsilon^2}} - 1 = \frac{n_p}{n_\varphi} \quad \text{или}$$

$$1 - \epsilon^2 = \frac{n_\varphi^2}{(n_p + n_\varphi)^2} \dots \dots (46)$$

Итак: из всех возможных эллипсов электрон выбирает такие, для которых момент количества движения  $p_\varphi = n_\varphi \frac{h}{2\pi}$ , а эквидистантный удовлетворяет условию:

$$\epsilon^2 = 1 - \frac{n_\varphi^2}{(n_p + n_\varphi)^2} \dots \dots (47)$$

Вычисления полных и полной энергии атома.

$$\mathcal{E} = \mathcal{E}_k + \mathcal{E}_n = \frac{m}{2} \left\{ \left( \frac{d\rho}{dt} \right)^2 + \rho^2 \left( \frac{d\varphi}{dt} \right)^2 \right\} - \frac{Ze^2}{\rho} = \frac{1}{2m} \left[ p_\rho^2 + \frac{p_\varphi^2}{\rho^2} \right] - \frac{Ze^2}{\rho}$$

$$\mathcal{E} = \frac{1}{2m} \left[ p_\varphi^2 \left( \frac{1}{\rho^2} \frac{d\rho}{d\varphi} \right)^2 + \frac{p_\varphi^2}{\rho^2} \right] - \frac{Ze^2}{\rho} = \mathcal{E}_k - \frac{Ze^2}{\rho}$$

$$\mathcal{E}_k = \frac{p_\varphi^2}{2m\rho^2} \left\{ \frac{1}{\rho^2} \left( \frac{d\rho}{d\varphi} \right)^2 + 1 \right\} = \frac{p_\varphi^2}{2m} \frac{(1 + \varepsilon \cos\varphi)^2}{a^2(1 - \varepsilon^2)^2} \left[ \frac{\varepsilon^2 \sin^2\varphi}{(1 + \varepsilon \cos\varphi)^2} + 1 \right]$$

$$= \frac{p_\varphi^2}{2m} \frac{(1 + \varepsilon \cos\varphi)^2}{a^2(1 - \varepsilon^2)^2} \cdot \frac{\varepsilon^2 \sin^2\varphi + 1 + 2\varepsilon \cos\varphi + \varepsilon^2 \cos^2\varphi}{(1 + \varepsilon \cos\varphi)^2} =$$

$$= \frac{p_\varphi^2}{2m} \frac{\varepsilon^2 + 2\varepsilon \cos\varphi + 1}{a^2(1 - \varepsilon^2)^2};$$

$$\mathcal{E} = \frac{p_\varphi^2}{2m} \frac{\varepsilon^2 + 2\varepsilon \cos\varphi + 1}{a^2(1 - \varepsilon^2)^2} - \frac{Ze^2(1 + \varepsilon \cos\varphi)}{a(1 - \varepsilon^2)}$$

$\varphi$  - зависит от времени.  $\mathcal{E}$  - не зависит от времени. Поэтому коэф. при  $\cos\varphi$  должны быть равны нулю:

$$\frac{p_\varphi^2}{2m} \frac{2\varepsilon \cos\varphi}{a^2(1 - \varepsilon^2)^2} - \frac{Ze^2 \varepsilon \cos\varphi}{a(1 - \varepsilon^2)} = 0$$

$$\frac{p_\varphi^2}{a^2 m (1 - \varepsilon^2)} = Ze^2 \quad \text{откуда: } a = \frac{p_\varphi^2}{Ze^2 m (1 - \varepsilon^2)}$$

$$a = \frac{h^2}{4\pi^2 Ze^2 m} (n_\rho + n_\varphi)^2 \quad (48)$$

$$\mathcal{E} = \frac{P_{\varphi}^2}{2m} \frac{\varepsilon^2 + 1}{a^2(1-\varepsilon^2)^2} - \frac{Ze^2}{a(1-\varepsilon^2)} = \frac{P_{\varphi}^2}{2ma^2(1-\varepsilon^2)^2} - \frac{P_{\varphi}^2}{ma^2(1-\varepsilon^2)^2}$$

$$\mathcal{E} = -\frac{P_{\varphi}^2}{2ma^2(1-\varepsilon^2)^2} = -\frac{n_{\varphi}^2 h^2}{4\pi^2 2ma^2 n_{\varphi}^2} (n_{\varphi} + n_{\varphi})^2 =$$

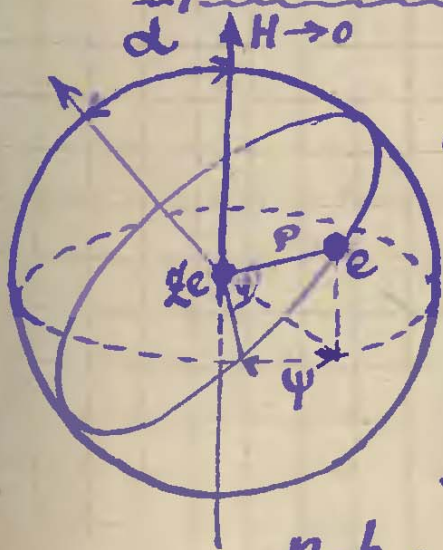
$$= -\frac{h^2 (n_{\varphi} + n_{\varphi})^2 / 6\pi^4 Z e^2 m^2}{8\pi^2 m h^4 (n_{\varphi} + n_{\varphi})^4} \quad \text{или:}$$

$$\mathcal{E} = \frac{2\pi^2 Z^2 m e^4}{h^2} \frac{1}{(n_{\varphi} + n_{\varphi})^2} \dots \dots (49)$$

$$\varepsilon = \sqrt{1 - \frac{n_{\varphi}^2}{(n_{\varphi} + n_{\varphi})^2}} \dots \dots (50)$$

$n_{\varphi} + n_{\varphi} = n$  - главное квантовое число.  
 $n_{\varphi}$  - азимутальное квантовое число.

### Квантование в пространстве.



Накладываем магнитное поле  $H$  и закручиваем его к нулю.

$$\oint P_{\rho} d\rho = n_{\rho} h \quad \oint P_{\varphi} d\varphi = n_{\varphi} h \quad \oint P_{\psi} d\psi = n_{\psi} h$$

$$P_{\psi} = P_{\varphi} \cos \alpha \quad \text{Сред.}$$

$$\oint P_{\psi} d\psi = P_{\varphi} \cos \alpha \oint d\psi = n_{\psi} h \quad \text{или}$$

$$\frac{n_{\psi} h}{2\pi} \cos \alpha = \frac{n_{\psi} h}{2\pi} \quad \text{или} \quad \left\{ \cos \alpha = \frac{n_{\psi}}{n_{\varphi}} \right. (51)$$

$n_{\psi}$  - обычно обозначают  $m$  - магнитное квантовое число.

$m = 0, \pm 1, \pm 2, \pm 3, \pm 4, \dots, \pm n_\varphi$  всего  $2n_\varphi + 1$  значений.

---

Эквивалентные магнитные моменты эквивалентной орбиты:

$$\mu = \frac{1}{c} \mathcal{J} S \quad \mathcal{J} = \frac{e}{\tau} \quad S = \frac{1}{2} \int_0^{2\pi} \rho^2 d\varphi$$
$$S = \frac{1}{2} \int_0^{\tau} \rho^2 \frac{d\varphi}{dt} dt = \frac{1}{2m} \int_0^{\tau} m \rho^2 \frac{d\varphi}{dt} dt = \frac{P_\varphi}{2m} \tau$$

$$\mu = \frac{1}{c} \frac{e}{\tau} \frac{n_\varphi h}{2\pi} \tau \quad \text{или}$$

$$\mu = n_\varphi \frac{h}{4\pi c} \frac{e}{m}$$

Откуда

$$\mu_0 = \frac{h}{4\pi c} \frac{e}{m} \dots (52)$$

$\mu_0$  - магнетон Бора =  $9,2 \cdot 10^{-21}$  эргсм.

---

# Явление Зеемана.

1. Лоренц в 1895 году предсказал, а Зееман в 1896 году обнаружил явление расщепления спектральных линий при помещении источника света в магнитное поле. Из пространственного квантования это ясно:

Пусть энергия электрона на некоторой орбите (в некотором состоянии) будет  $E$ , при наложении магнитного поля изменение энергии будет  $\Delta E$ , причем

$$\Delta E = -\mu_0 H \cos \alpha \cdot n_\varphi$$

т.к.  $\mu_0 = \frac{h}{4\pi e} \frac{e}{m_0}$  и  $\cos \alpha = \frac{m}{n_\varphi}$ , то:

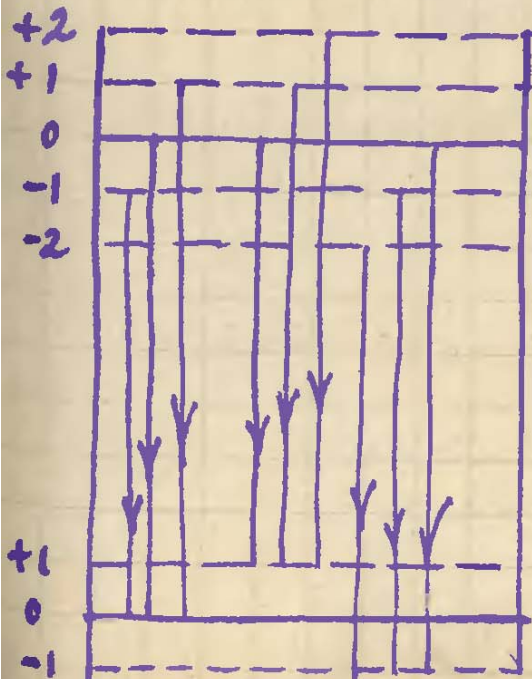
$$\Delta E = \left( \pm \frac{h}{4\pi e} \frac{e}{m_0} H \right) m \dots (53)$$

$$m = 0, \pm 1, \pm 2, \pm 3 \pm \dots \pm n_\varphi$$

т.е. энергетический уровень расщепляется на  $2n_\varphi + 1$  эквидистантных подуровней

$$\Delta E = \pm \frac{h}{4\pi e} \frac{e}{m_0} H \dots (54)$$

и  $\gamma = \pm \frac{1}{4\pi e} \frac{e}{m_0} H = 1,40 \cdot 10^6 \text{ Г.} (55)$



$$n=2; n_\varphi=2; m=-2, -1, 0, +1, +2$$

$$\Delta m = 0, \pm 1 \text{ (правило отбора).}$$

Опыт чаще дает, что

$$\Delta E = \pm g m \mu_0 H. \text{ g-фактор Ланде.}$$

$$n=1; n_\varphi=1; m=-1, 0, +1.$$

## Спектры щелочных металлов.

Модель Бора - движение валентного электрона в поле ~~атомного~~ остатка. Особенно для далеких орбит сходство будет большое со спектрами водорода. Действительно в инфракрасной части наблюдаются линии:

	H	Li	Na	K	Rb	Cs
$\lambda$ в $\mu$	4,052	4,048	4,045	4,012	3,987	3,940
	7,463	7,436	7,443	7,426	7,428	7,425.

(Линии дублеты).

## Спин электрона.

Невозможность объяснить аномальный эффект Зеемана, дублеты характер спектров линий щелочных металлов, наличие пара и орто-гелия, триплет линии первого симультана, линии второго триплетта.

Все это заставило в 1926 году голландских физиков Юленбека и Гаудешитца, сделать гипотезу о вращающемся электроме.

Спин:

1. Механический момент  $S = \frac{1}{2} \left( \frac{h}{2\pi} \right)$

2. Магнитный момент  $M_0 = \frac{h}{4\pi e} \frac{e}{m_0}$

Для орбитального механического момента

$$M_0 \frac{h}{2\pi}$$

Магнитного

$$M_0 M_0$$

Если мех. мом. измерит в  $\frac{h}{2\pi} = l$

" " магнитный " " "  $M_0 = \mu$

то  $l = \mu$ . Для спина  $M_0 = 2\mu$

$$\begin{aligned}
& \int_0^{2\pi} (\cos^2 y + \sin^2 y \cos^2 \alpha) dy = \\
& = \int_0^{2\pi} (1 - \sin^2 y + \sin^2 y \cos^2 \alpha) dy = \int_0^{2\pi} (1 - \sin^2 y \sin^2 \alpha) dy = \\
& = 2\pi - \sin^2 \alpha \int_0^{2\pi} \frac{1 - \cos 2y}{2} dy = 2\pi - \pi \sin^2 \alpha + \\
& \frac{1}{4} \{ \sin 2y \}_0^{2\pi} = \pi (2 - \sin^2 \alpha) = \pi (1 + \cos^2 \alpha).
\end{aligned}$$

$\bar{x}$  — средний квадратный  
 радиус пересеконного  
 движения.



Магнитная аномалия "спинс". Кроме того, можно  
качать информацию с сайта [www.zivatornaly.com](http://www.zivatornaly.com)  
электроник, и получаются бы новые статьи  
свободы.

## Полная система квантовых чисел.

$n$  - главное квантовое число. Определяет собой  
энергию атома. С точки зрения моделичной  
большую полуось эллипса.

Изменения:  $n = 1, 2, 3, \dots, \infty$ .

$l$  - побочное квантовое число. Определяет собой  
момент количества движения электронов по  
орбите. С точки зрения моделичной опре-  
деляет вытянутость эллипса. В теории  
Бора-Зоммерфельда соответствует азиму-  
тальному квантовому числу  $l$  с уменьше-  
нием на 1.

Изменения:  $l = 0, 1, 2, 3, \dots, n-1$ .

$j$  - внутреннее квантовое число. Определяет  
полный момент количества движения элек-  
трона с учетом спина. Так как момент  
спина  $S = \frac{1}{2}$  и может либо совпадать с  
 $l$  либо быть антипараллельным, то

$$j = l \pm \frac{1}{2}$$

$m$  - магнитное квантовое число. Многообра-  
зие состояния, вызывающиеся при наложении  
магнитного поля.

Изменения:  $m = j, j-1, j-2, \dots, 0, \dots, -j+1, -j$

т.е. всего  $2j+1$  значений.

Можно пользоваться иной системой знаков.

$l$  - то-же

$l$  - то-же

$m$  - магнитное квантовое число  
 $m = 0, \pm 1, \pm 2, \dots, \pm l$ .

Спин  $S = \pm \frac{1}{2}$ .

---

Характеристические рентгеновские спектры. (См. конспект гл. IV к.).

### Принцип Паули.

Принцип Паули - есть обобщение данных опыта и не может быть выведен логически из каких либо иных положений квантовой механики.

В атоме не может быть электронов у которых были бы одинаковы все четыре квантовых числа, т.е. в атоме один электрон от другого должен отличаться хотя бы одним квантовым числом.

Физика не знает фактов, противоречащих принципу Паули.

---

### Подсчет числа электронов в группе.

Группой электронов в атоме, назовем электроны с одинаковыми главными квантовыми числом.

1) При данных  $n, l, j$  электроны могут отличаться друг от друга значениями  $m$ .

всего  $2j + 1$  - значений.

2) При одинаковых  $n, l$  отличаются  $j$  и  $m, j.m.$

$$\left. \begin{aligned} j_1 &= l + \frac{1}{2} \\ j_2 &= l - \frac{1}{2} \end{aligned} \right\} \text{т.о.}$$

$$2(l + \frac{1}{2}) + 1$$

$$2(l - \frac{1}{2}) + 1$$

$2(2l+1)$  электронов.

3) При одинаковом  $n, l=0, 1, 2, \dots, n-1$

$$Z = \sum_0^{n-1} 2(2l+1) = \frac{2+4n-2}{2} n = 2n^2$$

т.о. в группе  $n$ -главного квантового числа, может быть не более:

$$\left\{ Z = 2n^2 \right\} \text{ электронов.}$$

при  $n=1$  К-группа (слой) 2 электрона

~"~ 2 L ~"~ 8 ~"~

~"~ 3 M ~"~ 18 ~"~

~"~ 4 N ~"~ 32 ~"~

~"~ 5 O ~"~ 50 ~"~

При одинаковых  $n$ , электроны с одинаковыми  $l$  составляют подгруппу

при  $l=0$  s-подгруппа

$l=1$  p ~"~

$l=2$  d ~"~

$l=3$  f ~"~

Электроны с одинаковыми  $n, l, j$  - составляют  
часть подгруппы.

## Периодическая система элементов.

(Менделеев 1869 г.)

При построении периодической системы элементов следует очевидно руководствоваться следующими соображениями:

1. Порядковый номер элемента  $Z$  в периодической системе, равен заряду ядра, если за единицу заряда принять заряд э.н.а. Результат непосредственного опыта Радурфорда.
2. Если порядковый номер элемента  $Z$ , то вокруг ядра движется  $Z$  электронов, т.к. атом в целом нейтрален.
3. Вокруг ядра электроны располагаются группами (слоями). Внутренние группы должны быть построены одинаково. Это требование диктуется всей систематикой рентгеновских характеристических лучей и в первую очередь законам Мозеля.

4. При переходе от легких атомов к тяжелым, должны наблюдаться периодичности как химических свойств так и оптических спектров. Это диктуется всеми опытными данными химии, а также оптическими спектрами (пример спектры щелочных металлов).

5. Принцип Паули "запрещает" иметь двум электронам одинаковые 4 квантовых числа. Капеловый электрон стремится занять как более низкий энергетический уровень, не противоречащий принципу Паули.

# Гиромагнитный эффект.

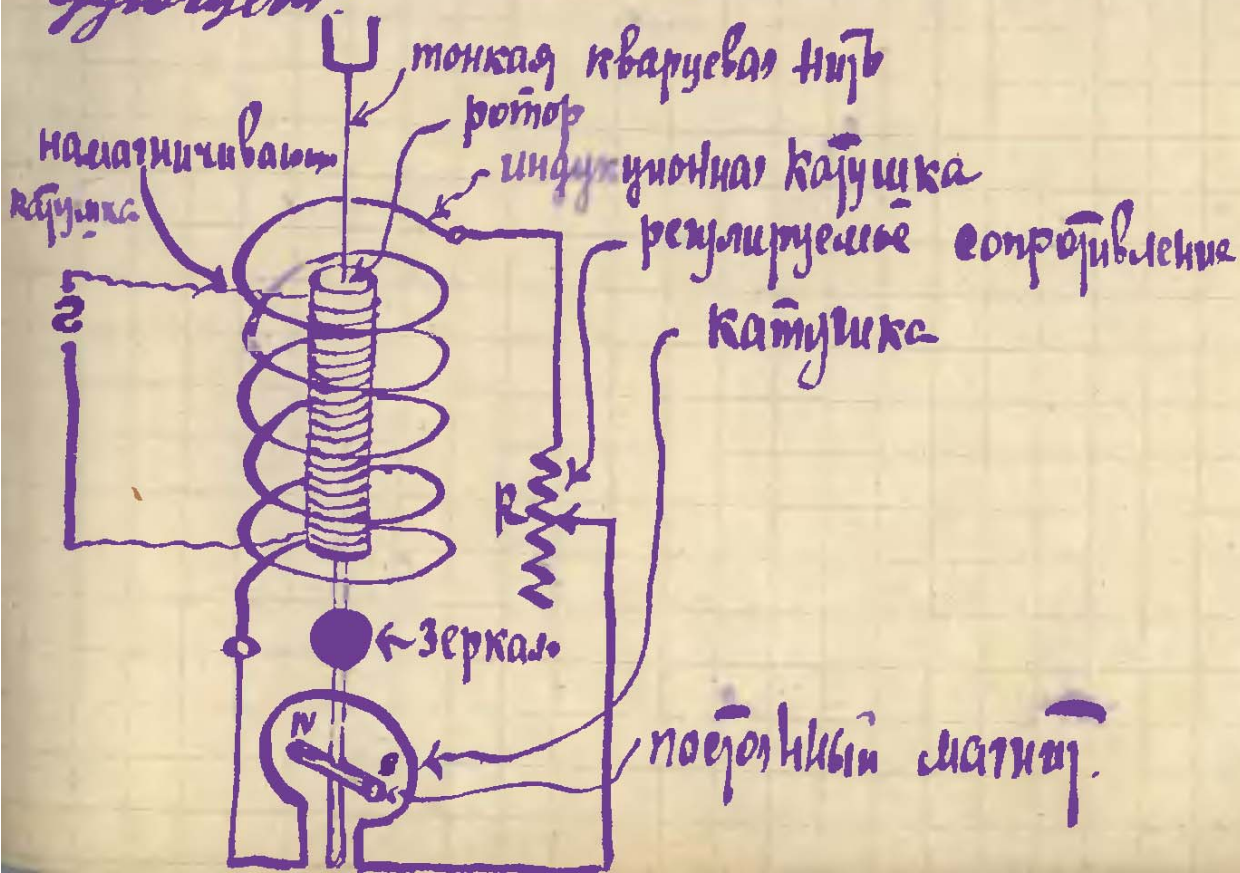
1. Выше было установлено, что механический и магнитный моменты пропорциональны друг другу, причем для орбитальных моментов ищени.

$$\left. \begin{aligned} K &= n \frac{h}{2\pi} \text{ - для механического } \mu \\ M &= n \mu_0 \text{ - магнитного} \end{aligned} \right\} \text{ или } K = M$$

Для спина  $M = 2K$  что было названо магнитной аномалией спина.

Какой магнитный момент орбитальный или спиновый псевден в ферромагнетизме отвечает шотерт только опыт. Такими опытами являются опыты Барнетта, Динштейна и де-Гааза и многих других. Первый опыт Барнетта был предпринят в 1908 году и заключался в намагничивании с помощью вращения, в 1915 году Динштейн и де-Гааз наблюдали намагниченный момент ферромагнитного образца при перемагничивании. С тех пор был проведен целый ряд опытов вплоть до 1935 года.

Опыт Сакамото и Бетса в модификация Барнетта (1935) заключается в следующем.



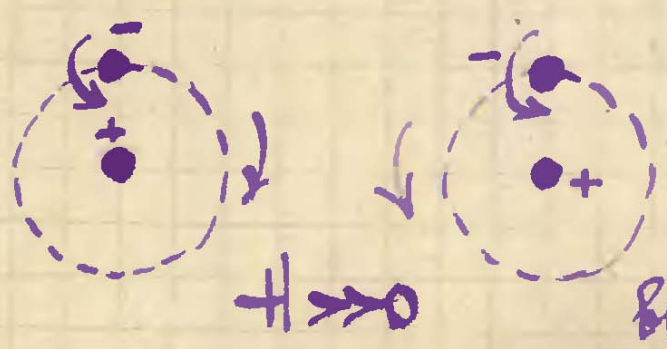
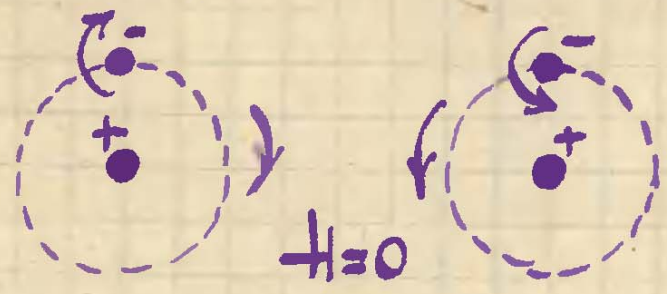
В намагничивающую катушку подается ток переменной с периодом равным периоду крутильных колебаний ротора.

В индукционной катушке возникает магнитное поле, а если ток реверсируется — поле тоже. А так, чтобы ток индукции через катушку в эволюции постоинный магнит момента  $m$  в сторону противоположную эволюции ротора и общие эволюции были бы равны нулю.

Зная крутящий механический момент ротора и изменение его магнитного момента, можно найти отклонение. Результаты:

Вещество	Барнетт 1909	Эйнштейн и де-Лааз 1915	Стюарт 1918	Барнетт огульски 1917-1925-гг	Сакени и Бей 1923
Fe	2,1	1	2,0	1,91	1,99
Co			2,1	1,83	1,94
Ni			<del>2,1</del>	1,96	2,00
Fe-Co (34%)				1,88, 1,98	
Fe-Ni (25%)				1,97, 1,97	
Co-Ni (46%)				1,91, 1,92	
Mn-Al-Cu (Зеймеровы сплавы)				1,96	
Fe <sub>3</sub> O <sub>4</sub>					2,52

т.о. Опыт однозначно говорит за то, что в ферромагнетизме повинен спин электрона.

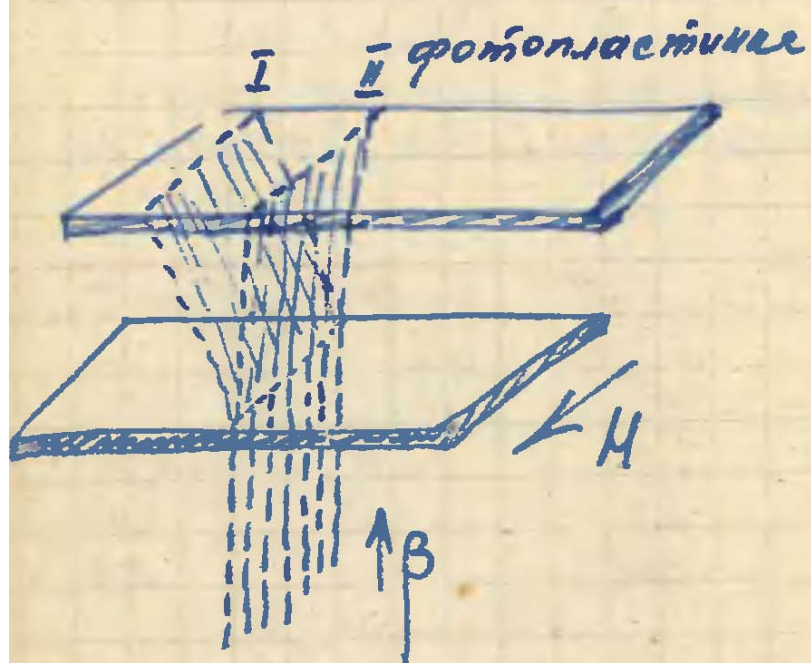


поле направлено перпендикулярно направлению и к нам. Менее, как видно, только направление спина электрона.

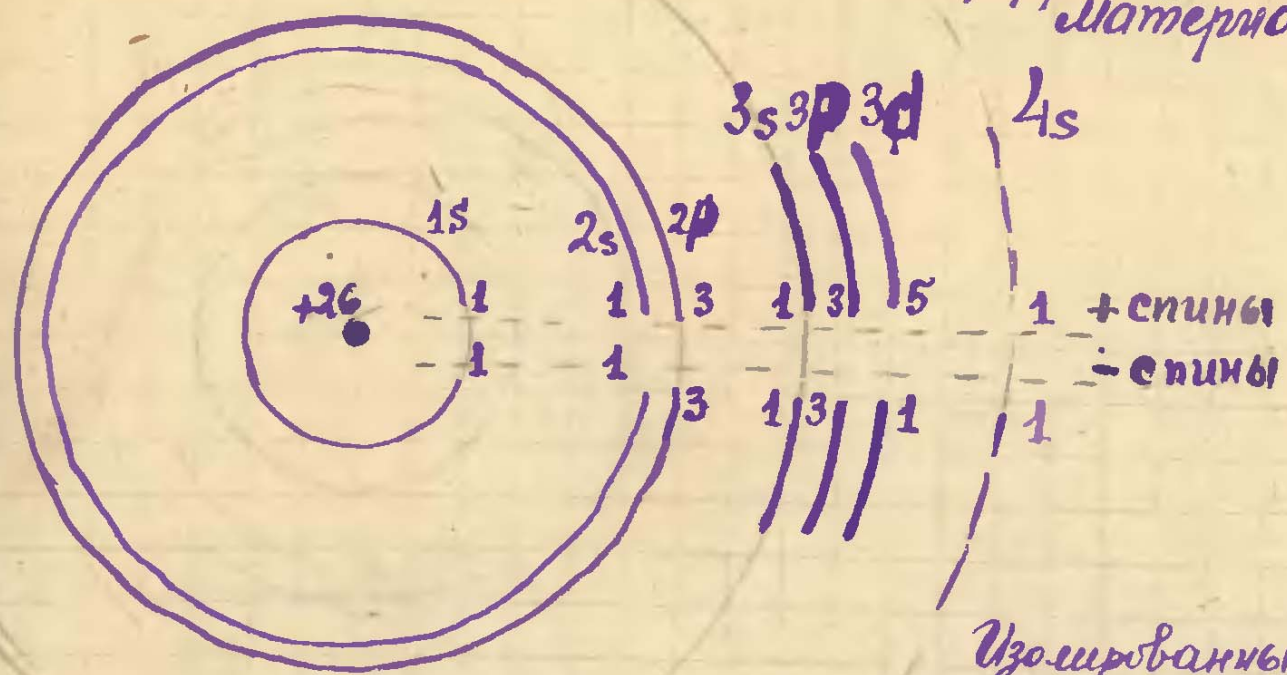
# Опыт Дорфмана (1924).

Отклонение электронов при прохождении через канало-цилиндрическую катодную фольгу.

Если  $H = 10^3$  - откл.  
малы, если  
 $10^7$  - велики. Опыт  
дает, что мало.

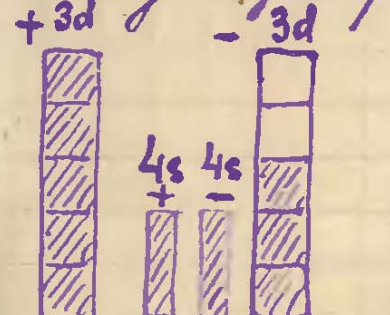


Атомная структура ферромагнитных материалов.



Узкошарованный атом железа имеет незаполненную оболочку 3d. Притом в этой оболочке

много спинов положительных 5, отрицательных 2. Очевидно у кобальта в оболочке 3d будет спинов +5, -2, у никеля +5, -3. Таким образом наличие незаполненных внутренних оболочек является условием необходимости для ферромагнетизма. Для никеля (свободного атома) получим такую диаграмму заполнения электронных оболочек.



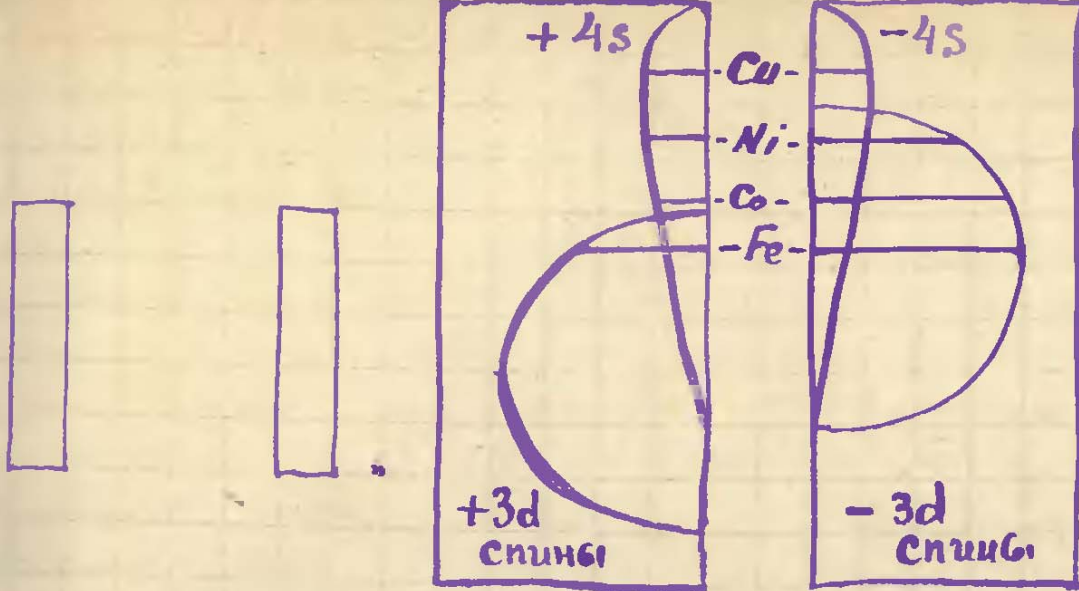
Однако в металле, когда атомы сгруппированы близко друг к другу происходит перераспределение электронов. Часть валентных электронов переходит в оболочку 3d, оставшиеся в группе 4s образуют свободные электроны проводимости.



Этот факт, что свободных мест, в среднем, 0,6 в оболочке 3d но атом подтверждается определением температуры  $Ni$  при абсолютном нуле.

Никель металл.

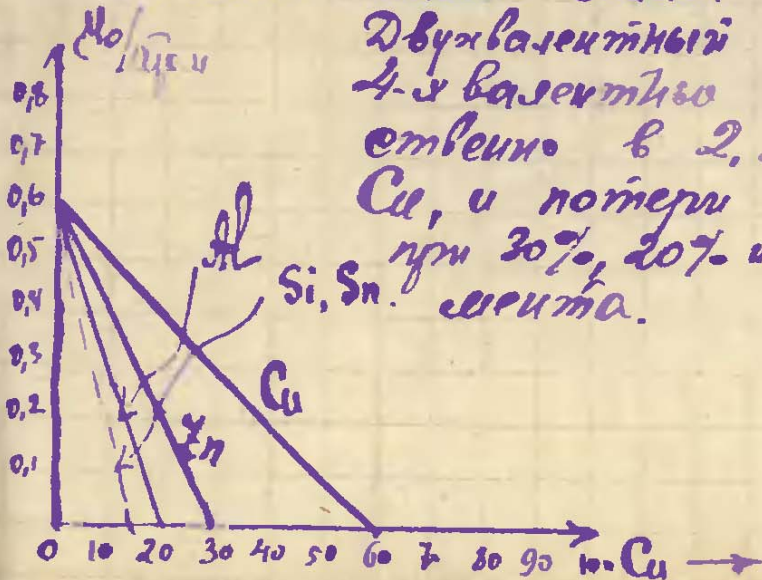




Элемент	число электронов в оболочках				общее число	свободные места		излишек свободных мест в 3d-, сверх 3d+
	3d+	3d-	4s+	4s-		3d+	3d-	
Cu	2,7	2,7	0,3	0,3	6	2,3	2,3	0
Mn	3,2	3,2	0,3	0,3	7	1,8	1,8	0
Fe	4,8	2,6	0,3	0,3	8	0,2	2,4	2,22
Co	5,0	3,3	0,35	0,35	9	0	1,7	1,70
Ni	5,0	4,4	0,3	0,3	10	0	0,6	0,61
Cu	5,0	5,0	0,5	0,5	11	0	0	0

Медно-никелевые сплавы подтверждают эту теорию. Если один атом Ni заменить одним атомом меди, то валентный электрон меди отыщет место в одном из атомов никеля в оболочке 3d и нейтрализует оболочку +3d. При 60% Cu очевидно все магнитные моменты будут скомпенсированы и спонтанное намагничивание такого сплава будет равно нулю.

Двухвалентный Zn, трехвалентный Al и 4-х валентный Si, Sn замещают соответственно в 2, 3 и 4 раза большее число Cu, и потери происходят соответственно при 30%, 20% и 15% прибавления элемента.

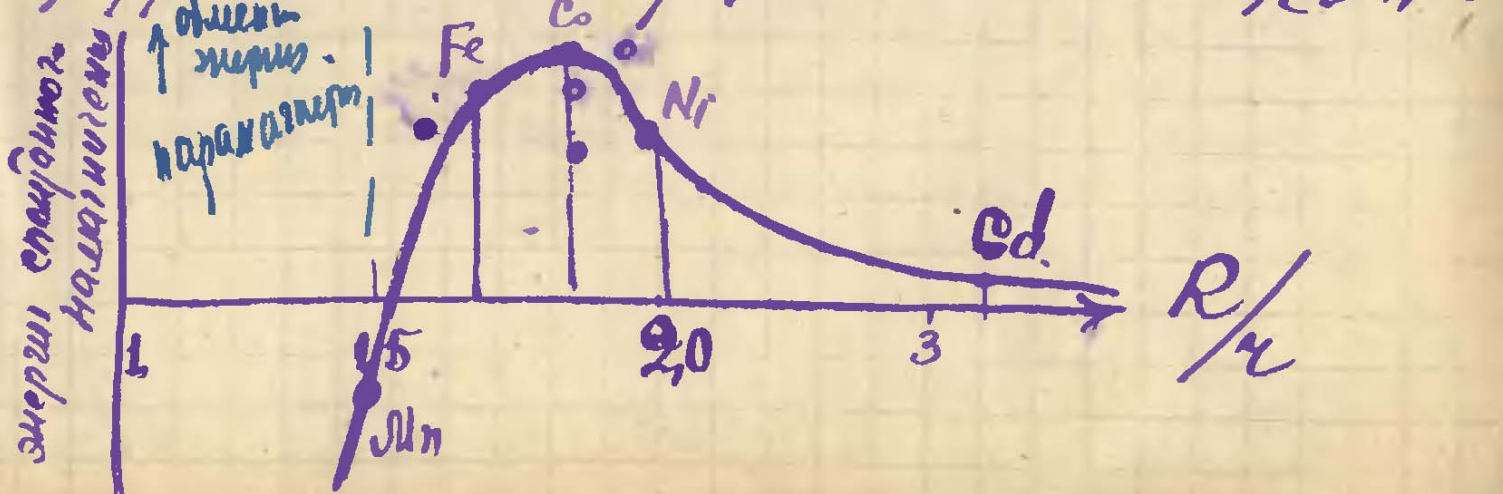


Итак, для наличия ферромагнетизма требуется наличие  
 1) незаполненных внутренних оболочек в атоме,  
 2) наличием перевеса (+) спинов над (-) спинами в незаполненной оболочке.

Кроме того, если имеются незаполненные оболочки с различным количеством (+) и (-) спинов, то на расстояниях значительных взаимодействии между электронами не будет, при приближении атомов друг к другу возникает особый тип взаимодействия (обменно или обменное) устанавливающие связи параллельно друг другу. При дальнейшем приближении атомов друг к другу эта связь устанавливается спинов. Связь устанавливается. Критерий  $R/\zeta$  где  $R$  - радиус свободного атома,  $\zeta$  - радиус оболочки  $3d$ .

Элемент	$2R_0$ А	$2\zeta$	$R/\zeta$	Незаполненная оболочка	точка Кюри $t_c$ в °К.
Mn	2,52	1,71	1,47	3d	—
Fe	2,50	1,58	1,63	3d	1040
Co	2,51	1,38	1,82	3d	1400
Ni	2,50	1,24	1,97	3d	630
Cu-Ni	2,58	1,44	1,79	3d	600
Mo	2,42	2,94	0,92	4d	—
Ru	2,64	2,33	1,13	4d	—
Pd	2,43	1,93	1,41	4d	—
Cd	3,35	1,08	3,1	4f	290
W	2,43	3,44	0,79	5d	—
Os	2,42	2,71	1,02	5d	—
Pt	2,44	2,25	1,23	5d	—

Как показал Слейтер для того чтобы был ферромагнетизм, требуется чтобы  $R/\zeta > 1,50$



$$m v R = \frac{n h}{2\pi} \quad n=1,2,3,\dots \quad m v R = k \quad k = \frac{n h}{2\pi}$$

$$h = 6,62 \times 10^{-27} \text{ эрг}\cdot\text{сек.}$$

$$v R = n \cdot \frac{h}{2\pi} \cdot \frac{1}{m}$$

$$\mu = \frac{1}{c} J S = \frac{1}{c} \frac{e}{T} \pi R^2 = \frac{e}{c} \frac{v}{2\pi R} \pi R^2 = \frac{e}{2c} v R$$

$$\mu = n \left( \frac{h}{4\pi c} \frac{e}{m} \right) = n \mu_0$$

Если  $\frac{h}{2\pi} = 1$  и  $\mu_0 = 1$ . то для орбиты:  $k = \mu$ ;  $\frac{\mu}{k} = 1$ .

Спин электрона.  $k = \frac{1}{2} \frac{h}{2\pi}$ ;  $\mu = \mu_0$  т.о. для спина:  $\frac{\mu}{k} = 2$ .

Гиромагнитный эффект.

---

## Вывод формулы Вейсса-Гаузенберга.

На прошлых лекциях было установлено:

1. Носителями ферромагнитных явлений являются спины электронов.  $\gamma = \frac{1}{2} \frac{h}{\hbar}$ ;  $\mu = \mu_0 = \frac{h}{4\pi m}$
2. Ферромагнетиком может быть лишь в атомная с незаполненными внутренними электронными оболочками, причем (+) и (-) спины во внутренних электронных оболочках не должны быть скомпенсированы.
3. Отношение радиуса атома  $R$  к радиусу незаполненной оболочки  $r$  должно быть больше 1,5. ( $R/r > 1,5$ ).

При наличии этих трех условий между электронами соседних атомов возникает обменное (резонансное) взаимодействие, приводящее к тому, что спины соседних атомов упорядочиваются параллельно друг другу, создавая т.н. спонтанное намагничение, которое Вейсс объяснил наличием особой, т.н. молекулярного поля (резонансного).

Итак, не магнитное, а электрическое поле создают спонтанное намагничение. Однако наличие спонтанного намагничения создает в обратном направлении действительно магнитное поле.

Из опытов Штерка и Герлаха, и принятие предположения квантования, следует, что при калотении магнитного поля спин электрона может принять лишь две возможных положения: по или против поля. Пусть мы имеем  $1 \text{ см}^3$  ферромагнитного вещества. Вспомогательное поле  $H \rightarrow 0$ . Пусть  $N_1$  - расположится в поле  $H$ ,  $N_2$  - антипараллельно полю.

Отсюда

$$N_1 + N_2 = N$$

Вероятность того, что данный электрон направлен по полю  $W_1 = \frac{N_1}{N}$ , против поля  $W_2 = \frac{N_2}{N}$

Если моцнитный момент спина  $\mu$ , то очевидно имеем-  
связь с начальными  $\mathcal{I} = \mu(N_1 - N_2) = \mu N(W_1 - W_2)$

Итак:  $\mathcal{I} = \mu N \dots (1)$

$\mathcal{I} = \mu(N_1 - N_2) \dots (2)$

$\mathcal{I} = \mu N(W_1 - W_2) \dots (3)$

или  $\bar{\mu} = \mu(W_1 - W_2) \dots (4)$

Согласно классической статистике:

$W_1 = A e^{-\frac{U_1}{kT}} \quad W_2 = A e^{-\frac{U_2}{kT}}$

где  $U_1$  - энергия спина, направленная по полю  
 $U_2$  - " " " " " " " " " " " "

Очевидно  $W_1 + W_2 = 1 \quad A(e^{-\frac{U_1}{kT}} + e^{-\frac{U_2}{kT}}) = 1$

Откуда:  $\frac{\bar{\mu}}{\mu} = \frac{e^{-\frac{U_1}{kT}} - e^{-\frac{U_2}{kT}}}{e^{-\frac{U_1}{kT}} + e^{-\frac{U_2}{kT}}} \dots (5)$

Если электроны недалеко друг от друга, то взаимная энергия двух электронов будет зависеть от ориентации их спинов по отношению друг к другу. Пусть взаимная энергия двух параллельно ориентированных спинов будет  $U_1'$ , а антипараллельно ориентированных  $U_2'$ .

$\uparrow \uparrow$  - энергия  $U_1'$   
 $\uparrow \downarrow$  - " "  $U_2'$

т.к. заметные действия эти электроны могут оказать лишь на спины ближайших электронов, то очевидно достаточно учесть

энергию взаимодействия спина с его ближайшими соседями. Число соседей очевидно зависит от того какая структура решетки. Пусть число соседей будет  $Z$ .

Пусть и) эти  $Z$  э-ов  $Z_1$  направлены по полю  
 $Z_2$  - против поля. Очевидно  $Z_1 + Z_2 = Z$

Возможны 2 случая:

а) выбранный электрон имеет спин направленный по полю. Тогда:

$$U_1 = \alpha_1 U_1' + \alpha_2 U_2' \quad (6)$$

б) Спинный момент данного электрона направлен против пол. Тогда:

$$U_2 = \alpha_1 U_2' + \alpha_2 U_1' \quad (7)$$

Очевидно:  $\frac{\alpha_1}{\alpha} = \frac{N_1}{N}$  и  $\frac{\alpha_2}{\alpha} = \frac{N_2}{N}$  тогда:

$$U_1 = \alpha \frac{N_1}{N} U_1' + \alpha \frac{N_2}{N} U_2' \quad (8)$$

$$U_2 = \alpha \frac{N_1}{N} U_2' + \alpha \frac{N_2}{N} U_1' \quad (9)$$

т.к.  $N_1 + N_2 = N$

$N_1 - N_2 = \frac{J}{\mu}$ , то очевидно:

$$\left. \begin{aligned} N_1 &= \frac{1}{2} \left( N + \frac{J}{\mu} \right) \\ N_2 &= \frac{1}{2} \left( N - \frac{J}{\mu} \right) \end{aligned} \right\} \dots (10)$$

или:

$$\left. \begin{aligned} N_1 &= \frac{N}{2} \left( 1 + \frac{J}{J_0} \right) \\ N_2 &= \frac{N}{2} \left( 1 - \frac{J}{J_0} \right) \end{aligned} \right\} \dots (11) \quad \text{откуда:}$$

$$U_1 = \frac{\alpha}{2} \left( 1 + \frac{J}{J_0} \right) U_1' + \frac{\alpha}{2} \left( 1 - \frac{J}{J_0} \right) U_2' \quad (12)$$

$$U_2 = \frac{\alpha}{2} \left( 1 + \frac{J}{J_0} \right) U_2' + \frac{\alpha}{2} \left( 1 - \frac{J}{J_0} \right) U_1' \quad \text{или:}$$

$$U_1 = \frac{\alpha}{2} (U_1' + U_2') + \frac{\alpha}{2} \frac{J}{J_0} (U_1' - U_2') \quad (13)$$

$$U_2 = \frac{\alpha}{2} (U_1' + U_2') + \frac{\alpha}{2} \frac{J}{J_0} (U_2' - U_1')$$

или

$$\left. \begin{aligned} u_1 &= -\frac{\gamma}{2} \frac{\gamma}{J_0} (u_2' - u_1') + \frac{\gamma}{2} (u_2' + u_1') \\ u_2 &= +\frac{\gamma}{2} \frac{\gamma}{J_0} (u_2' - u_1') + \frac{\gamma}{2} (u_2' + u_1') \end{aligned} \right\} \dots (14)$$

Умеем  $u_1$  и  $u_2$  будут функциями  $J$ , при  $J=0$   
 $u_1 = u_2 = \text{const.}$

Ищем  $\frac{\gamma}{2} (u_1' + u_2') = c$

и  $\frac{\gamma}{2} (u_2' - u_1') = q$

$$\left. \begin{aligned} u_1 &= -q \frac{J}{J_0} + c \\ u_2 &= +q \frac{J}{J_0} + c \end{aligned} \right\}$$

тогда

$$\left. \begin{aligned} u_1 &= -\frac{\gamma}{2} A \frac{J}{J_0} + c \\ u_2 &= +\frac{\gamma}{2} A \frac{J}{J_0} + c \\ \frac{J}{J_0} &= \tanh \frac{\gamma}{2kT} A \frac{J}{J_0} = \tanh a \\ \frac{\gamma}{2kT} A \frac{J}{J_0} &= a \\ \frac{J}{J_0} &= \frac{2kT}{\gamma A} a \end{aligned} \right\} (15)$$

т.о. умножим на  $N$  числитель и знаменатель  
 каждой формулы (5) получим:

$$\frac{J}{J_0} = \frac{e^{\frac{qJ}{kT}} - e^{-\frac{qJ}{kT}}}{e^{\frac{qJ}{kT}} + e^{-\frac{qJ}{kT}}} \dots (16)$$

Ищем  $\frac{q}{kT} = b$  и  $b \frac{J}{J_0} = a \dots (17)$

Тогда:

~~$$x = b \tanh x \dots (18)$$~~

~~$$x = b e^{\frac{x}{J_0}} \dots (19)$$~~

$$\frac{J}{J_0} = \tanh a \dots (18)$$

$$\frac{J}{J_0} = \frac{1}{b} a \dots (19)$$

Ур-ие Вебера  
 - Гаусс-Берга.

$$\text{или } \left\{ \begin{array}{l} \frac{J}{J_0} = \tanh a \\ \frac{J}{J_0} = \frac{\kappa T}{q} a \end{array} \right. \quad (20)$$

$$q = \frac{\kappa}{2} (u_2' - u_1')$$

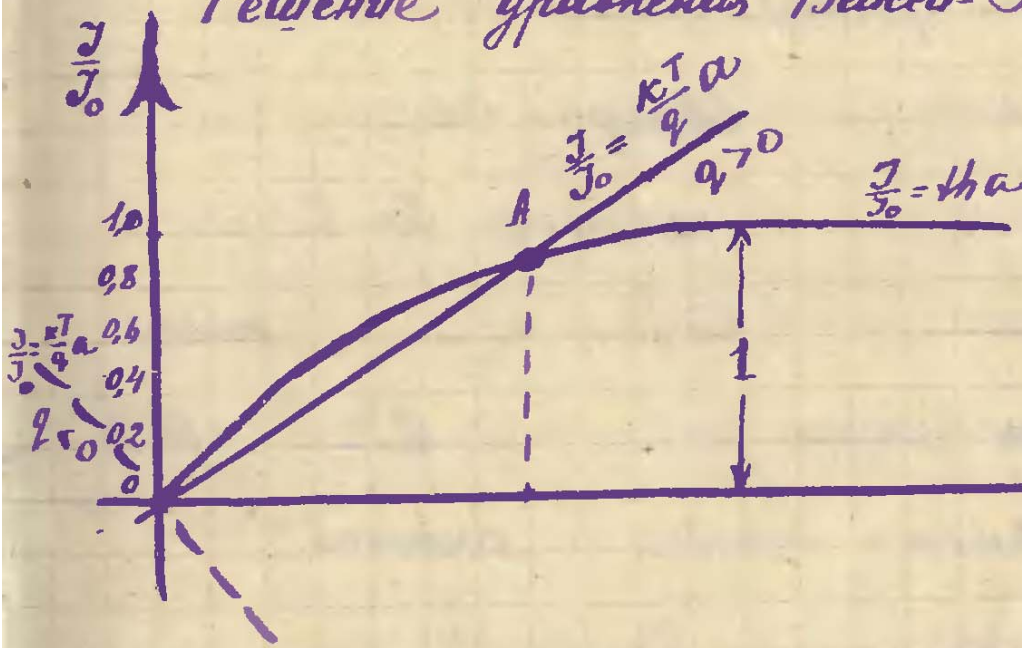
Сравним с ур-нием Вейсса:

$$\frac{J}{J_0} = C \tanh a - \frac{1}{a}$$

$$\frac{J}{J_0} = \frac{\kappa T}{\mu_0 J_0} a - \frac{H}{a J_0}$$

$u_2' - u_1' = A$ -инте-  
грал „обмена“.

Решение уравнения Вейсса-Тайзенберга.



$$\tanh a = \frac{e^a - e^{-a}}{e^a + e^{-a}}$$

при  $a=0$   $\tanh=0$   
График проходит  
через начало ко-  
ординат.

при  $a \rightarrow \infty$

$$\tanh a = 1$$

при  $a \rightarrow 0$

$$\tanh a = \frac{1+a - 1+a}{1+a+1-a} = a$$

График выводит  
угол  $45^\circ$ .

Если  $q < 0$  т.е.  $u_2' < u_1'$  то  $J_0 = 0$

Если  $q > 0$  ..  $u_2' > u_1'$  то при

$\frac{\kappa T}{q} < 1$  возможны спонтанные намагни-  
ченые.

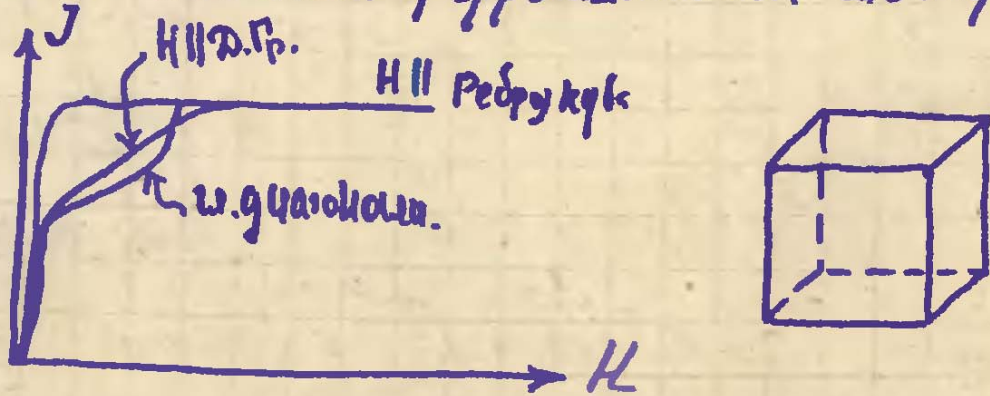
Очевидно в точке Кюри имеет место равенство:

$$\kappa \theta = q. \text{ т.е. } \kappa \theta = \frac{\kappa}{2} (u_2' - u_1'). \dots (21)$$



1. Независимость  $J_s$  и  $\theta$  от направления. Обменные силы не зависят от направления, или изотропны.

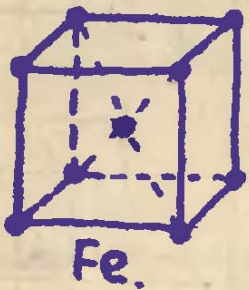
2. Кристаллиты металла. Ферромагнитные монокристаллы.



3. Анизотропия ионов магнитных элементов.

4. Некоторые вопросы кристаллографии. (Профессором Петербургской школы института Евразова Степановичем Федоровым были рассмотрены все возможные варианты расположения атомов. Он был найден, что таких возможных ~~вариантов~~ вариантов расположений 230 (1885-1890). объединены в 32 класса и 7 систем или „симфоний“.

5. Fe, Ni - кубическая решетка. Co - гексагональная.



# Ферромагнитные монокристаллы

С опыты Лавуэ в 1912 году, подтвердили давно высказанное предположение о том, что кристаллические тела объясняют периодические расположения атомов в них. Современная физика твердого тела, отчасти и число твердых тел только кристаллические тела. Частота кристаллическости твердых тел незамечтено. При обычных условиях кристаллическому веществу, возникающему в больших числе центров кристаллизации и отдельных кристаллов не удается развиться до больших размеров и принять правильные кристаллические очертания. Получаются только число недоразвитых кристаллов или зерен каковы-либо такие кристаллические.

Кристаллизация ~~вещества~~ может создаваться в различных веществах кристаллические решетки различного типа.

Кристаллы одного и того же вещества могут иметь различную величину, форму и число граней, но черты соответствующим граници всегда остаются постоянными. Это

Закон постоянства углов Жака-Бальмеа-Луи Рюиз де о'Уэз (1736-1790) Французский ученый.

Ферромагнетики - всегда кристаллы. Жидкая ферромагнетиков нет. Поэтому свойства обычных кристаллических телам относятся также и к ферромагнетикам. В частности для кристаллов характерным является симметрия, т.е. правильная повторяемость одинаковых граней, ребер и углов. Такой правильности расположения атомов в кристалле или кристаллообразующих граней и углов может быть объяснено к ним относятся - тогда мы имеем плоскость симметрии если - тогда мы имеем ось симметрии, к точке - " - " - центр симметрии.

$$j = \sqrt{3}a = a - \frac{a^3}{3}; \quad a = cj; \quad c = \frac{\theta}{T}$$

$$j = cj - \frac{c^3 j^3}{3}; \quad 1 = c - \frac{c^3 j^2}{3};$$

$$c^3 j^2 = 3(c - 1)$$

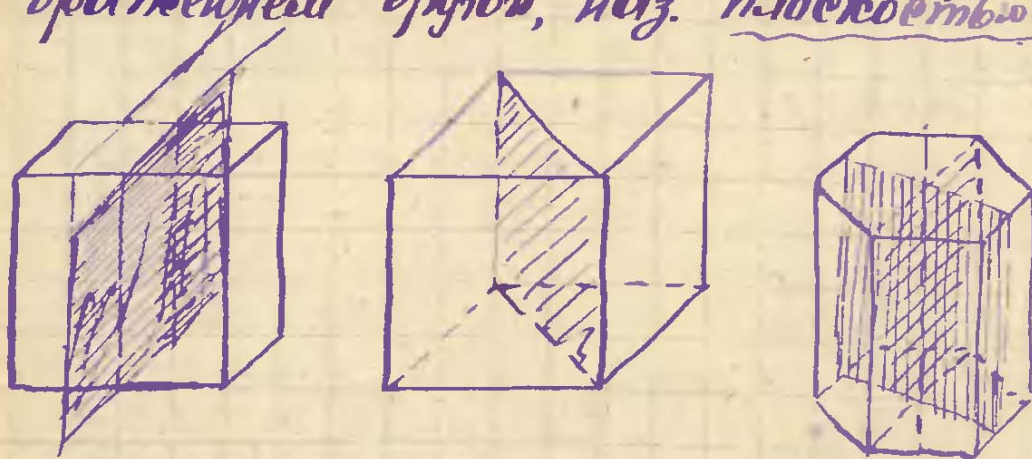
$$j^2 = \frac{3}{c^2} \left(1 - \frac{1}{c}\right)$$

$$j^2 = \frac{3}{c^2} \left(1 - \frac{1}{c}\right)$$

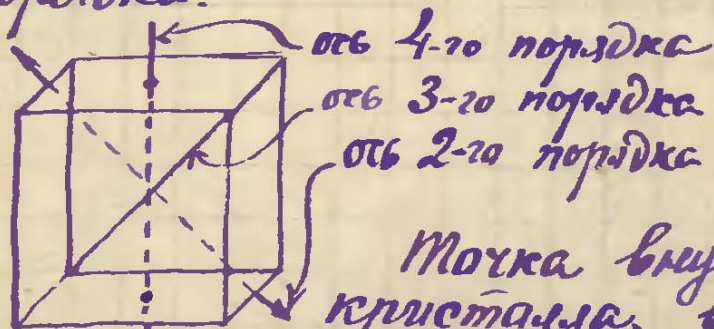
следовательно:

$$j^2 = 3 \left(\frac{T}{\theta}\right)^2 \left(1 - \frac{T}{\theta}\right)$$

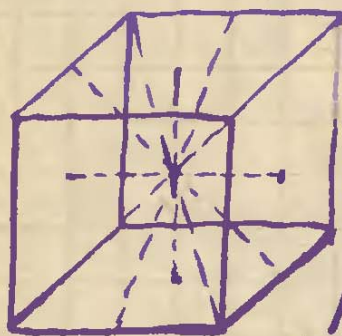
Плоскость, рассекающая кристалл на две части, одна из которых является зеркальным отображением другой, наз. плоскостью симметрии.



Точка, при вращении кристалла около которой на  $360^\circ$  он  $n$ -раз принимает равновесные положения, называется осью симметрии  $n$ -го порядка.



Точка внутри кристалла, в которой пересекаются и делятся пополам все линии, соединяющие соответствующие точки, в том же на поверхности кристалла, называется центром симметрии.



Кристаллографическое обозначение плоскостей и направлений?

Согласно исследованиям Фредерика, Бесселя, Брауна может существовать только 32 кристаллографических класса, по их свойствам симметрии. Для описания кристалла необходимо ввести некоторую систему координат. Взяв за симметрии от класса решетку кристалла можно быть выразить и систему координат. На основе этой системы координат, которая употребляется

для описания кристалла, классы кристаллов объединяются в кристаллографические системы. Их всего шесть систем.

а) Триклинная система:  $-b$

$$a \neq b \neq c$$

$$\alpha \neq \beta \neq \gamma \neq 90^\circ$$

Единицы измерения по формулам: формулы:

б) Моноклиная:

$$a \neq b \neq c$$

$$\alpha = \beta = 90^\circ \neq \gamma$$

в) Ромбическая:

$$a \neq b \neq c$$

$$\alpha = \beta = \gamma = 90^\circ$$

тригональная или ромбоэдрическая:

$$a = b = c$$

$$\alpha = \beta = \gamma \neq 90^\circ$$

г) тетрагональная:

$$a = b \neq c$$

$$\alpha = \beta = \gamma = 90^\circ$$

е) Гексагональная:

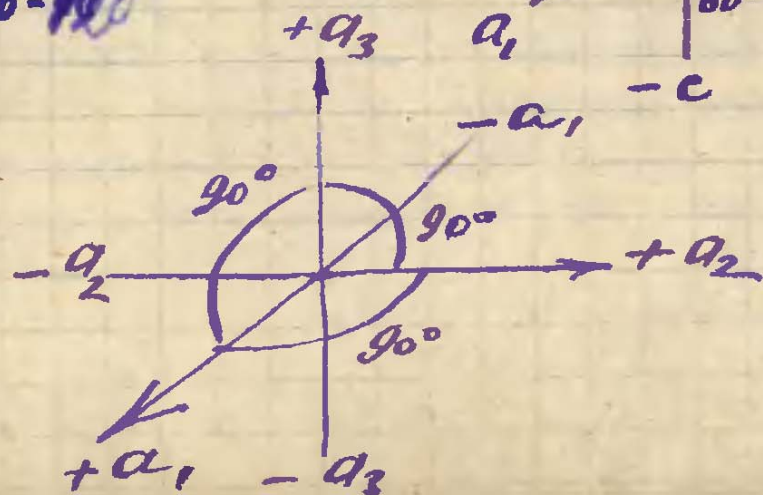
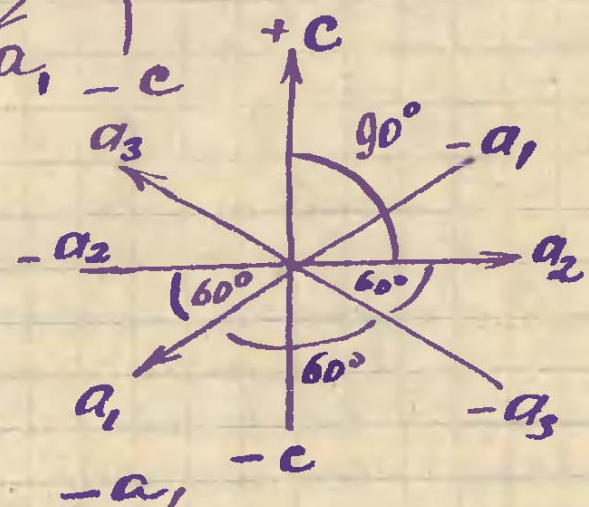
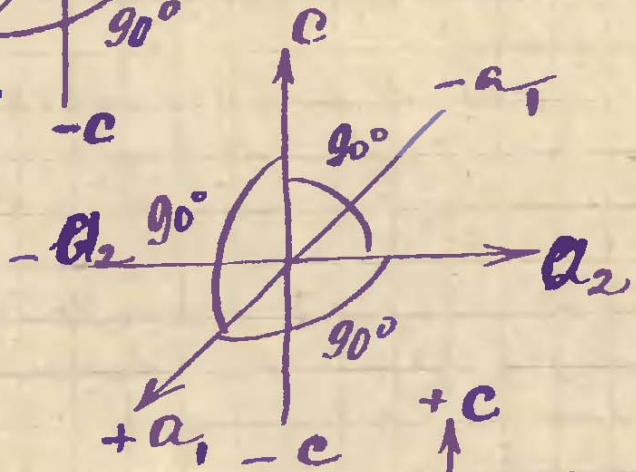
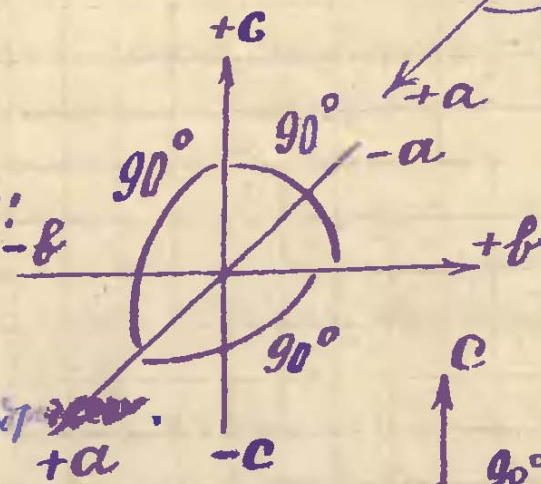
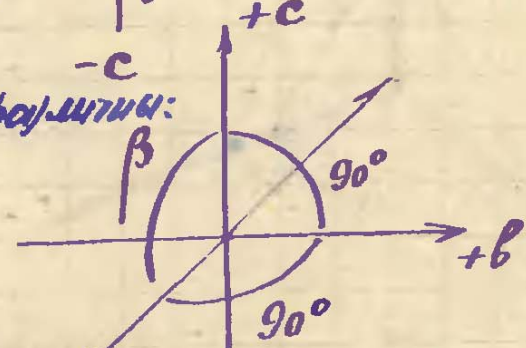
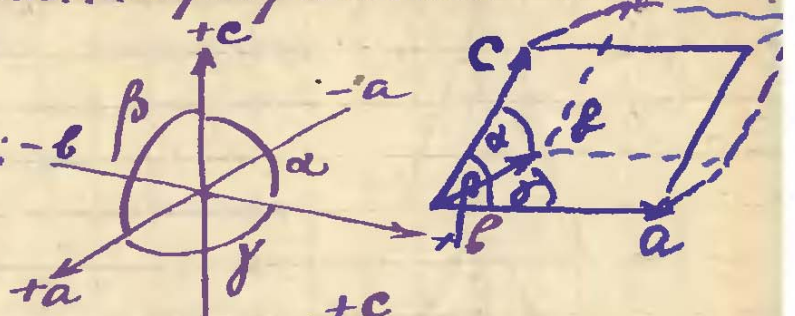
$$a = b \neq c$$

$$\alpha = \beta = 90^\circ \quad \gamma = 120^\circ$$

ж) Кубическая:

$$a = b = c$$

$$\alpha = \beta = \gamma = 90^\circ$$



Пусть XYZ оси кристаллографических координат. A, B, C - некоторая кристаллографическая плоскость [сетчатая, атомная], отсекающая на осях координат отрезки  $a_1, b_1, c_1$ . Пусть далее некоторая другая кристаллографическая плоскость  $A_2 B_2 C_2$  отсекает отрезки  $a_2, b_2, c_2$ . т.к. кристаллы пространственной решетки, то очевидно должно существовать соотношение:

$$m_1 a_1 : n_1 b_1 : r_1 c_1 = m_2 a_2 : n_2 b_2 : r_2 c_2$$

Где  $m, n, r$  - простые целые числа. Существенное упрощение можно ввести, если определить, особо воплести кристаллографическую решетку за т.н. единичную грань, а осевые отрезки всех остальных граней давать как кратные, соответствующие осевым отрезкам единичной грани.

Если  $A_1, B_1, C_1$  - единичная грань, тогда:

$$a_1 : b_1 : c_1 = \frac{a_2}{\frac{m_1}{m_2}} : \frac{b_2}{\frac{n_1}{n_2}} : \frac{c_2}{\frac{r_1}{r_2}} \quad \text{Очевидно } \frac{m_1}{m_2}, \frac{n_1}{n_2}, \frac{r_1}{r_2} \text{ числа}$$

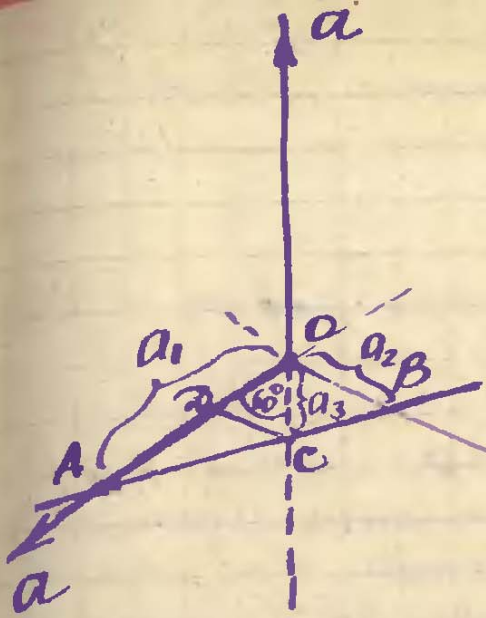
показывают, сколько единичных отрезков отсекает грань  $A_2 B_2 C_2$  на осевых координат. Величины обратные, т.е.

$h = \frac{m_2}{m_1}$ ;  $k = \frac{n_2}{n_1}$ ;  $l = \frac{r_2}{r_1}$  называются индексами (и любой паралл. ей плоскости) плоскости  $A_2 B_2 C_2$ , и эта запись так:  $(hkl)$ . Единичная плоскость очевидно (111).

Как было указано выше в шестиугольной системе 4 оси, из которых три равнозначных метал в одной плоскости. Однако индексы на 3-й <sup>равнозначных</sup> гекедрональной системе, дающих базис не независимы.

$$AO : AD = OB : OD \quad \text{или:}$$

$$a_1 : (a_1 - a_3) = a_2 : a_3 \quad \text{и} \quad a_3 = \frac{a_1 a_2}{a_1 + a_2}$$



Миллеровские индексы:

$$h = \frac{1}{a_1}, \quad k = \frac{1}{a_2} - \bar{l} = \frac{1}{a_3}$$

дают:

$$h = \frac{1}{a_1}; \quad k = \frac{1}{a_2}$$

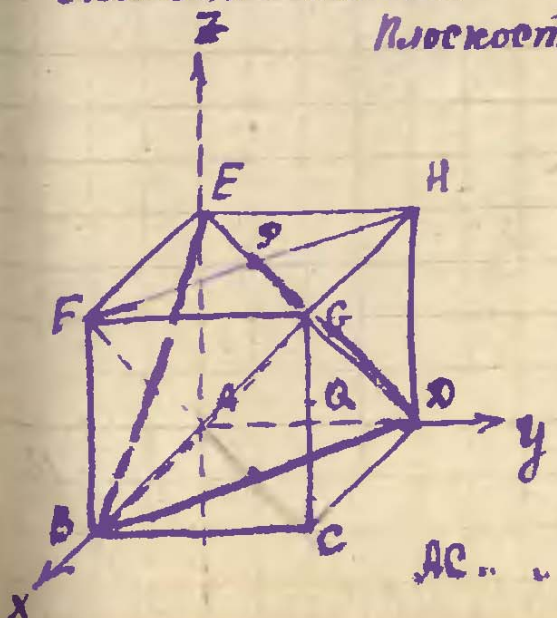
$$\rightarrow a - \bar{l} = \frac{a_1 + a_2}{a_1 a_2} = \frac{1}{a_2} + \frac{1}{a_1}$$

Знак (-) означает, что индуцированной плоскости АВ пересекает третью ось в области отрицательных значений  $a_3$ . т.е.

$$\bar{l} = \bar{h} + \bar{k}$$

т.е. индекс равный третьей дополнительной оси, всегда равен отрицательной сумме двух первых.

Направления определяют так. Проводят по индуцированной направлению плоскую и) начала координат и проецируют силу координаты линий лежащей на них точки. Приводят эти точки к трем целым числам, не являющимся общими для них. Индексы направлений пишутся в промыва скобках: [uvw].



Плоскость BDE (111)

BCFG	отр. отр.	1, ∞, ∞	(100)
CFDE	"	"	(010)
CFEH	"	"	(001)
BDE	"	1, -1, 1	(111)
BDFH	"	1, 1, ∞	(110)
ACGE	"	1, -1, ∞	(110)

Направления AB [100]  
AD [010]  
AE [001]

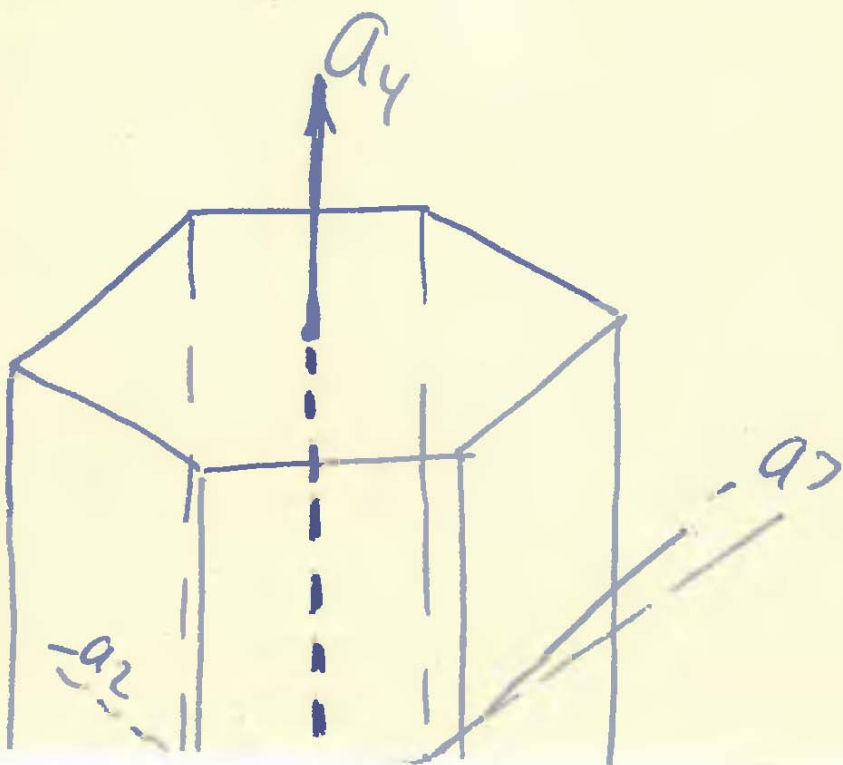
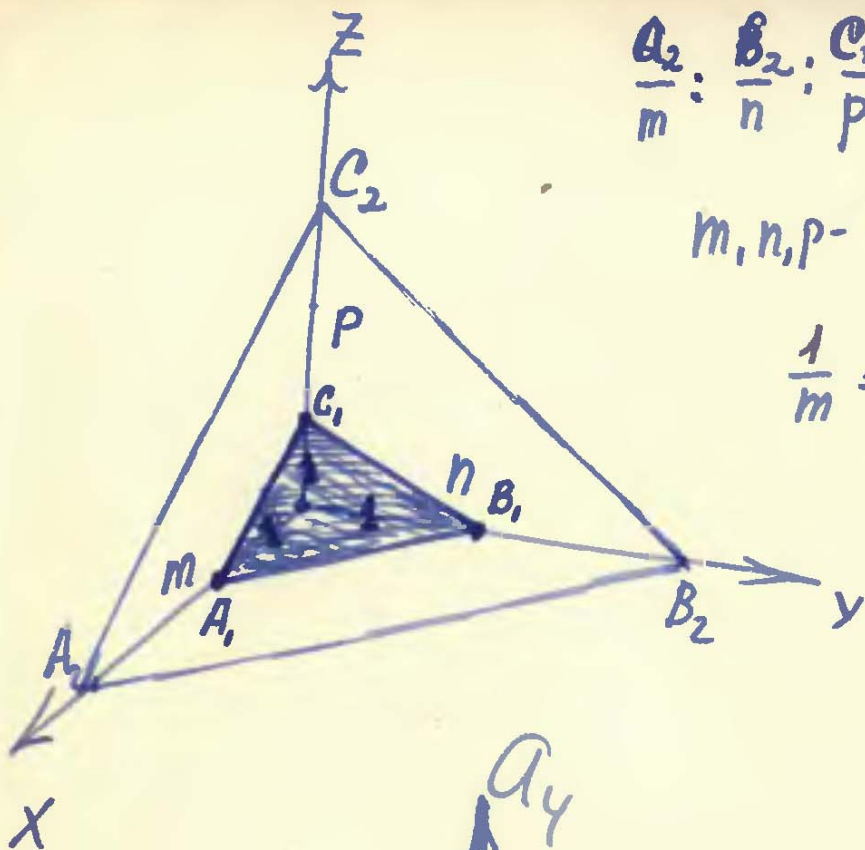
AC .. [110]; AG .. [111] AГ .. 1/2, 1/2, 1 или [112].

$$\frac{a_2}{m} : \frac{b_2}{n} : \frac{c_2}{p} = \cancel{1} : a_i : b_i : c_i$$

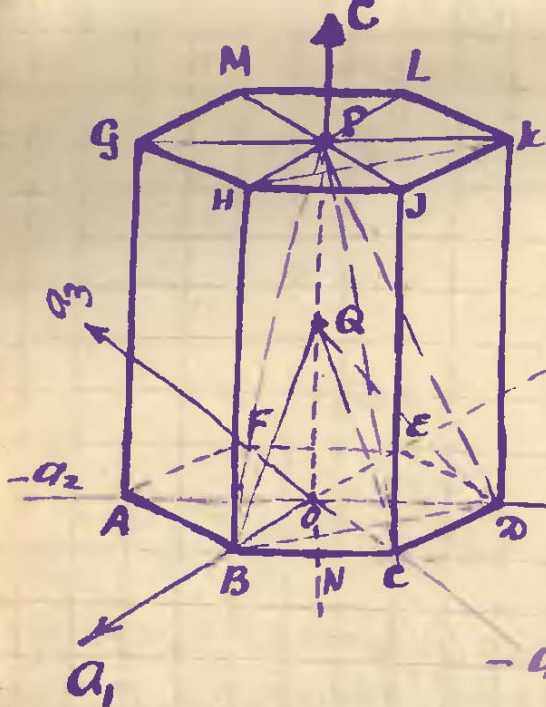
$m, n, p$  - будь-які числа.

$$\frac{1}{m} = h \quad \frac{1}{n} = k \quad \frac{1}{p} = l$$

(hkl) (III)







База (плоскость  $ABDE$ )  
отсекает отрезки:  $\infty, \infty, \infty, 1$  или  
(0001)

Грани  $ABHG$

$a_1$  отсекает отрезки  $1, 1, \infty, \infty$  (1100)  
вект.  $(10\bar{1}0)$  и  $(01\bar{1}0)$

грань  $BDKH$   $1, 1, -\frac{1}{2}, \infty$  (11 $\bar{2}$ 0)

плоскость  $BEF$   $1, \frac{1}{2}, -1, \frac{1}{2}$  (10 $\bar{1}$ 1)

$a_2$  дает порядок пирамиды

$BEF$  пирамиды 1-го порядка

1-го порядка,  $BCQ$  - пирамида

2-го порядка

$BDQ$  (11 $\bar{2}$ 1) пирамиды 2-го порядка

$BDL$  (11 $\bar{2}$ 1) пирамиды 2-го порядка

1-го порядка  $BCQ$   
2-го порядка.

Направление - гексагональная ось  $[0001]$

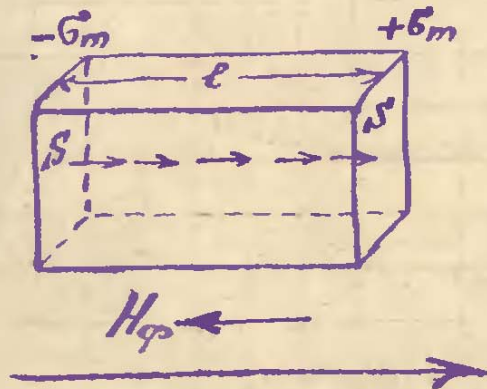
Диагональные оси 1-го порядка  $OB$   $1, -\frac{1}{2}, -\frac{1}{2}, 0$   $[\bar{2}110]$

$OB^*$   $OF$

Диагональная ось  $ON$ .  $[10\bar{1}0]$ .

# Размагничивающий фактор.

Т.к. ферромагнитные тела кристаллические, то очевидно форма решетки кристалла должна быть учтена, при построении теории ферромагнитных явлений. Однако для ферромагнетиков, как это легко видеть, существенную роль играет также и форма образца, внесенного в магнитное поле.



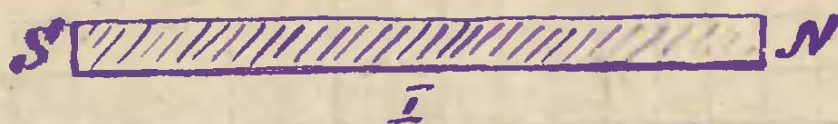
Возьмем некоторый образец и внесем его во внешнее поле  $H$ . Силы внутри ферромагнетика утянут его, притянутые к полю и на поверхности  $S$  создадутся "фиктивные" магнитные массы, толщиной  $B_m$ .

Т.е. магнитные массы на поверхностях  $S$  будут  $B_m S$  и магнитный элемент образует  $P_m = B_m S l = B_m V$ .

Очевидно, эти "фиктивные" магнитные массы создадут обратное поле внутри образца  $H_\phi$ . Таким образом, внутри образца будет поле

$$H_0 = H - H_\phi \quad (1)$$

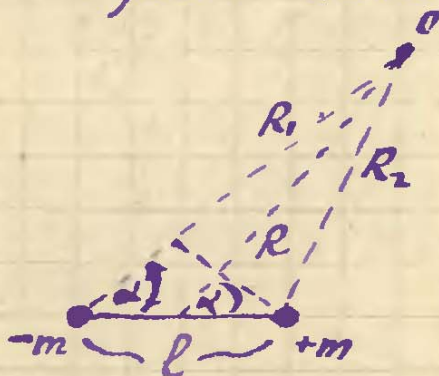
$H_\phi$  - существенно зависит от формы тела. В самом деле, допустим что мы имеем достаточное длинный цилиндрический стержень  $\vec{l}$



Если стержень  $\vec{l}$  разрезать пополам и отделить части его  $\vec{l}'$  и  $\vec{l}''$  разнести в стороны, то придется совершить работу против сил взаимного притяжения этих кусков. Очевидно эта работа пойдет на увеличение магнитной энергии тела.

Т.е. магнитная энергия двух коротких кусков будет больше магнитной энергии одного длинного, при одинаковой индуктивности на коротких.

Кроме того, магнитная энергия одного и того же тела будет неодинаковой при различных направлениях. Чтобы показать это, выполним величину энергии взаимодействия 2 диполей.



Пусть имеем магнитный диполь. Потенциал магнитного полюса  $-m$  в точке O очевидно будет  $\varphi_- = -\frac{m}{R_-}$  полюса  $+m$

$$\varphi_+ = +\frac{m}{R_+}$$

Общий потенциал диполя:

$$\varphi = m \left( \frac{1}{R_2} - \frac{1}{R_1} \right) = \frac{m(R_1 - R_2)}{R_1 R_2}$$

$$R_1 - R_2 = l \cos \alpha, \text{ т.о.}$$

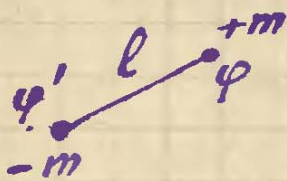
$$\varphi = \frac{ml \cos \alpha}{R^2}$$

$$\text{т.к. } R_1, R_2 \approx R^2$$

$ml = \mu$  - магнитный момент диполя. Итак:

$$\varphi = \frac{\mu \cos \alpha}{R^2} \dots (2)$$

Энергия диполя во внешнем поле:



$$-m\varphi' + m\varphi = m(\varphi - \varphi') =$$

$$= m \left[ \varphi - \left( \varphi - \frac{\partial \varphi}{\partial l} l \right) \right] = ml \frac{\partial \varphi}{\partial l}$$

$$U = -(\bar{m} \#)$$

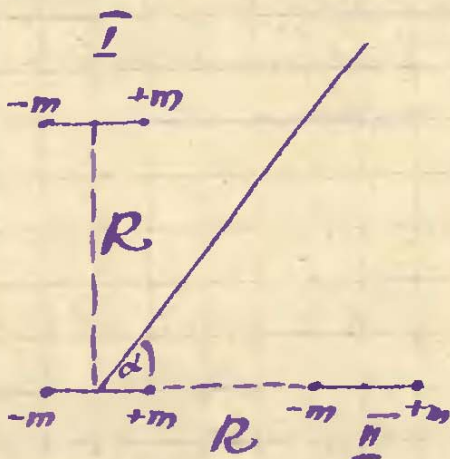
$$\frac{\partial \varphi}{\partial l} = \text{grad}_l \varphi = -\#e$$

Итак:

$$U = -\mu \# \cos \alpha$$

$$U = -(\bar{\mu} \#)$$

Возьмем 2 крайних случая:



В I-ом случае направление  $H$  такое, что увеличивается путь  $\alpha$ , следовательно работа  $R$ .

$$\text{I } H = -\frac{\partial \varphi}{\partial \alpha} = \frac{4 \sin \alpha}{R^2}$$

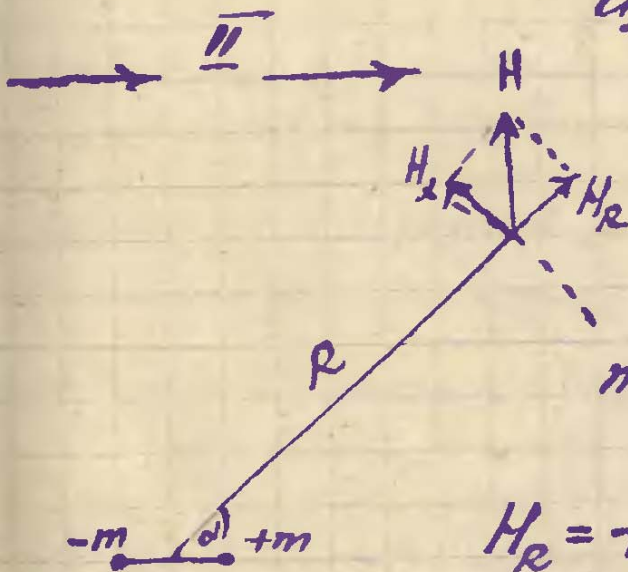
и т.к.  $\alpha = \frac{\pi}{2}$ , то:

$$H = \frac{4}{R^2} \text{ и энергия}$$

I-го состояния:  $U_1 = \frac{4}{R^3}$

II-го состояния:  $H = -\frac{\partial \varphi}{\partial R} = -\frac{2 \cdot 4 \cos \alpha}{R^3}$

$$U_2 = -\frac{2 \cdot 4^2}{R^3}$$



$$H_R = -\frac{\partial \varphi}{\partial R} \quad H_\alpha = -\frac{\partial \varphi}{\partial (R\alpha)}$$

$$H_\alpha = -\frac{1}{R} \frac{\partial \varphi}{\partial \alpha}$$

т.к.  $\varphi = \frac{4 \cos \alpha}{R^2}$ , то:

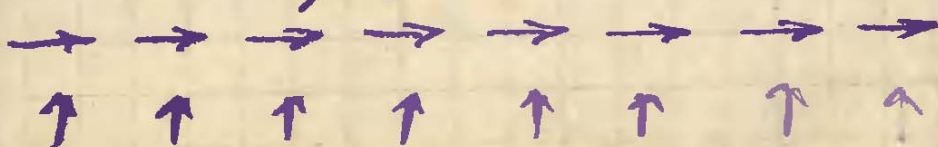
$$H_R = +\frac{2 \cdot 4 \cos \alpha}{R^3}; \quad H_\alpha = \frac{4 \sin \alpha}{R^3}$$

полная  $H = \sqrt{H_R^2 + H_\alpha^2}$

В I:  $U_1 = -H_R \cdot 4 \cos 180^\circ = \frac{4^2}{R^3}$

" II:  $U_2 = -H_R \cdot 4 \cos 0^\circ = -\frac{2 \cdot 4^2}{R^3}$

таким образом состояние



более выгодное.

менее выгодное.

т.о. У одного и того же стержня намагни-  
 ченные световые волны все более утолщаю-  
 тся и намагниченные световые перпендикулярны ос.  
 Пусть плотность энергии бесконечно длинного стерж-  
 ня будет  $u_0$ . Тогда энергия стержня конечной длины  
 будет:

$$u = u_0 + u_{\phi}$$

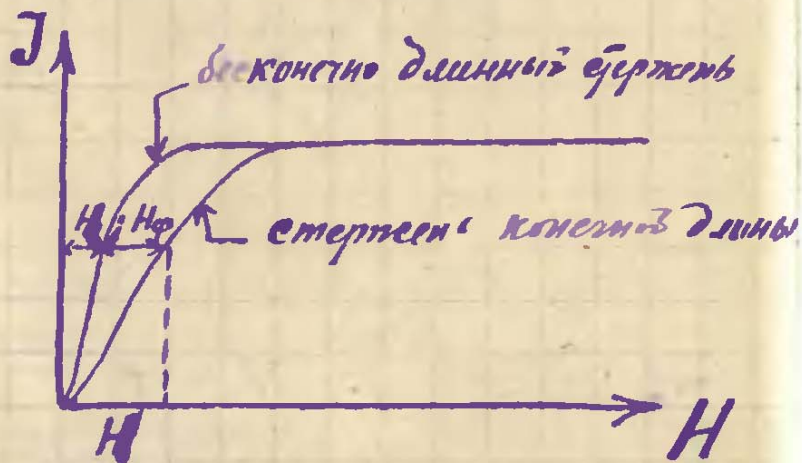
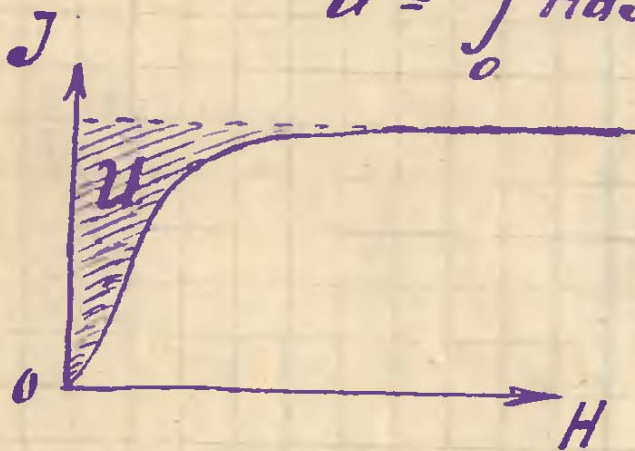
где  $u_{\phi}$  - энергия потока. Т.к. при  $J=0$ , ра-  
 магничивающее поле равно нулю т.е.  $u_{\phi}=0$ .  
 С увеличением  $J$ , очевидно  $u_{\phi}$  возрастает.  
 Очевидно  $u_{\phi}$  - четной функцией относительно  
 $J$ . Следовательно:

$$u_{\phi} = \frac{1}{2} N J^2 + \dots$$

где  $\frac{1}{2} N$  - коэф. пропорциональности.  
 Энергия намагниченного воздуха

$$u = \int_0^J H dJ$$

и определяется заштрихо-  
 ванной площадью.



Очевидно  $\int_0^J H_1 dJ = u_0 + \int_0^J H_{\phi} dJ$

$$\int_0^J H_{\phi} dJ = \frac{1}{2} N J^2$$

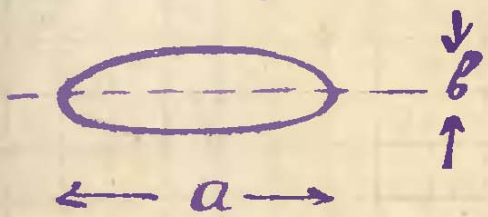
или всяк производную по  $J$  имеем:

$$H_{\phi} = N J. \dots$$

т.е. разматываемый под пропорциональн. ин-тенсивности намагничивающ. Коэффициент пропорциональности имеет название разматываемого фактора.

Так же бесконечной длины стержень  $N=0$   
 " " замкнутого тороида  $N=0$   
 " " шара  $N = \frac{4}{3}\pi$   
 " " плоского диска  $\perp$  плоскости  $N = 4\pi$

Внутри поле неоднородно. Однако, внутри эллипсоида оно однородно.



Если эллипсоид тело вращения вокруг большой оси  $a$ , то при:

$\frac{b}{a} = \frac{1}{10}$	$N = 0,255$
$\frac{1}{25}$	0,0587
$\frac{1}{50}$	0,0181
$\frac{1}{100}$	0,0054
$\frac{1}{300}$	0,0008

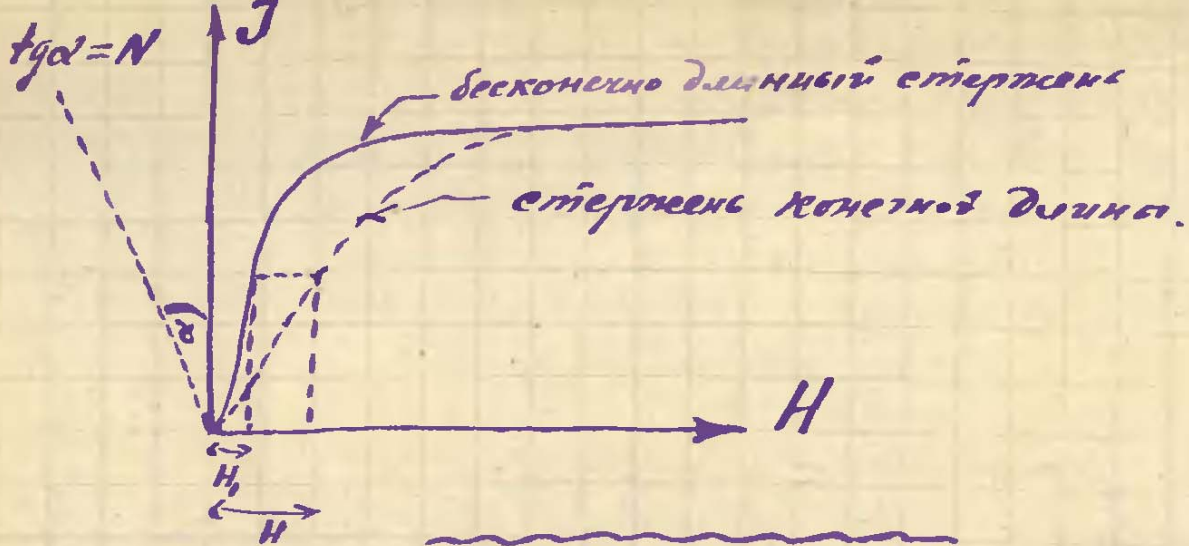
Если поле направлено вдоль  $a$

От прямой намагниченной стержня конечной длины, можно перейти к кривой намагниченной бесконечной длины путем простого преобразования, предложенного Релеем

Очевидно.  $\frac{H_p}{J} = N$

Если отложить от оси  $J$  отрезки влево равные  $H_p$ , то суммарная  $H$  мы увидим получим  $H_0$ , то что ищем для бесконечно-длинного стержня. Найдем же отрезки  $H_p$  не представляя труда, ибо очевидно ищем преобразующую, под углом  $\alpha$ , удовлетворяющую условию:

$$N = \operatorname{tg} \alpha.$$



$$J = \chi H_1 = \chi (H - H_0) = \chi H - \chi N \delta$$

$$\text{откуда } J = \frac{\chi}{1 + N\chi} H = \chi_1 H.$$

$\chi_1$  - Аркадьеv называет восприимчивостью тела.

при больших  $N$  и  $\chi$   $J = \frac{1}{N} H$   
и индивидуальные особенности вещества переходят  
себя проявить.

$\frac{1}{N}$  - Аркадьеv называет восприимчивостью дроби.

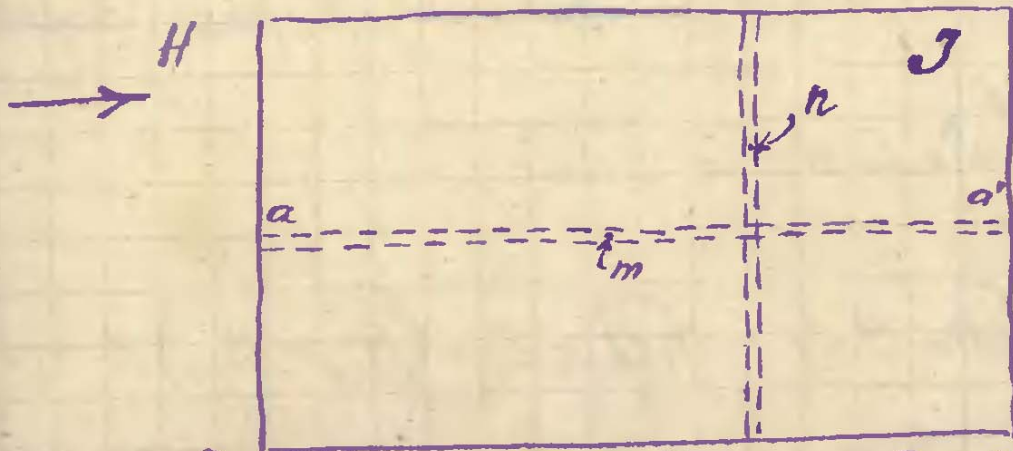
$$\text{откуда } \frac{1}{N} = \lim_{\chi \rightarrow \infty} \frac{\chi}{1 + N\chi}$$

# Поведение ферромагнетика

## в магнитном поле.

1. Мы установили, что при внесении ферромагнетика в магнитное поле он намагничивается, т.е. на его концах выступают противоположные магнитные массы, положительную плотность которых мы обозначим  $\sigma_m$ . Вся образец получает некоторый магнитный момент  $P_m$ , и магнитный момент единицы объема  $J = \sigma_m$ .

$$J = \chi H \quad \text{причем} \quad \chi = F(H). \quad \text{В общем случае.}$$



Пусть мы имеем ферромагнетик, намагниченный до индукции  $J$  слева направо, при некотором поле  $H$ .

Очевидно, сам ферромагнетик дает широкую конфигурацию поля. Если вырезать длинную и тонкую ленту  $aa'$  в направлении внешнего магнитного поля, то т.е. все сплюснутый ферромагнетик-рейка обхватит такую ленту, радиус которой можно считать равным  $t_m$  и находящуюся внутри ленты будет равно  $H$  и поле в точке  $n$  будет равно  $H$ . Если вырезать ленту перпендикулярно полю, то при наличии индукции намагниченности  $J$ , даже в отсутствие внешнего поля, магнитное поле в точке  $n$  - по теореме Гаусса - будет:

$4\pi J$  полное поле очевидно получим прибавив внешнее поле  $H$  величину:

$$B = 4\pi J + H$$

называется магнитной индукцией.

$$B = H(1 + 4\pi\chi), \quad \text{откуда:}$$



$$\mu = 1 + 4\pi\chi$$

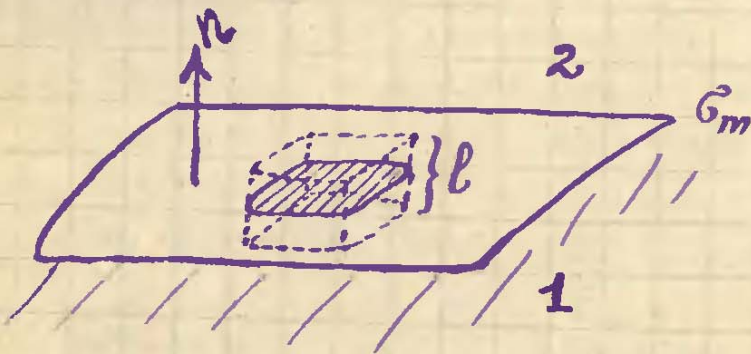
$$\vec{B} = \mu \vec{H}$$

Основные дифференциальные уравнения магнитного поля

$$\operatorname{rot} \vec{H} = \frac{4\pi}{c} \vec{j}$$

$$\operatorname{div} \vec{B} = 0$$

$$\vec{B} = \vec{H} + 4\pi \vec{j}$$



Пусть мы имеем границу раздела двух магнетиков. Очевидно на границе раздела может появиться сдвиг магнитных линий — ток  $\sigma_m$ .

Для выделения объема согласно теореме Гаусса применим:

$$\int_V \operatorname{div} \vec{a} \, dV = \oint_S a_n \, dS$$

$$\int_V \operatorname{div} \vec{B} \, dV = \oint_S B_n \, dS = (B_{2n} - B_{1n}) S + N' = 0$$

где  $N'$  — поток вектора  $\vec{B}$  через боковую поверхность цилиндра. т.к.  $l \rightarrow 0$ , то  $N' \rightarrow 0$

$$B_{2n} - B_{1n} = 0 \quad \text{или}$$

$$B_{2n} = B_{1n}$$

т.е. на границе раздела двух сред нормальная составляющая вектора  $\vec{B}$  остается непрерывной.

$$\text{т.к. } B_{2n} = \mu_2 H_{2n}$$

$$B_{1n} = \mu_1 H_{1n} \quad \text{то}$$

$$H_{2n} \neq H_{1n} \quad \text{и}$$

$$\frac{H_{2n}}{H_{1n}} = \frac{\mu_1}{\mu_2}$$

т.е. нормальная составляющая вектора индукции на границе раздела равна, нормальная составляющая магнитного поля

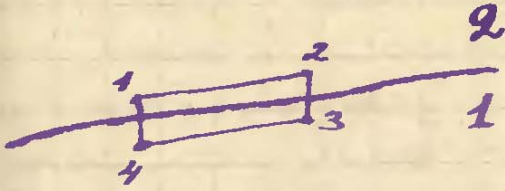
кривой по-1, откосности вправо пропорционально магнитным свойствам.

Согласно теореме Стокса:

$$\oint_L \vec{a}_e dl = \int_S \text{rot}_n \vec{a} d\vec{S}$$

циркуляцию произвольной векторной по замкнутой кривой L, равную потоку ротора вектор. через поверхность S, опирающуюся на кривую L.

$$\int_S \text{rot}_n H d\vec{S} = \oint H_e dl$$



$$\frac{4\pi}{c} \int j_n dS = L(H_{2t} - H_{1t}) + Q$$

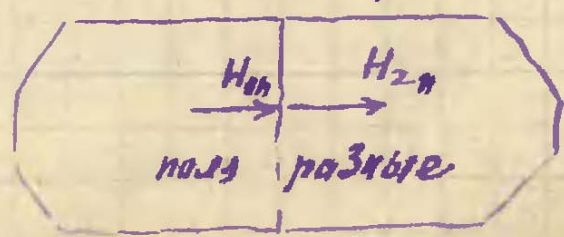
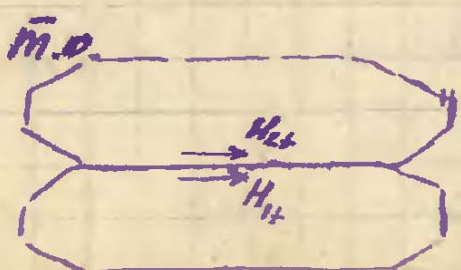
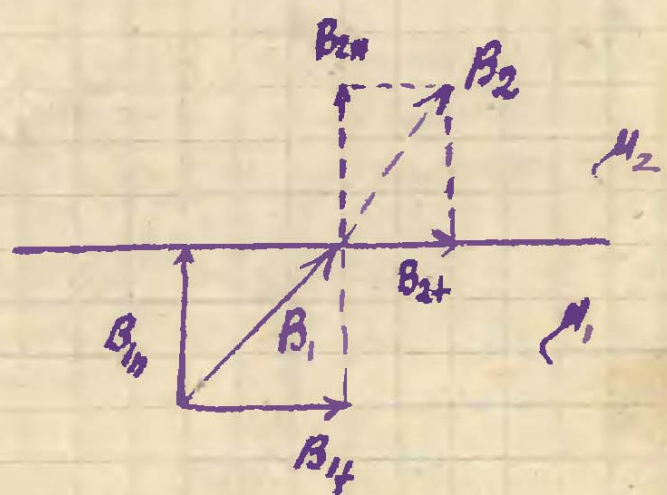
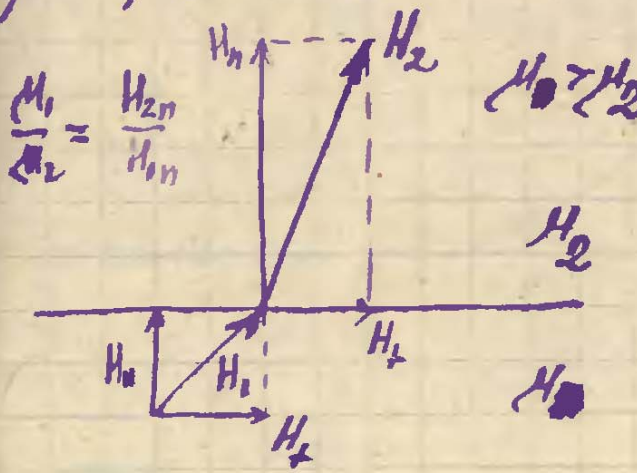
Если  $1 \rightarrow 4$  и  $2 \rightarrow 3$ , то  $Q \rightarrow 0$ . Если поверхность тока такая же, то  $j_n = 0$ , и следовательно:

$$H_{2t} = H_{1t}$$

$$H_{2t} = \frac{B_{2t}}{\mu_2} \text{ и } H_{1t} = \frac{B_{1t}}{\mu_1} \text{ откуда:}$$

$$\frac{B_{2t}}{B_{1t}} = \frac{\mu_2}{\mu_1}$$

т.е. тангенциальная составляющая вектора H непрерывна, ~~и~~ тангенциальная составляющая вектора B пропорциональна магнитной проницаемости.



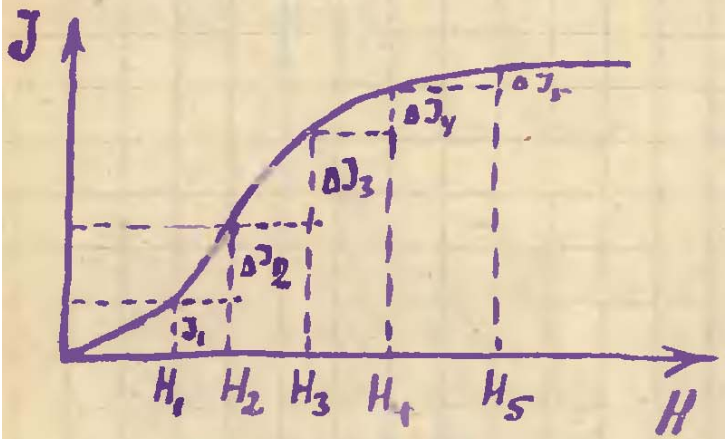
Особенности ферромагнетиков  $\chi$ -отенс велико

$\chi = f(H)$  причем эта функция - неоднородна.  $\chi$  зависит не только от  $H$ , но и от предшествующих состояний ферромагнетика. Подобная зависимость предшествующих состояний (гистерезиса) имеет место также на волюме гетерогенности.

Поэтому когда мы строим график зависимости  $J$  от  $H$ , мы должны совершенно точно знать, какими образом менялось  $H$  до достижения данного значения и каковы до воздействия пом было значение  $H$ . В противном случае  $J$  и  $\chi$  будут намагниченности будут безразличны.

1. получение нулевой (первичной или действительной кривой).

Абсолютно размагниченное тело намагничивается последовательными уменьшением напряженности магнитного поля.



Во время намагничивания, нельзя ни уменьшать поле, ни прерывать его, т.к. после этого мы уже не сможем вернуться на действительную кривую. Это может быть проделано в одном направлении и только один раз.

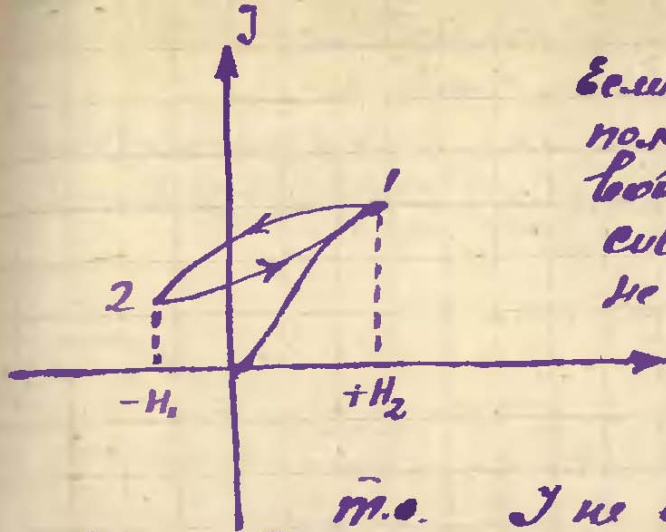


$\text{tg } \alpha = \lim_{H \rightarrow 0} \frac{J}{H}$   
называется (или)  
начальной  
восприимчивостью

$\chi_0$   
 $\text{tg } \beta = \left( \frac{J}{H} \right)_{\text{max}}$  и

называется максимальной  $\chi_{\text{max}}$  восприимчивостью

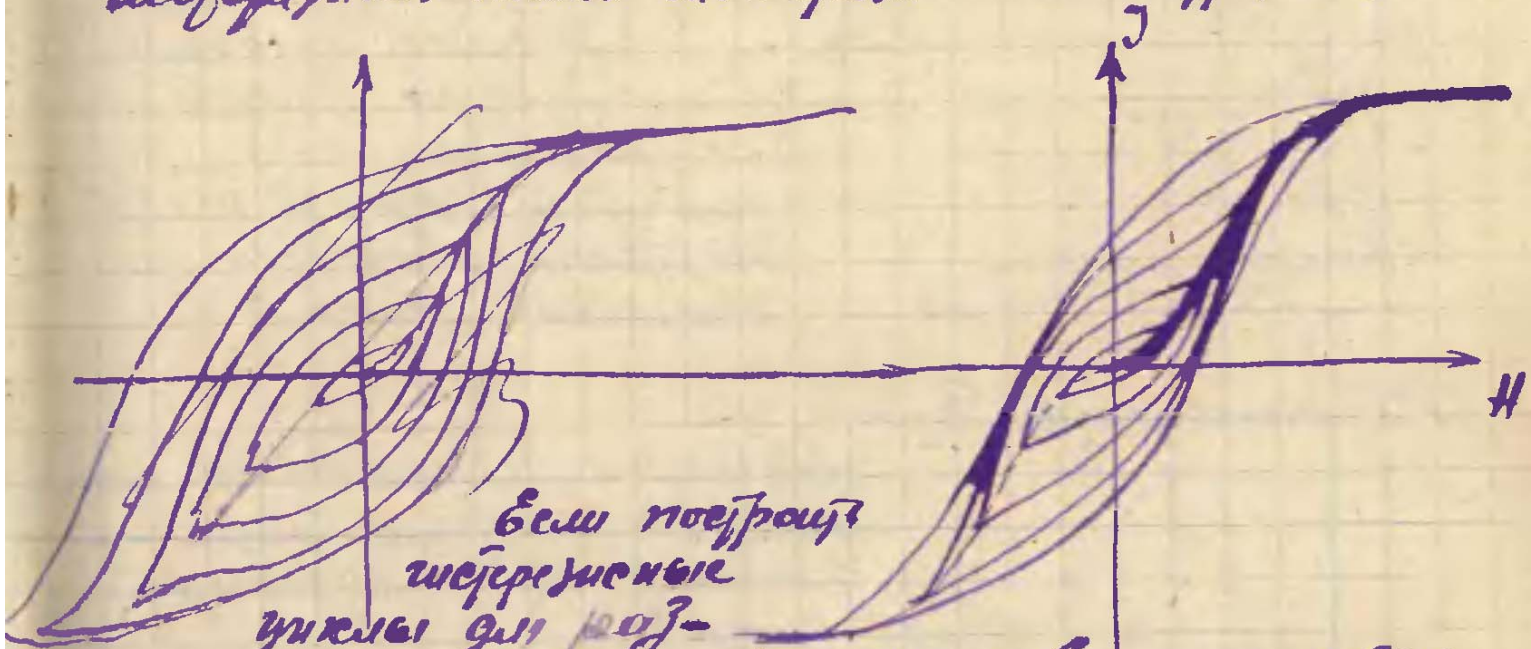
В слабых полях отведк.  $\chi \rightarrow 0$ .



Если при значении поля  $+H_2$  убавим поле, то оно пойдет по другой кривой, причем при поле  $-H_1$ , индукция намагниченности не уменьшится. И при новом увеличении поля в точку 1 или вернемся уже по другому пути.

т.е. И мы еще однозначно фиксируем поле

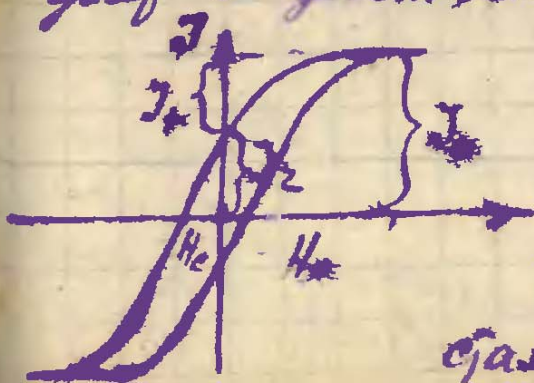
Особая величина интересна и имеет значение  $J$  при периодическом изменении поля от  $-H$  до  $+H$ , и обратно. Если  $H_1 = H_2 = H_0$  - поле на сызучении или выносе его. Для четного выноса процесса мы получаем замкнутую кривую - петлю Шегерейна. Петля шегерейна - симметрична.



Если построим шегерейские

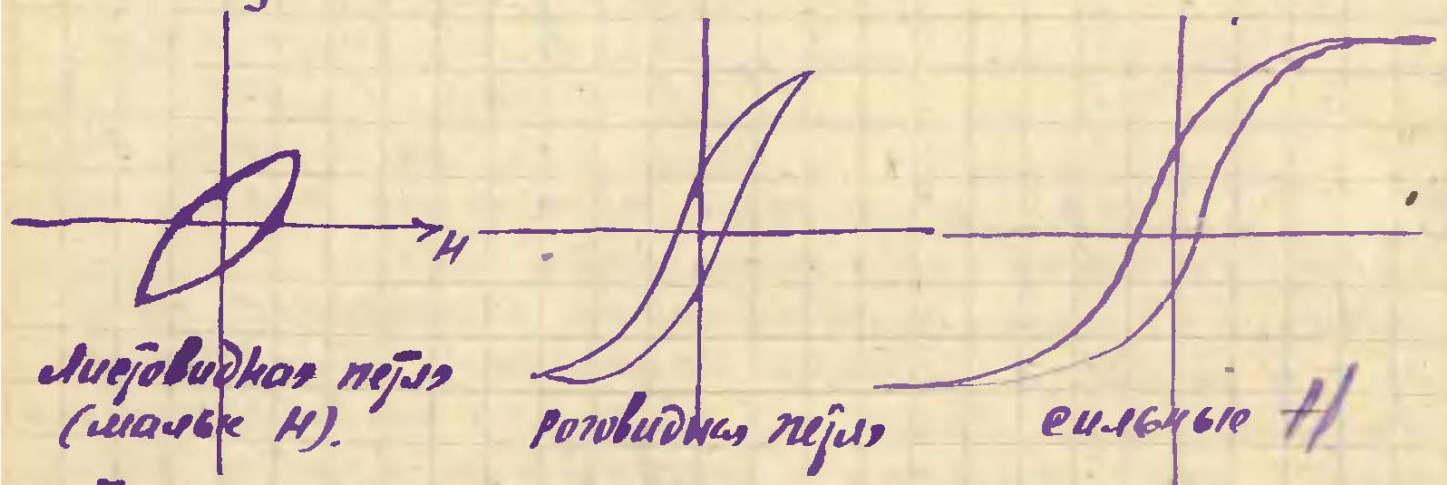
циклы для раз-

личных полей и затем через вершины этих петель проведем кривую, то мы получим кривую  $J = f(H)$  - т.е. кривую намагниченности. Эта кривая намагниченности имеет название основной или коммутационной кривой намагниченности. Обычно коммутационная кривая совпадает с действительной кривой.



Если при  $H = H_0$   $J = J_0$ , то при уменьшении поля до нуля  $J \neq 0$   $J_0$  - собственное поле  $H = 0$  и при наложении остаточного намагничивания  $H$  чертит,  $J_0$  - величина намагниченности. Для того чтобы  $J_0$  была равна нулю, следует приложить

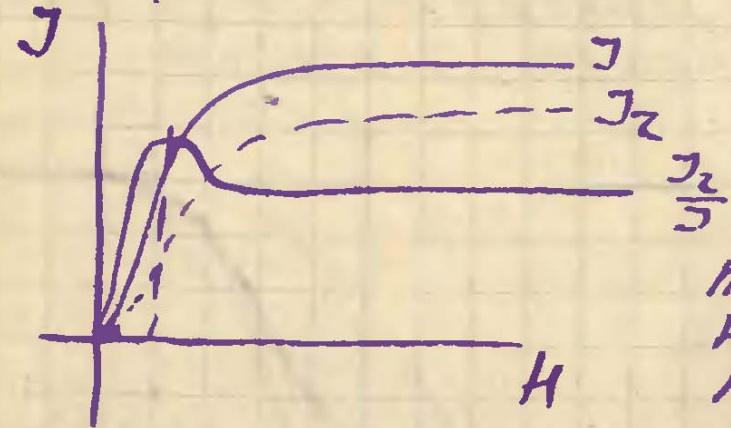
поле образной напряженности  $H_e$ , называемое коэрцитивной силой. Совокупность циклов называется звездой циклов, представляется петля-максимальной петлей. Предельная  $H_e$  называется коэрцитивной силой материала.



линейная петля (малые  $H$ ).

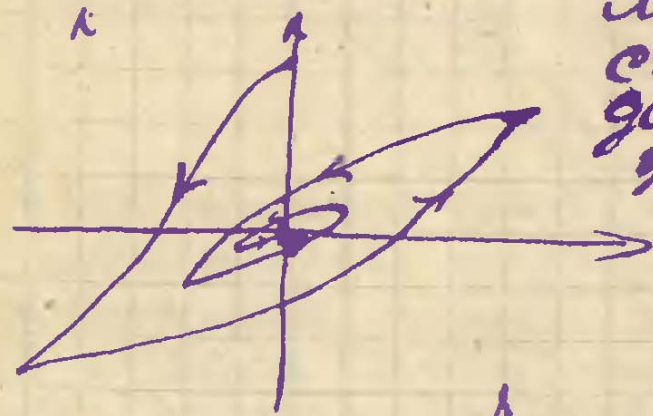
гоговидная петля

сильные  $H$



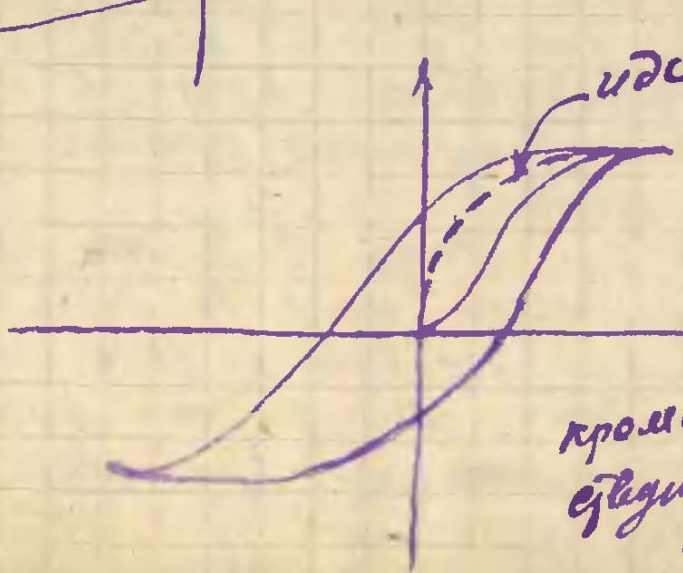
$\frac{J}{H}$  имеет максимум в области полей где  $H = H_{max}$ . Поле  $H_{crit}$  порядка  $H_{max}$  называемая областью критических полей.

Размагничивание Бгера.

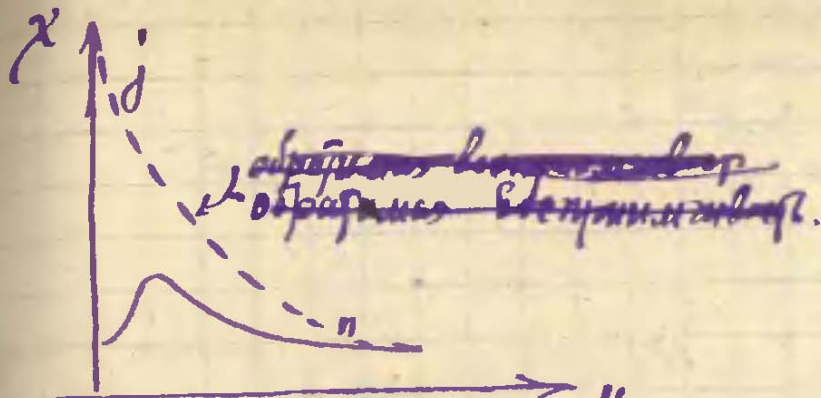


Математическая аккомодация - приспособление намагниченности к данному полю - кривая того цикла.

Идеальные кривые.



идеальными или Бгера-Берекленга кривые перемагничивания циклы. Они - данные пол. Погибают от коэрцитив. Кроме переменной пол. Дед - едвиг. магнитосилы ее. Трисоничеви, при данных поле  $H$ . (температура?)



воспринимается как идеальной и идеальной кривой.

## Работа намагничивания.

$$\mathcal{W} = \int j S E l = \int j E \cdot V$$

Плотность тока, текущий по проводнику обладает энергией:

$$\frac{\partial W}{\partial t} = \int_V (j \vec{E}) dV \quad (1)$$

$$j_{\text{ср}} = \frac{1}{4\pi} \frac{\partial \vec{D}}{\partial t}$$

т.к.  $\text{rot } \vec{H} = \frac{4\pi}{c} \vec{j} + \frac{1}{c} \frac{\partial \vec{D}}{\partial t}$  отсюда:  $\text{rot } \vec{H} - \frac{1}{c} \frac{\partial \vec{D}}{\partial t} = \frac{4\pi}{c} \vec{j}$  или:

$$\vec{j} = \frac{c}{4\pi} \left( \text{rot } \vec{H} - \frac{1}{c} \frac{\partial \vec{D}}{\partial t} \right) \text{ и ввр-ие (1) имеет вид:}$$

$$\frac{\partial W}{\partial t} = \frac{c}{4\pi} \int \left( \text{rot } \vec{H} - \frac{1}{c} \frac{\partial \vec{D}}{\partial t} \right) \vec{E} dV$$

$$\nabla [\vec{E} \vec{H}] = -\vec{E} [\nabla \vec{H}] + H [\nabla \vec{E}]$$

$$\text{div} [\vec{E} \vec{H}] = -\vec{E} \text{rot } \vec{H} + \vec{H} \text{rot } \vec{E}$$

$$\vec{E} \text{rot } \vec{H} = \vec{H} \text{rot } \vec{E} - \text{div} [\vec{E} \vec{H}]$$

$$\text{или } \vec{E} \text{rot } \vec{H} = -\text{div} [\vec{E} \vec{H}] + \frac{1}{c} H \frac{\partial B}{\partial t}$$

$$\text{Отсюда } \frac{\partial W}{\partial t} = \frac{c}{4\pi} \left\{ \int \text{div} [\vec{E} \vec{H}] dV + \int \frac{1}{c} H \frac{\partial B}{\partial t} dV + \int \frac{1}{c} E \frac{\partial D}{\partial t} dV \right\}$$

Магнитная энергия:

$$\frac{\partial W_{\text{м}}}{\partial t} = \frac{1}{4\pi} \int H \frac{\partial B}{\partial t} dV$$

т.к.  $B = H + 4\pi J$ , то

$$\frac{\partial W_{cu}}{\partial t} = \frac{1}{4\pi} \int H \frac{\partial}{\partial t} (H + 4\pi J) dv =$$

$$= \frac{1}{4\pi} \int H \frac{\partial H}{\partial t} dv + \int H \frac{\partial J}{\partial t} dv \quad \text{для единицы объема.}$$

~~$\frac{dW_{cu}}{dt} = \frac{1}{4\pi} \int H dH$~~   $dW_{cu} = \frac{1}{4\pi} H dH + H dJ$

"  $W_{cu} = \frac{1}{4\pi} \int H dH + \int H dJ = \frac{H^2}{8\pi} + \int H dJ.$

Энергия намагниченности  ~~$W_{cu}$~~   $U = \int H dJ.$   
запасенная в ферромагнетике:

Работа намагниченности.

Мощность тока, как известно, определяется выражением:  
 $\frac{\partial W}{\partial t} = J V$  где  $J$  - сила тока  
 $V$  - напряжение  
 $W$  - работа тока.

т.к.  $J = j S$  и  $V = E l$ , то

$\frac{\partial W}{\partial t} = (j E) S l$  т.к.  $S l = V$  объему проводника,  $j$

$\frac{\partial W}{\partial t} = (j \vec{E}) V$  Если плотность тока  $j$  меняется от точки к точке, Напряженность

поля  $E$  - так же меняется от точки к точке, то очевидно

$\frac{\partial W}{\partial t} = \int_V (j \vec{E}) dv \dots (1)$

Воспользуемся уравнением Максвелла

Члот  $\vec{H} = \frac{4\pi}{c} (j + j_{ext})$  где  $j$  - плотность тока проводимости,  $j_{ext}$  - плотность

тока электричества. т.к.  $\vec{j}_{ext} = \frac{1}{4\pi} \frac{\partial \vec{D}}{\partial t}$  где  $\vec{D}$  вектор электрической индукции, то

$$\text{rot } \vec{H} = \frac{4\pi}{c} \vec{j} + \frac{1}{c} \frac{\partial \vec{D}}{\partial t} \quad \text{Откуда}$$

$$\frac{4\pi}{c} \vec{j} = \text{rot } \vec{H} - \frac{1}{c} \frac{\partial \vec{D}}{\partial t} \quad \text{и}$$

$$\vec{j} = \frac{c}{4\pi} \text{rot } \vec{H} - \frac{1}{4\pi} \frac{\partial \vec{D}}{\partial t}. \quad (2)$$

Подставляя уравнение (2) в (1) - получим:

$$\frac{\partial W}{\partial t} = \int_V \left( \frac{c}{4\pi} \text{rot } \vec{H} - \frac{1}{4\pi} \frac{\partial \vec{D}}{\partial t} \right) \vec{E} dV \quad (3)$$

Выполним соотношения:

$$\nabla [\vec{a} \vec{b}] = \vec{b} \nabla \vec{a} - \vec{a} \nabla \vec{b} \quad \text{или:}$$

$$\text{div} [\vec{a} \vec{b}] = \vec{b} \text{rot } \vec{a} - \vec{a} \text{rot } \vec{b}. \quad \text{возьмем:}$$

$$\text{div} [\vec{E} \vec{H}] = \vec{H} \text{rot } \vec{E} - \vec{E} \text{rot } \vec{H} \quad \text{или:}$$

$$\vec{E} \text{rot } \vec{H} = \vec{H} \text{rot } \vec{E} - \text{div} [\vec{E} \vec{H}]. \quad \text{подставим в (3) получим:}$$

$$\frac{\partial W}{\partial t} = \frac{c}{4\pi} \int_V (\vec{H} \text{rot } \vec{E}) dV - \frac{c}{4\pi} \int_V \text{div} [\vec{E} \vec{H}] dV - \frac{1}{4\pi} \int_V \vec{E} \frac{\partial \vec{D}}{\partial t} dV.$$

$$\text{т.к. } \text{rot } \vec{E} = -\frac{1}{c} \frac{\partial \vec{B}}{\partial t} \quad \text{где } \vec{B} - \text{вектор магнитной индукции, то:}$$

$$\frac{\partial W}{\partial t} = -\frac{1}{4\pi} \int_V (\vec{H} \frac{\partial \vec{B}}{\partial t}) dV - \frac{c}{4\pi} \int_V \text{div} [\vec{E} \vec{H}] dV - \frac{1}{4\pi} \int_V \vec{E} \frac{\partial \vec{D}}{\partial t} dV. \quad (4)$$

Очевидно:  $\frac{c}{4\pi} [\vec{E} \vec{H}]$  - известный вектор Пойнтинга.

последний интеграл дает производную по времени от энергии кол энергии поля.

Первый интеграл дает производную по времени от магнитной энергии поля. Эта часть очевидно как и интеграл



назовем ее

$$\frac{\partial W_{\omega}}{\partial t} = -\frac{1}{4\pi} \int_V \left( \vec{H} \frac{\partial \vec{B}}{\partial t} \right) dV$$

Если  $H$  и  $B$  во всем объеме одинаковы, то для единицы объема получим

$$\frac{\partial W_{\omega}}{\partial t} = -\frac{1}{4\pi} H \frac{\partial B}{\partial t} \quad \text{или переход к дифференциалам:}$$

$$dW_{\omega} = -\frac{1}{4\pi} H dB \quad (5)$$

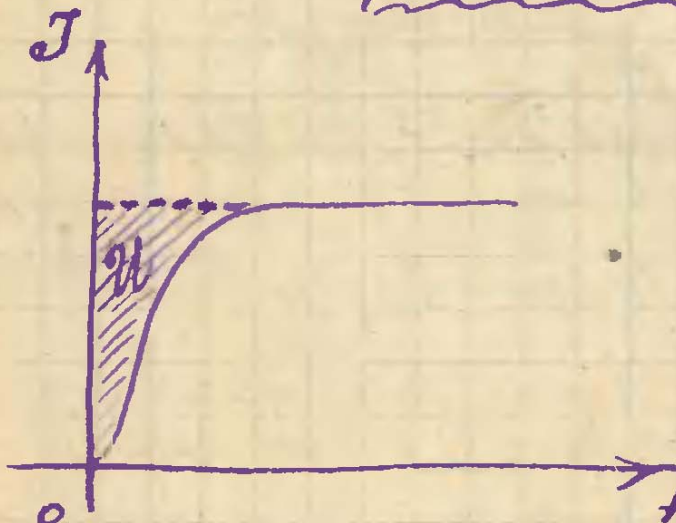
т.к.  $B = H + 4\pi J$ , то  $dB = dH + 4\pi dJ$  и уравнение (5) принимает вид:

$$dW_{\omega} = -\frac{1}{4\pi} H dH - H dJ$$

$$W_{\omega} = -\frac{1}{4\pi} \int_0^H H dH - \int_0^J H dJ$$

Первый интеграл дает  $\frac{H^2}{8\pi}$  энергию внешнего магнитного поля. Второй интеграл дает энергию, затраченную в ферромагнетике при намагничивании от 0 до  $J$ . Итак, работа намагничивания единицы объема ферромагнетика

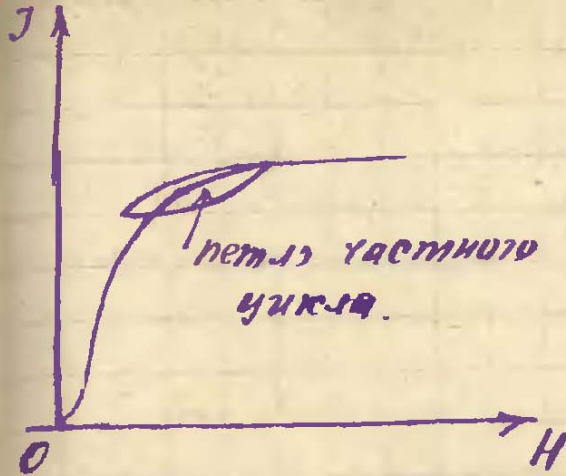
$$U = \int_0^J H dJ \quad (6)$$



На кривой  $J = f(H)$  работа намагничивания очевидно определится заштрихованной площадью, между осью  $J$  и кривой  $J = f(H)$ .

т.к. кривая  $J = f(H)$  не есть величина, зависящая от  $H$  способа намагничивания - одно-

значной функции  $H$ , то и работа намагничивания будет неизбежно зависеть от способа намагничивания и «магнитной истории» образца.



Если в кривой намагничивания уменьшить поле до некоторого значения не достигая равной отрицательной поля и затем вновь вернуть к исходному состоянию, то при повторении несколько раз такой операции, мы получим г.н. частный цикл гистерезиса.

Площадь петли даёт невозвратимую потерю энергии на гистерезисе. Энергия эта переходит в тепло.

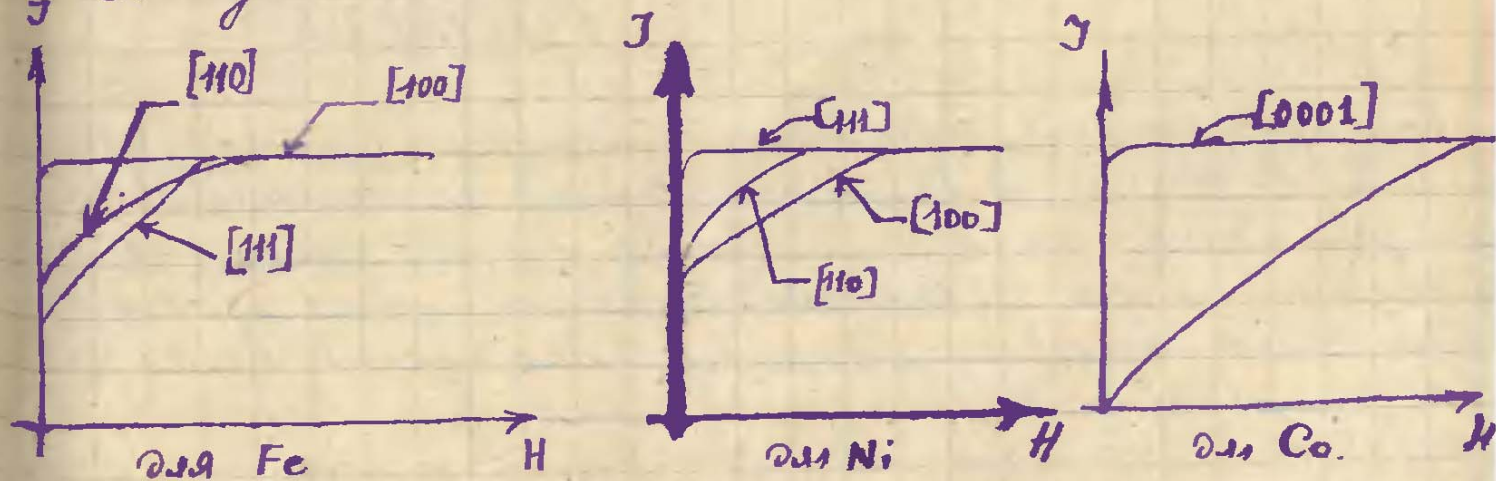
## Намагничивание монокристаллов.

Т.к. всякий обычный ферромагнитный образец, состоит из большого числа монокристаллов, то естественно, что чрезвычайно важным является исследование намагниченности монокристаллов, т.е. зависимость намагниченности монокристаллического образца есть среднее от намагниченности составляющих его монокристаллов.

Что следует предвидеть от теории:

1. Описать механизм намагничивания.
2. Дать качественную кривую  $J = f(H)$ .

Что даёт опыт?



Выводы: 1. Так как работа намагничивания монокристаллов по разным кристаллографическим направлениям различна, то ферромагнитный монокристалл, обладает энергетической магнитной анизотропией.

2. Так как в кристалле есть направление, вдоль которых работа намагничивания практически равна нулю, то эти направления суть направления легкой намагничиваемости.

В железе направления легкой намагничиваемости совпадают с направлениями тетрагональной оси кристалла,

в никеле с направлениями тригональной оси, в кобальте с направлениями гексагональной оси.

3. По кривым намагничивания показав, что уже в практически бесконечно-малых полях, намагничивание достигает значительных размеров, далее наблюдается излом и ход становится более медленным, и наконец, в сильных полях поднимается кривая  $J-H$  очень мало. Эти факты наводят на мысль что в процессе намагничивания состоят практически из трех отдельных процессов. Можно дать им следующие названия:

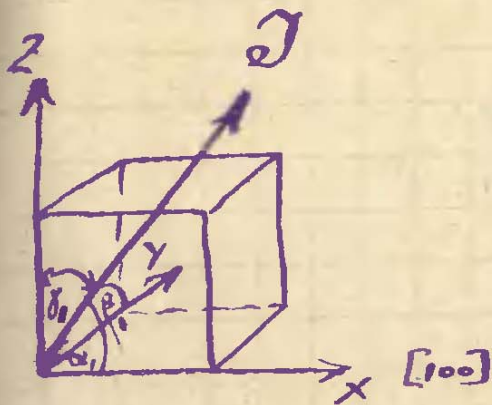
1. Процесс инверсии
2. Процесс вращения
3. Парипроцесс.

## Энергетическая анизотропия Кристаллов кубической системы.

Если представить себе точно кубическую решетку, причем в вершинах куба будут сидеть магнитные диполи, то результат их взаимодействия будет таков, что кристалл будет абсолютно изотропен, что и было в свое время показано Лоренцем. Т.о. должно было обладать изотропией характер кристаллов кубической системы. В 1929г. Лангмюр и следом Матаджи, кристаллы железа или никеля начали рассеивать, даже если он построен идеально, с диполями в вершинах куба. Магнитные диполи - спины дублируются вокруг центра, находящегося в центре и поэтому это не сидит в углах диполи, а в центре и т.д.

квадратности. Различные квадратичности брашируются и приводятся к формулам, которые могут быть получены из закона и их индексов, и именно из) естественный симметрии.

Вывод закона энергетической анизотропии.



Пусть вектор спонтанного намагниченности  $J$  ориентирован в кристалле кубической системы, тетрагональные оси которого совпадают с осями координат  $x, y, z$ , как у стейк-авиго с осями  $x$  угол  $\alpha_1$ , с осью  $y - \alpha_2$ , и с осью  $z - \alpha_3$ .

Пусть  $\cos \alpha_1 = s_1$

$\cos \alpha_2 = s_2$

$\cos \alpha_3 = s_3$

т.к. величина энергии  $U$  зависит от направления, то  $U = U(s_1, s_2, s_3)$ . Очевидно функцию  $U$  должно быть четной относительно  $s_1, s_2, s_3$ . Разложим  $U$  в ряд по степеням  $s_i$ .

$$\begin{aligned}
 U &= U_0 + a_1 s_1^2 + a_2 s_2^2 + a_3 s_3^2 + a_{11} s_1^4 + a_{22} s_2^4 + \\
 &+ a_{33} s_3^4 + a_{12} s_1^2 s_2^2 + a_{23} s_2^2 s_3^2 + a_{13} s_1^2 s_3^2 + \\
 &+ a_{112} s_1^4 s_2^2 + a_{222} s_2^4 s_3^2 + a_{333} s_3^4 s_1^2 + \\
 &+ a_{111} s_1^4 s_3^2 + a_{332} s_3^4 s_2^2 + a_{331} s_3^4 s_1^2 + \\
 &+ a_{221} s_2^4 s_1^2 \\
 &= U_0 + a' (s_1^2 + s_2^2 + s_3^2) + a'' (s_1^4 + s_2^4 + s_3^4) + a''' (s_1^2 s_2^2 + \\
 &+ s_2^2 s_3^2 + s_1^2 s_3^2) + a'''' s_1^2 s_2^2 s_3^2 + a''''' [s_1^2 s_2^2 (s_1^2 + s_2^2) + s_1^2 s_3^2 (s_1^2 + s_3^2) + \\
 &+ (s_2^2 + s_3^2) s_2^2 s_3^2];
 \end{aligned}$$

т.к.  $s_1^2 + s_2^2 + s_3^2 = 1$  то  $s_1^4 + s_2^4 + s_3^4 = 1 - 2s_1^2 s_2^2 + s_2^2 s_3^2 + s_1^2 s_3^2$

$$s_1^2 s_2^2 (1 - s_3^2) + s_1^2 s_3^2 (1 - s_2^2) + (1 - s_1^2) s_2^2 s_3^2 =$$

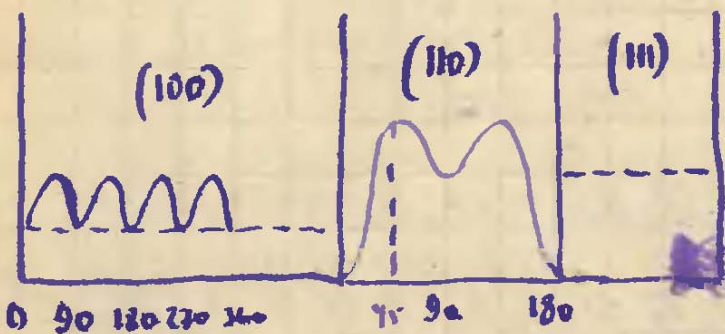
$$= s_1^2 s_2^2 + s_2^2 s_3^2 + s_1^2 s_3^2 - 3 s_1^2 s_2^2 s_3^2$$

$$U = U_0 + a' + a'' - 2a''(s_1^2 s_2^2 + s_2^2 s_3^2 + s_1^2 s_3^2) + a'''(s_1^2 s_2^2 + s_2^2 s_3^2 + s_1^2 s_3^2) + a''''(s_1^2 s_2^2 s_3^2) + a''''''(s_1^2 s_2^2 + s_2^2 s_3^2 + s_1^2 s_3^2) - 3a'''''' s_1^2 s_2^2 s_3^2 +$$

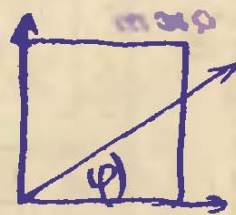
~~$$U = U_0 + 2K_1(s_1^2 s_2^2 s_3^2) + K' s_1^2$$~~

~~$$U = U_0 + 2$$~~

$$U = U_0 + 2K_1(s_1^2 s_2^2 + s_2^2 s_3^2 + s_1^2 s_3^2) + K' s_1^2 s_2^2 s_3^2$$



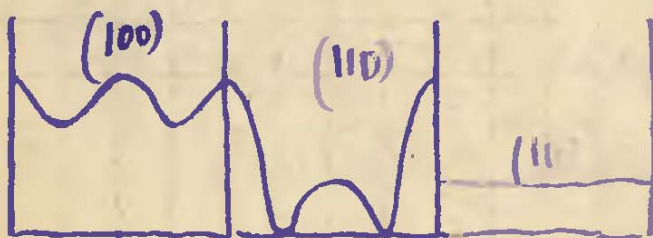
Нормировка (100)



$$s_1 = \cos \varphi$$

$$s_2 = \sin \varphi$$

$$s_3 = 0$$



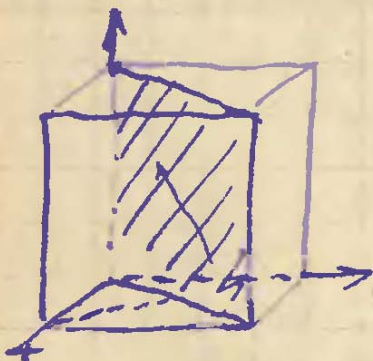
$$U = U_0 + 2K \cos^2 \varphi \sin^2 \varphi = U_0 + \frac{1}{2} K \sin^2 2\varphi$$

(110) - нормировка. Упр-ие нормировки  $\frac{1}{\sqrt{2}} s_1 + \frac{1}{\sqrt{2}} s_2 + 0 \cdot s_3 = 0$

$$s_1 = -s_2 \quad s_3 = \cos \varphi$$

$$s_1^2 + s_2^2 + s_3^2 = 1 \quad 2s_1^2 + \cos^2 \varphi = 1$$

$$s_1^2 = \frac{1}{2}(1 - \cos^2 \varphi) = \frac{1}{2} \sin^2 \varphi$$



$$U = U_0 + 2K \left\{ \frac{1}{4} \sin^4 \varphi + \frac{1}{2} \sin^2 \varphi \cos^2 \varphi + \frac{1}{2} \sin^2 \varphi \cos^2 \varphi \right\} = U_0 + 2K \left\{ \sin^2 \varphi \left[ \cos^2 \varphi - \frac{1}{4} \sin^2 \varphi \right] \right\}$$

III - нулевом.

$$\frac{1}{\sqrt{3}}s_1 + \frac{1}{\sqrt{3}}s_2 + \frac{1}{\sqrt{3}}s_3 = 0.$$

$$s_1 + s_2 + s_3 = 0$$

$$s_1^2 + s_2^2 + s_3^2 = 1.$$

$$s_1^2 + s_2^2 + s_3^2 + 2s_1s_2 + 2s_1s_3 + 2s_2s_3 = 0$$

$$\text{Вычтем } +2(s_1s_2 + s_1s_3 + s_2s_3) = 1.$$

$$4(s_1^2s_2^2 + s_1^2s_3^2 + s_2^2s_3^2 + 2s_1^2s_2s_3 + 2s_2^2s_1s_3 + 2s_3^2s_1s_2) = 1$$

$$4[s_1^2s_2^2 + s_1^2s_3^2 + s_2^2s_3^2 + 2s_1s_2s_3(s_1 + s_2 + s_3)] = 1$$

$$s_1^2s_2^2 + s_2^2s_3^2 + s_1^2s_3^2 = \frac{1}{4}$$

---

Все сечения дают:



$$U = U_0 + K \left( \frac{1}{2}, \frac{1}{2} \right)$$

K

$$U = U_0 +$$

# Экспериментальное определение констант анизотропии.

## 1. Метод площадей.

Наиболее простым и очевидным будет определение констант энергетической анизотропии непосредственно на многокристаллических образцах. Закон энергетической анизотропии имеет вид:

$$U = U_{[100]} + K_1 (s_1^2 s_2^2 + s_2^2 s_3^2 + s_1^2 s_3^2) + K_2 s_1^2 s_2^2 s_3^2.$$

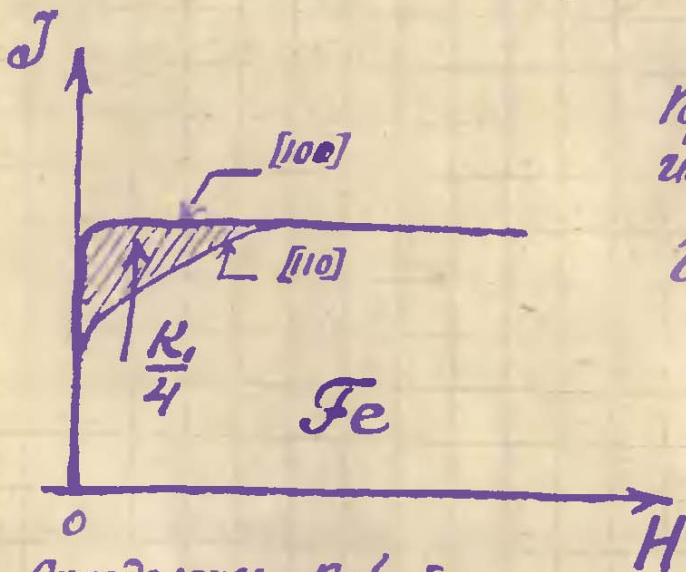
При намагничивании кристалла вдоль оси  $[100]$  энергия намагничивания  $U = U_{[100]}$ .

При намагничивании вдоль оси  $[110]$  -  $U = U_{[100]} + K_1 \frac{1}{4}$

Откуда:

$$U_{[110]} - U_{[100]} = \frac{K_1}{4} \quad \text{или}$$

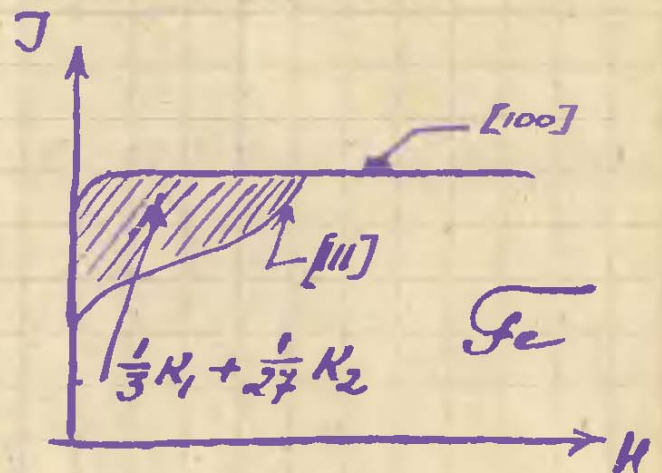
$$K_1 = 4 [U_{[110]} - U_{[100]}]$$



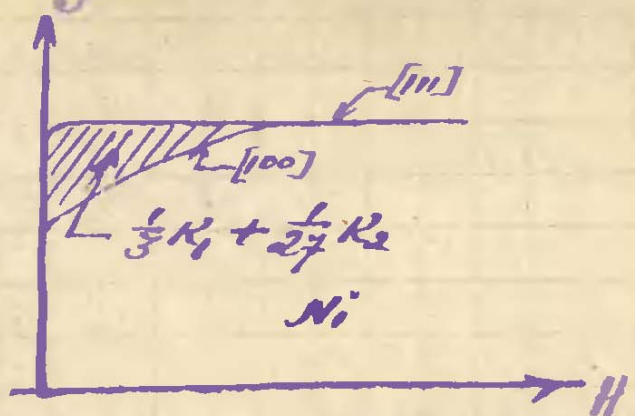
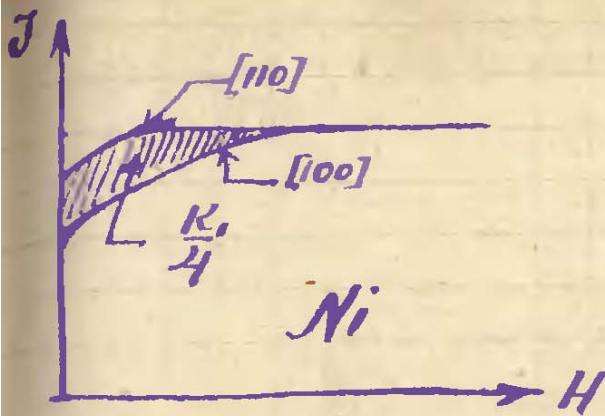
Определены Вебером  
1925г.

При намагничивании вдоль  $[111]$  энергии:

$$U_{[111]} = U_{[100]} + K_1 \frac{1}{3} + K_2 \frac{1}{27}$$

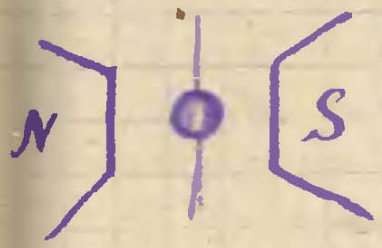


Зная  $K_1$  можно определить  $K_2$ .



2. Метод металлических молекул.

Однако указанный выше способ не совсем хорош и удобен. Обычно имеют при образце - стержень, вытянутый в большую ось в направлениях [100], [110], [111]. От него трудно получить точную ориентировку, учесть разность швабильный фактор и обычно образцы имеют кристаллическую структуру и различные дефекты и волютемы неоднородности состав и обработка. Крайне вытекают плохую работу. Поэтому более совершенным является метод молекул. Допустим, что мы имеем какой-либо тел. вращении вращающее из монокристалла (обычно диск, цилиндр вращении или лучше всего шар). Допустим даже что оно строго гомогенно около вертикальной оси и поместим его в однородном поле, направлении горизонтально. Вследствии аннотации кристалла в форме диска или шара будет вести себя подобно шарику и будет пытаться удерживаться вдоль пол-направлении легко намагнилит, летая в пол-клетки вращении. Если кристалл ориентирован направлением легко намагнилит вдоль поля, то придем к кристаллу механической молекулы и можно его вынуть и установить, путем оседания при ультрацентрической работе совершая работу передвиг в свободной части кристалла. При повороте на  $d\varphi$ , при этом свободной части  $dU$  будет



$$dU = M d\varphi, \text{ отсюда: (1)}$$

$$M = \frac{dU}{d\varphi} \dots (2)$$



Пусть кристалл вырезан в форме шара и валзор  
пока лежит в плоскости (100).

Тогда:

$$U = U_{[100]} + K_1 \sin^2 \varphi \cos^2 \varphi = \\ = U_{[100]} + \frac{K_1}{4} \sin^2 2\varphi;$$

Следовательно: механический момент:

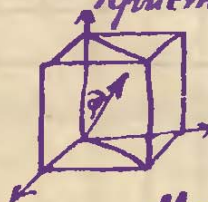
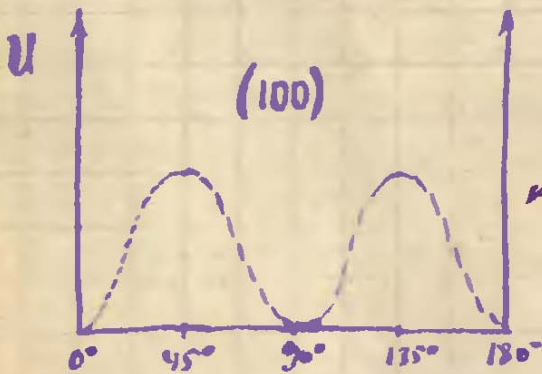
$$M = \frac{K_1}{4} 2 \cdot 2 \sin 2\varphi \cos 2\varphi = \\ = \frac{K_1}{2} \sin 4\varphi$$

Угол:  $M = \frac{K_1}{2} \sin 4\varphi$ , откуда:

$$K_1 = \frac{2M}{\sin 4\varphi}$$

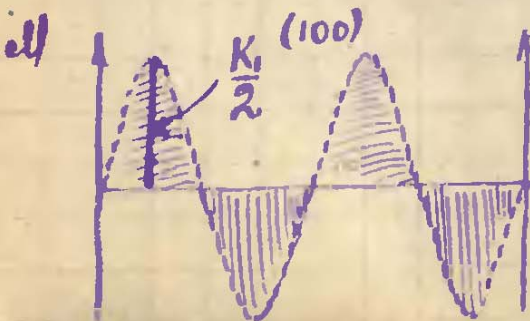
т.е. первая константа эмеритовой аши-  
тропии численно равна удвоенному механи-  
ческому моменту, приложенному к кристаллу  
объемом в  $1 \text{ см}^3$  под углом  $22,5^\circ$  к тетраэ-  
дральной оси, в области поля насыщения.

Кристалл в плоскости (110).



$$S_z = \cos \varphi \quad S_x^2 + S_y^2 + S_z^2 = 1 \quad S_x^2 = \frac{1}{2} \sin^2 \varphi \\ U = U_0 + K_1 \left\{ \frac{1}{4} \sin^4 \varphi + \sin^2 \varphi \cos^2 \varphi \right\} + K_2 \frac{1}{2} \sin^4 \varphi \cos^2 \varphi$$

$$M = \frac{dU}{d\varphi} = K_1 \left\{ \sin^3 \varphi \cos \varphi + 2 \sin \varphi \cos^3 \varphi - 2 \sin^3 \varphi \cos \varphi \right\} + \\ + K_2 \left\{ \sin^3 \varphi \cos^2 \varphi - \frac{1}{2} \sin^5 \varphi \cos \varphi \right\} =$$



$$= K_1 \sin \varphi \cos \varphi \left\{ 2 \cos^2 \varphi - \sin^2 \varphi \right\} + K_2 \sin \varphi \cos \varphi \left\{ \sin^2 \varphi \cos^2 \varphi - \frac{1}{2} \sin^4 \varphi \right\} = \\ = K_1 \frac{1}{2} \sin 2\varphi \left\{ 3 \cos^2 \varphi - 1 \right\} + K_2 \frac{1}{2} \sin 2\varphi \left\{ \frac{1}{4} \sin^2 \varphi - \frac{1}{2} \sin^4 \varphi \right\}. \text{ Зная } K_1 \text{ из предыдущего можно}$$

построить график и опре-  
делить  $K_2$ .

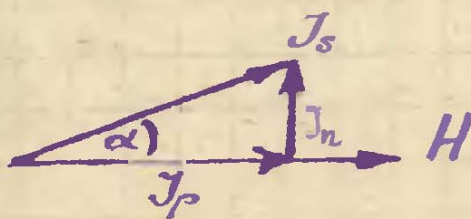
### 3. Метод нормальной составляющей намагниченности.

Вследствие анизотропии ферромагнитных кристаллов, в общем случае, вектор спонтанного намагничения  $J_s$  не будет совпадать с направлением внешнего поля. В этом случае интенсивность намагниченности  $J$  будет представлять собой параллельную составляющую вектора  $J_s$  на направление внешнего поля.

$$J = J_p = J_s \cos \alpha$$

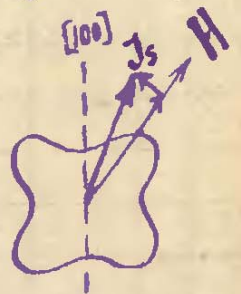
Магнитная энергия единицы объема

$$U = -H J_p = -H J_s \cos \alpha$$



Момент в плоскости  $J_s H$ :

$$M = \frac{dU}{d\alpha} \quad \text{или}$$



$$J_n H = H J_s \sin \alpha$$

Если плоскость  $J_s H$  — есть плоскость (100), то

$$J_n H = \frac{d}{d\varphi} \left\{ U_{[100]} + K_1 \sin^2 \varphi \cos^2 \varphi \right\} \quad \text{или}$$

$$J_n H = \frac{K_1}{2} \sin 4\varphi \quad \text{и т.о.}$$

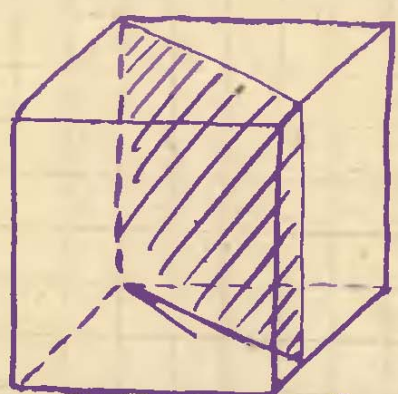
$$K_1 = \frac{2 J_n H}{\sin 4\varphi}$$

при  $\varphi = \frac{\pi}{8}$  получим:  $\left\{ K_1 = 2 J_n H. \right\}$

т.о. измерив экспериментально  $J_n$  и  $H$  получим  $K_1$ , если возьмем плоскость (110) то найдем  $K_1$  и  $K_2$ , или

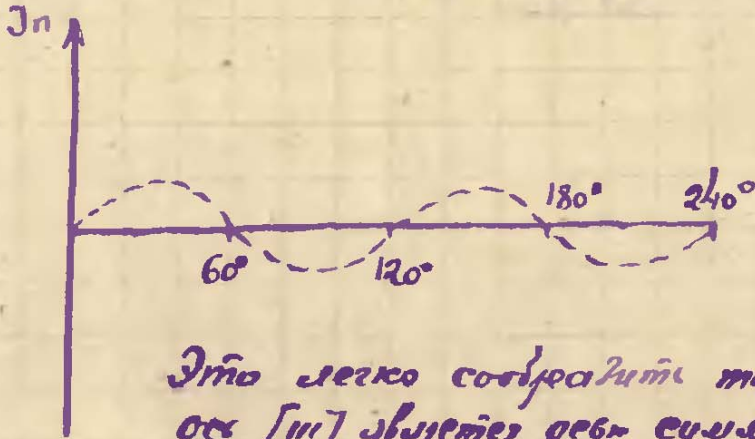
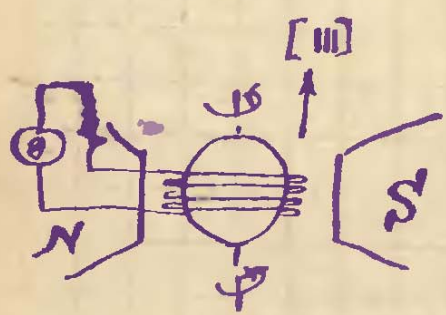
$$J_n H = \frac{1}{2} K_1 \sin 2\varphi (3 \cos^2 \varphi - 1) + \frac{1}{2} K_2 \sin 2\varphi \left( \frac{1}{4} \sin^2 2\varphi - \frac{1}{2} \sin^4 \varphi \right)$$

Мы рассмотрим нормальную элементарную ячейку, причем как вектор поля  $H$ , так и вектор индукции  $J_s$  лежат в плоскостях (100), (110).  $J_s$  же выводит и эти плоскости, т.е. эти плоскости будут плоскостями симметрии. Если этого не будет, то может появиться вторая нормальная элементарная ячейка, которая перпендикулярна плоскости, в которой вращается поле.

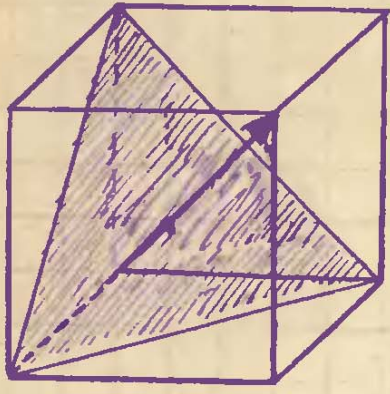


В частности, если поле направлено вдоль плоскости (111), а образец - в виде гексагонального шара, то при вращении шара в плоскости (111) перпендикулярно этой плоскости периодическая будет меняться нормальная элементарная.

В частности, если поле направлено вдоль плоскости (111), а образец - в виде гексагонального шара, то при вращении шара в плоскости (111) перпендикулярно этой плоскости периодическая будет меняться нормальная элементарная.



Это легко сообразить так как ось [111] является осью симметрии 3 порядка, следовательно период будет  $120^\circ$ .



### Результаты опытных исследований:

По Биттнеру - монография 1937.

Fe  $K_1 = 4,2 - 4,4 \cdot 10^5 \frac{\text{эрг}}{\text{см}^3}$   
 $J_s = 1720$

Ni  $K_1 = -1,890 - 2,6 \cdot 10^4 \frac{\text{эрг}}{\text{см}^3}$   
 $J_s = 500$

Для сплавов Fe-Ni

$K_1 > 0$  от 30% до 70% Ni

$K_1 < 0$  ~ 70% до 100% Ni

(по Лихтенбергеру).

д.ч. Fe-Co сплав по Ш.и.

% Co	$K_1$
30	$0,57 \cdot 10^5 \text{ эр}^2/\text{с.м}^2$
40	0,16
50	-0,55
70	-2,1.

## Энергетическая анизотропия монокристаллов кобальта.

Как известно, кобальт обладает всего одним направлением легкой намагниченности, обладающей в кристаллической решетке. Если вектор спонтанного намагничивания направлен углом  $\varphi$  к кристаллографической оси, то:

$$U = U_0 + K_1 \cos^2 \varphi + K_2 \cos^4 \varphi + \dots$$

Определим  $K_1$  и  $K_2$

можно также методом площадей или методом моментов.

$$M = \frac{\partial U}{\partial \varphi} = 2K_1 \cos \varphi \sin \varphi - 4K_2 \cos^3 \varphi \sin \varphi \text{ и т.д.}$$

$$M = -2 \sin \varphi \cos \varphi \{ K_1 + 2K_2 \cos^2 \varphi \} \text{ или:}$$

$$\boxed{M = -\sin 2\varphi \{ K_1 + K_2 \cos^2 \varphi \}}$$

По данным Хонда и Мацумото, при комнатной температуре

~~$$K_1 = \dots \quad K_2 = 0,60 \cdot 10^6 \text{ эр}^2/\text{с.м}^2$$~~

Однако:  $K_1 = -7,8 \cdot 10^6$

$$K_2 = 2,2 \cdot 10^6$$

# Кривая намагниченности недеформированного монокристалла в области процесса вращения.

Допустим, что мы имеем недеформированный кристалл кубической симметрии, тогда энергия его

$$U = U_0 + K_1 (S_1^2 S_2^2 + S_2^2 S_3^2 + S_1^2 S_3^2)$$

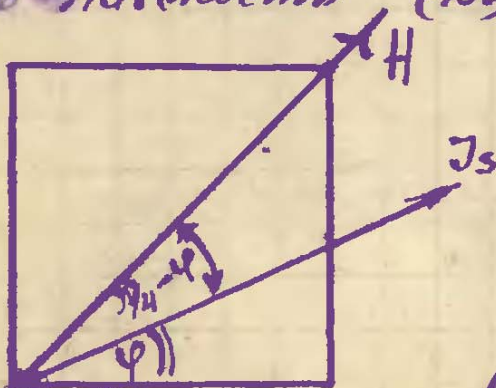
Членом 6-ой степени мы пренебрегаем. Если мы будем намагничивать кристалл крицей направленной под  $H$  составит с тетраэдронами осевыми кристалла углы,  ~~$\alpha, \beta, \gamma$~~  косинусы которых суть  $h_1, h_2, h_3$  то поля энергии будут складываться из энергии кристалла во внешнем поле и энергии магнитной анизотропии. Энергия намагниченности

$$\int_0^J H dJ \rightarrow \text{перейдем в свободную внутреннюю энергию кристалла. При } K_1 > 0$$

$$\int H dJ = K_1 (S_1^2 S_2^2 + S_2^2 S_3^2 + S_1^2 S_3^2) + U_0$$

Пусть намагничение происходит вдоль оси  $[100]$  энергии затрачивать на намагничение не нужно.

Пусть намагничение происходит вдоль оси  $[110]$ .  $J_s$  будет с увеличением поля приближаться к полю в плоскости  $(100)$



$$S_1 = \cos \varphi$$

$$S_2 = \sin \varphi$$

$$S_3 = 0$$

$$J_p = J \left( \frac{1}{\sqrt{2}} \cos \varphi + \frac{1}{\sqrt{2}} \sin \varphi \right)$$

$$J_p = J$$

$$\frac{J}{J_s} = \frac{1}{\sqrt{2}} (\cos \varphi + \sin \varphi)$$

$$\int H dJ = K_1 \cos^2 \varphi \sin^2 \varphi$$

$$\frac{J^2}{J_s^2} = \frac{1}{2} (\cos^2 \varphi + \sin^2 \varphi + 2 \cos \varphi \sin \varphi) = \frac{1}{2} (1 + 2 \cos \varphi \sin \varphi)$$

$$\frac{J^2}{J_s^2} - \frac{1}{2} = \cos \varphi \sin \varphi \quad \cos^2 \varphi \sin^2 \varphi = \left( \frac{J^2}{J_s^2} - \frac{1}{2} \right)^2 \quad \text{или:}$$

$$\int H dJ = K_1 \left( \frac{J^2}{J_s^2} - \frac{1}{2} \right)^2 \quad \text{продифференцируем по } J.$$

$$H = 2K_1 \frac{2J}{J_s^2} \left( \frac{J^2}{J_s^2} - \frac{1}{2} \right) \quad \text{или:}$$

$$H = \frac{4K_1}{J_s} \frac{J}{J_s} \left( \frac{J^2}{J_s^2} - \frac{1}{2} \right)$$

поскольку  $\frac{J}{J_s} = j$

$\frac{H}{2K_1} = h$ , тогда:

$$h = 2j \left( j^2 - \frac{1}{2} \right)$$

приведенное уравнение кривой намагниченности вдоль дитерминальной оси, для кристаллов кубической симметрии с  $K_1 > 0$ .

исходной системы с  $K_1 > 0$ .

Исследование.

1)  $h=0 \quad j_1=0 \quad j_2 = \pm \frac{1}{\sqrt{2}} = \pm 0,71$

2)  $j=1 \quad h=1$

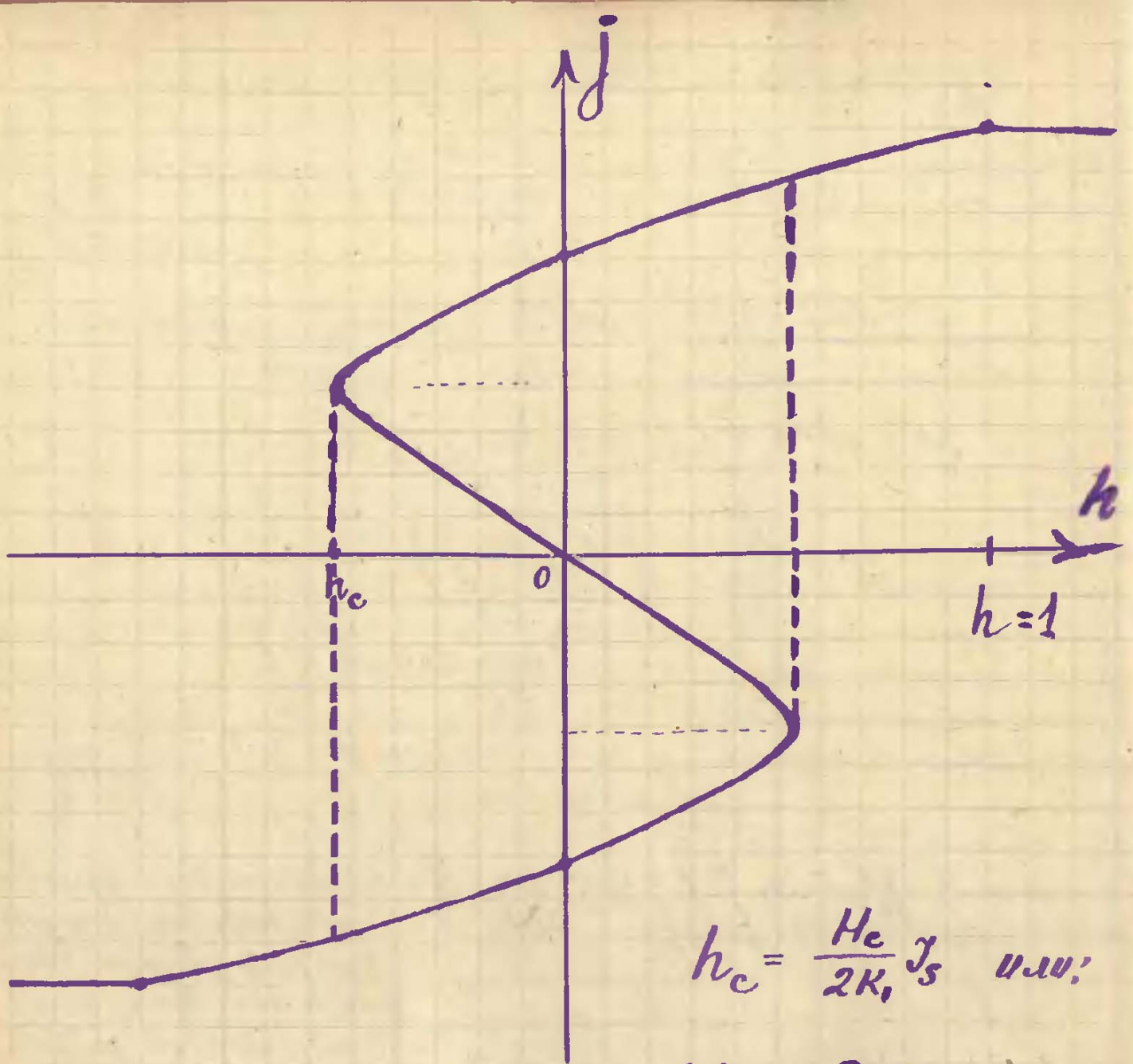
3)  $\frac{dh}{dj} = 2 \left( j^2 - \frac{1}{2} \right) + 2j \cdot 2j = 2j^2 - 1 + 4j^2 = 6j^2 - 1$ ; при  $\frac{dh}{dj} = 0 \quad j = \pm \frac{1}{\sqrt{6}}$ ;

при этом  $h = \frac{2}{\sqrt{6}} \left( \frac{1}{6} - \frac{1}{2} \right) = -\frac{4}{3\sqrt{6}} = -0,54$

при  $h = 0,54 \quad 2j \left( j^2 - \frac{1}{2} \right) = \frac{4}{3\sqrt{6}}$

$h_c = \frac{2}{\sqrt{6}} \left( \frac{1}{6} - \frac{3}{6} \right) = \frac{4}{6\sqrt{6}} = \frac{2}{3\sqrt{6}}$

$h_c = 0,27$ .



$$h_c = \frac{H_c}{2K_1} J_s \quad \text{или:}$$

$$H_c = \frac{2K_1}{J_s} h_c$$

т.к.  $h_c = -\frac{4}{3\sqrt{6}}$ , то:

$$H_c = -\frac{8K_1}{3\sqrt{6} J_s}$$

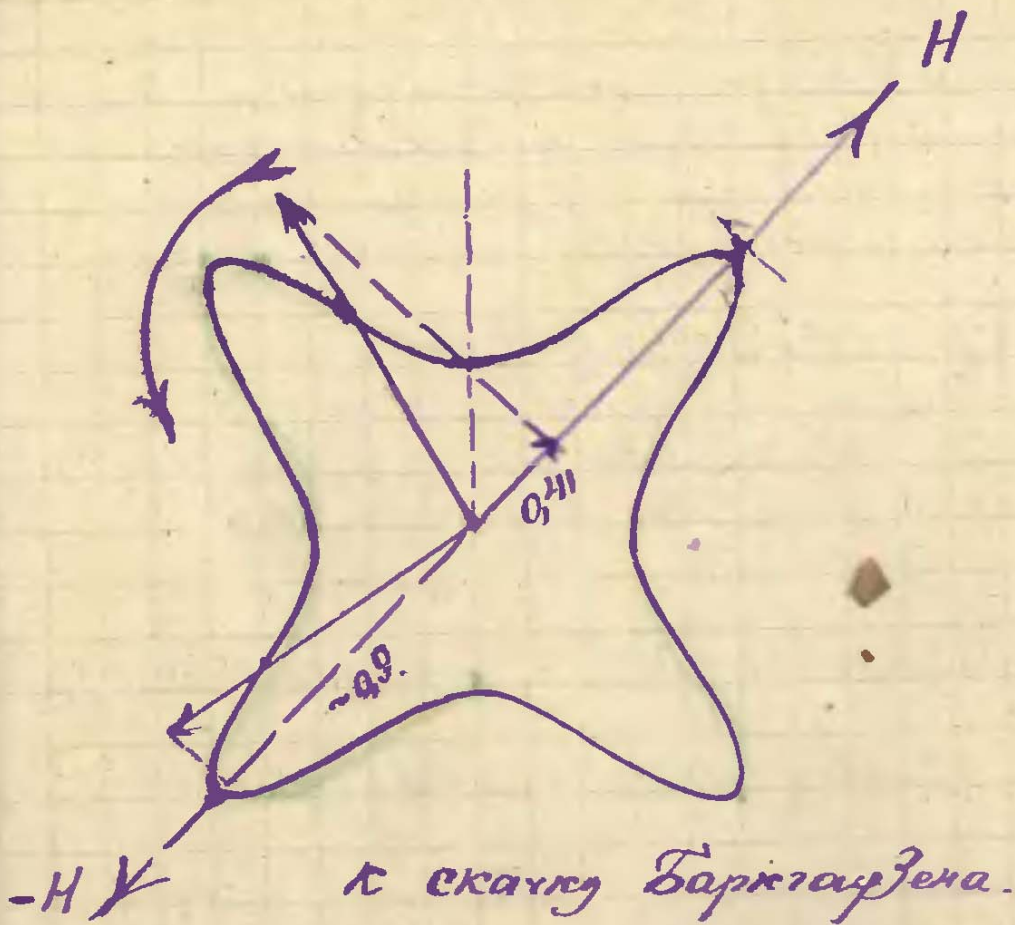
при  $h=1$   $j=1$  мы имеем поле насыщения

$H_\infty$ .

$$H_\infty = \frac{2K_1}{J_s}$$

и  $H_c = -\frac{4}{3\sqrt{6}} H_\infty$

т.е. коэрцитивная сила пропорциональна полю насыщения.



$$\int H dJ = U.$$

$$H = \frac{dU}{dJ}$$

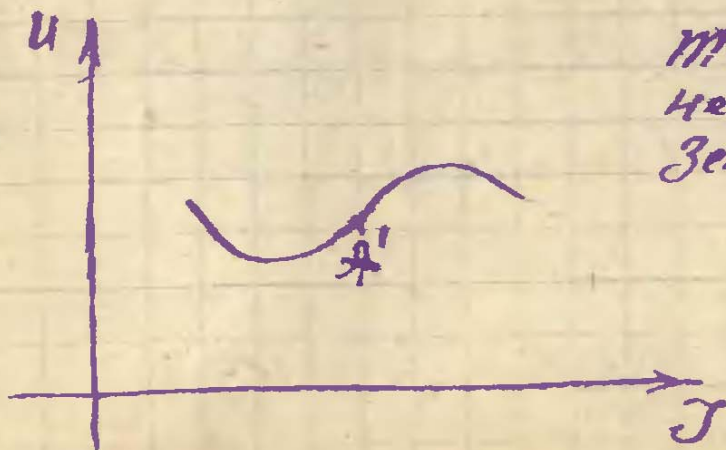
В месте скачка Барклайзена

$$\frac{dH}{dJ} = 0 \text{ или}$$

$$\frac{d^2U}{dJ^2} = 0$$



точка  $A$  - точка перегиба  
еще 1-ая и 2-ая производ  
ная - нули. Там очевидно  
возможен скачок Барклай  
Зена.



точка  $A'$  - точка пере  
не даю скачка Барклай  
Зена.



## Умно́й вывод уравнения кривой наложителен

При наложении внешнего поля энергетическая диаграмма деформируется. В сферической системе координат поля энергия, состоящая из энергии андотропии и энергии внешнего магнитного поля, будет:

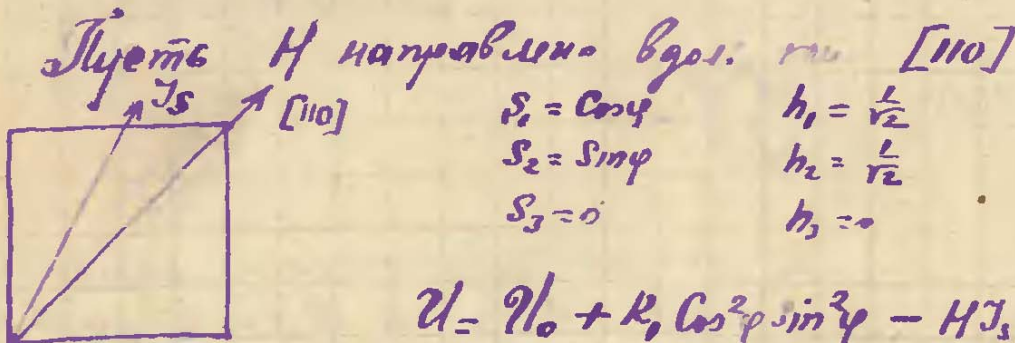
$$U = U_0 + K_1 (s_1^2 s_2^2 + s_2^2 s_3^2 + s_1^2 s_3^2) - (H J_s)$$

$$\left. \begin{aligned} s_1 &= \cos \theta \\ s_2 &= \sin \theta \cos \varphi \\ s_3 &= \sin \theta \sin \varphi \end{aligned} \right\} \begin{aligned} s_1^2 &= \sin^2 \theta \sin^2 \varphi \\ s_2^2 &= \sin^2 \theta \cos^2 \varphi \\ s_3^2 &= \cos^2 \theta \end{aligned} \quad \begin{aligned} h_1 &= \sin \theta' \sin \varphi' \\ h_2 &= \sin \theta' \cos \varphi' \\ h_3 &= \cos \theta' \end{aligned}$$

$$U = U_0 + K_1 \left\{ \sin^4 \theta \sin^2 \varphi \cos^2 \varphi + \sin^2 \theta \cos^2 \theta \right\} - H J_s \left\{ \sin \theta \sin \varphi \sin \theta' \sin \varphi' + \sin \theta \cos \varphi \sin \theta' \cos \varphi' + \cos \theta \cos \theta' \right\};$$

Очевидно  $J_s$  займёт такое положение в пространстве, чтобы  $U$  было minimum.

т.е.  $\frac{\partial U}{\partial \varphi} = 0$  и  $\frac{\partial U}{\partial \theta} = 0$ .



$$\begin{aligned} s_1 &= \cos \varphi & h_1 &= \frac{1}{\sqrt{2}} \\ s_2 &= \sin \varphi & h_2 &= \frac{1}{\sqrt{2}} \\ s_3 &= 0 & h_3 &= 0 \end{aligned}$$

$$U = U_0 + K_1 \cos^2 \varphi \sin^2 \varphi - H J_s \frac{1}{\sqrt{2}} (\cos \varphi + \sin \varphi)$$

$$\frac{\partial U}{\partial \varphi} = K_1 (2 \sin \varphi \cos^3 \varphi - 2 \cos \varphi \sin^3 \varphi) - H J_s \frac{1}{\sqrt{2}} (\cos \varphi - \sin \varphi) = 0$$

$$H J_s \frac{1}{\sqrt{2}} (\cos \varphi - \sin \varphi) = 2 K_1 \sin \varphi \cos \varphi (\cos^2 \varphi - \sin^2 \varphi)$$

$$H J_s \frac{1}{\sqrt{2}} = 2 K_1 \sin \varphi \cos \varphi (\cos \varphi + \sin \varphi); \quad +$$

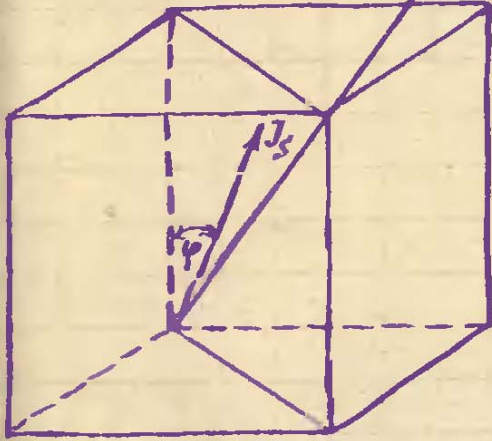
$$J_s \frac{1}{\sqrt{2}} (\cos \varphi + \sin \varphi) = J$$

$$J_s^2 \frac{1}{2} (1 + 2 \sin \varphi \cos \varphi) = J^2 \quad 2 \sin \varphi \cos \varphi = \frac{2 J^2}{J_s^2} - 1$$

$$H J_s^2 \frac{1}{2} = \left( \frac{2J^2}{J_s^2} - 1 \right) \kappa_1 J$$

$$H = \frac{2\kappa_1 J}{J_s} \left( 2 \frac{J^2}{J_s^2} - 1 \right)$$

Кривая намагниченности в виде тригонометрической функции



$$S_3 = \cos \varphi \quad S_1^2 = S_2^2 = \frac{1}{2}(1 - S_3^2) = \frac{1}{2}(1 - \cos^2 \varphi) = \frac{1}{2} \sin^2 \varphi$$

$$U = U_0 + K_1 \left( \frac{1}{4} \sin^4 \varphi + \sin^2 \varphi \cos^2 \varphi \right) =$$

$$= U_0 + K_1 \left[ \frac{1}{4} \sin^4 \varphi + \sin^2 \varphi (1 - \sin^2 \varphi) \right] =$$

$$= U_0 + K_1 \left[ \frac{1}{4} \sin^4 \varphi + \sin^2 \varphi - \sin^4 \varphi \right] =$$

$$= U_0 + K_1 \left[ \sin^2 \varphi - \frac{3}{4} \sin^4 \varphi \right]$$

Умакс:  $U = U_0 + K_1 \left[ \sin^2 \varphi - \frac{3}{4} \sin^4 \varphi \right]$

$$J = J_s (s_1 h_1 + s_2 h_2 + s_3 h_3) = \frac{1}{\sqrt{3}} J_s \left( \frac{1}{\sqrt{2}} \sin \varphi + \frac{1}{\sqrt{2}} \sin \varphi + \cos \varphi \right)$$

$$J = J_s \frac{1}{\sqrt{3}} (\sqrt{2} \sin \varphi + \cos \varphi)$$

$$\sqrt{3} \frac{J}{J_s} = \sqrt{2} \sin \varphi + \sqrt{1 - \sin^2 \varphi} \quad ; \quad \text{поскольку } \frac{J}{J_s} = j$$

$$\sqrt{3} j - \sqrt{2} \sin \varphi = \sqrt{1 - \sin^2 \varphi}$$

$$3j^2 + 2 \sin^2 \varphi - 2\sqrt{6} j \sin \varphi = 1 - \sin^2 \varphi \quad \text{или}$$

$$3 \sin^2 \varphi - 2\sqrt{6} j \sin \varphi + 3j^2 - 1 = 0 \quad \text{или}$$

$$\sin^2 \varphi - \frac{2\sqrt{6}}{3} j \sin \varphi + j^2 - \frac{1}{3} = 0$$

$$\sin \varphi = \frac{\sqrt{6}}{3} j \pm \sqrt{\frac{6}{9} j^2 - j^2 + \frac{1}{3}} = \frac{\sqrt{6}}{3} j \pm \sqrt{\frac{1}{3} - \frac{1}{3} j^2}$$

т.о.

$$\sin \varphi = \frac{\sqrt{6}}{3} j - \frac{1}{\sqrt{3}} \sqrt{1 - j^2}$$

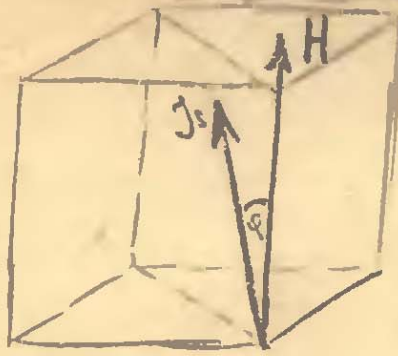
берем знак (-)  
т.к. должно быть  
вспомогательное  
 $\sin \varphi = 0$  при  $j = \frac{1}{\sqrt{3}}$ .

$$\sin^2 \varphi = \frac{2}{3} j^2 + \frac{1}{3} (1 - j^2) - \frac{2\sqrt{6}}{3\sqrt{3}} j \sqrt{1 - j^2}$$

$$\sin^2 \varphi = \frac{1}{3} j^2 + \frac{1}{3} - \frac{2\sqrt{2}}{3} j \sqrt{1 - j^2}$$

$$\sin^4 \varphi = \frac{1}{9} j^4 + \frac{1}{9} + \frac{8}{9} j^2 (1 - j^2) + \frac{2}{9} j^2 - \frac{4\sqrt{2}}{9} j \sqrt{1 - j^2} - \frac{4\sqrt{2}}{9} j^3 \sqrt{1 - j^2}$$

причем параметр  $\kappa < 0$



$$s_1 = \cos \varphi \quad s_2 = s_3 = \frac{1}{\sqrt{2}} \sin \varphi \quad \text{и } H \parallel [100]$$

$$u = u_0 - \kappa_1 (\cos^2 \varphi \sin^2 \varphi + \frac{1}{4} \sin^4 \varphi) = u_0 - \kappa_1 (\sin^2 \varphi - \frac{3}{4} \sin^4 \varphi) =$$

$$= u_0 - \kappa_1 [\cos^2 \varphi (1 - \cos^2 \varphi) + \frac{1}{4} (1 - \cos^2 \varphi)^2] =$$

$$= u_0 - \kappa_1 [\cos^2 \varphi - \cos^4 \varphi + \frac{1}{4} - \frac{1}{2} \cos^2 \varphi + \frac{1}{4} \cos^4 \varphi] =$$

$$= u_0 - \kappa_1 [\frac{1}{4} + \frac{1}{2} \cos^2 \varphi - \frac{3}{4} \cos^4 \varphi];$$

$$\frac{j}{j_s} = j = \cos \varphi$$

$$du = \kappa dj$$

$$u = u_0 - \kappa_1 [\frac{1}{4} + \frac{1}{2} j^2 - \frac{3}{4} j^4]$$

$$H = \frac{du}{dj} = \frac{1}{j_s} \frac{du}{dj}$$

$$\frac{du}{dj} = -\kappa_1 \{j - 3j^3\}$$

$$H = \frac{3\kappa_1}{j_s} j \left\{j^2 - \frac{1}{3}\right\}$$

$$H = \frac{3\kappa_1}{j_s} j \left(j^2 - \frac{1}{3}\right).$$

$$\text{при } j = 1$$

$$H_{\infty} = \frac{3\kappa_1}{j_s} \frac{2}{3} = \frac{2\kappa_1}{j_s}$$

$$\eta = \frac{3}{2} j \left(j^2 - \frac{1}{3}\right) \quad \text{при } \eta = 0$$

$$j = 0 \quad \text{и} \quad j = \frac{1}{\sqrt{3}} \quad \text{при} \quad j = 1 \quad \eta = 1.$$

поэтому.

# Парамагнетизм.

Уточнение теории может идти по 2 пути.

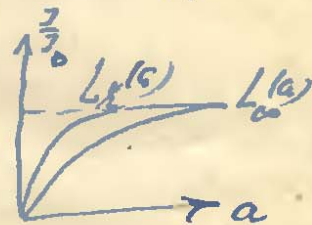
1. Квантование в пространстве.

Опыт Штерна и Герлаха. /предложена одновременно  
Капицей и Ревенкием/

водород, серебро

$\mu = \mu_0$

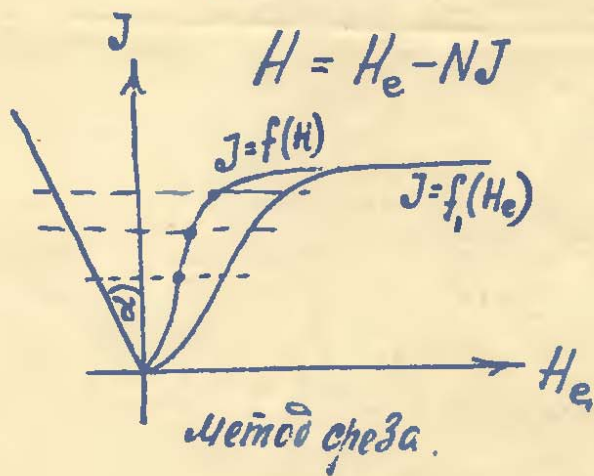
$$L_{\frac{1}{2}}(a) = \frac{1}{2} a$$



2. Взаимное влияние атомов учитывается введением молекулярного поля.  $H_m = \gamma J$ . Розинг. 1892г.

3. Отталкивание атомов.

4. Диполь-дипольный парамагнетизм. Основные опытные данные.



$$\text{tg} \alpha = N$$

$N \sim$  для эллипсоида вращения

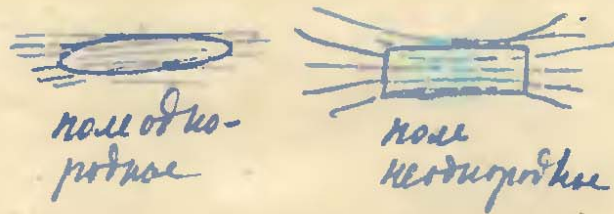
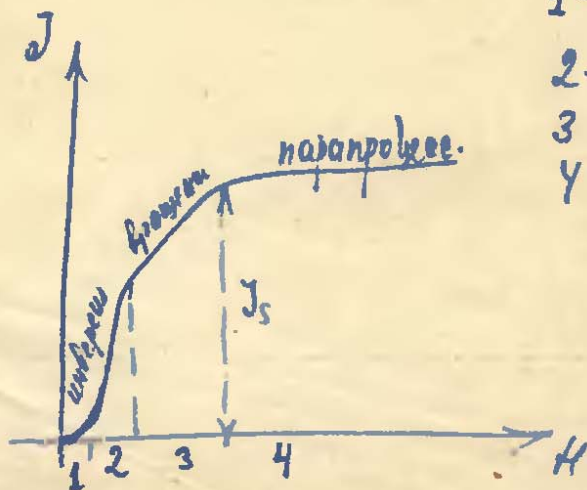


таблица.

- 1-  $\mu$ -практически постоянны и равны  $\frac{1}{2} \mu_0$  до 1000 Ое.
- 2-  $\mu$ -практически максимум  $\frac{1}{2} \mu_0$  до 100 Ое
- 3 - до 100
- 4 - 1000 и выше Ое



2)  $H \parallel [110]$  •  $U = U_0 - \kappa_1 \left[ \frac{1}{4} + \frac{1}{2} \cos^2 \varphi - \frac{3}{4} \cos^4 \varphi \right]$

$$h_1 = \frac{1}{\sqrt{2}} \quad h_2 = \frac{1}{\sqrt{2}} \quad h_3 = 0$$

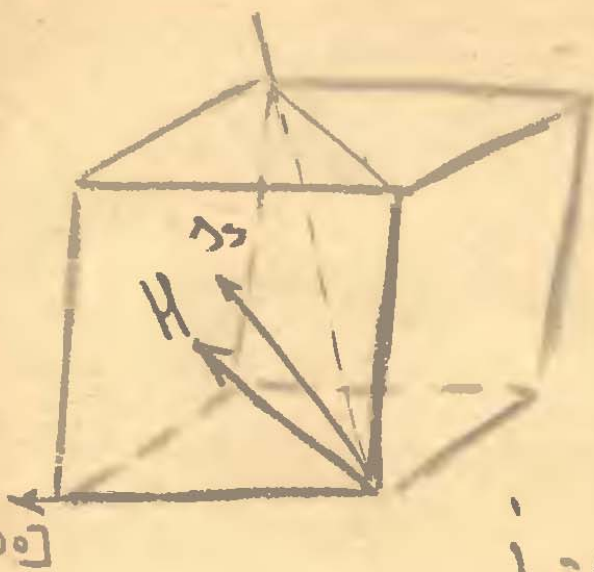
$$s_1 = \frac{1}{\sqrt{2}} \sin \varphi \quad s_2 = \frac{1}{\sqrt{2}} \sin \varphi \quad s_3 = \cos \varphi$$

$$U = U_0 - \kappa_1 \left[ \sin^2 \varphi - \frac{3}{4} \sin^4 \varphi \right]$$

$$j = \frac{J}{J_s} = \frac{1}{2} \sin \varphi + \frac{1}{2} \sin \varphi = \sin \varphi$$

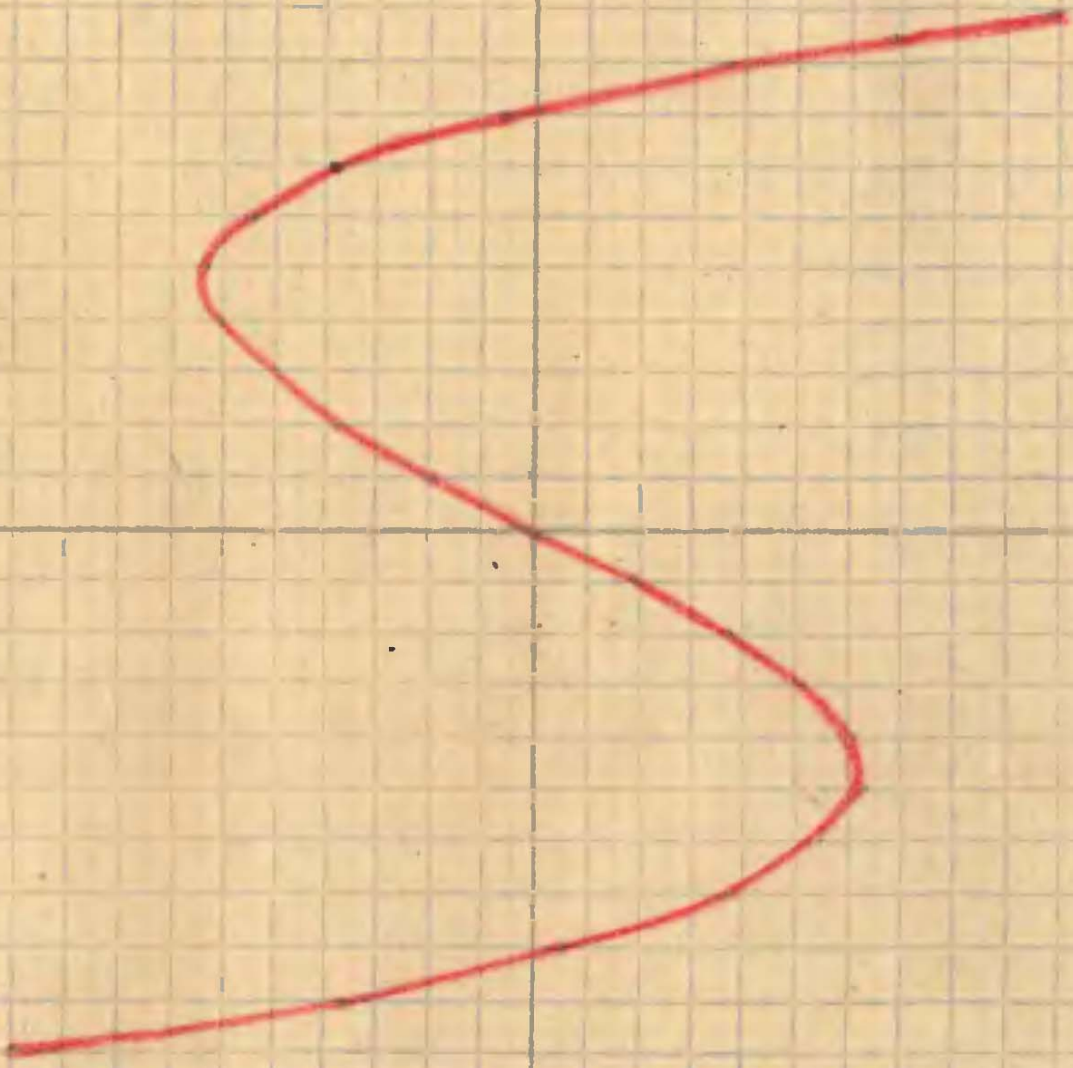
$$U = U_0 - \kappa_1 \left[ j^2 - \frac{3}{4} j^4 \right];$$

$$H = \frac{1}{J_s} \frac{dU_0}{dj} = - \frac{\kappa_1}{J_s} (2j - 3j^3)$$



$$h = j(3j^2 - 2)$$

j

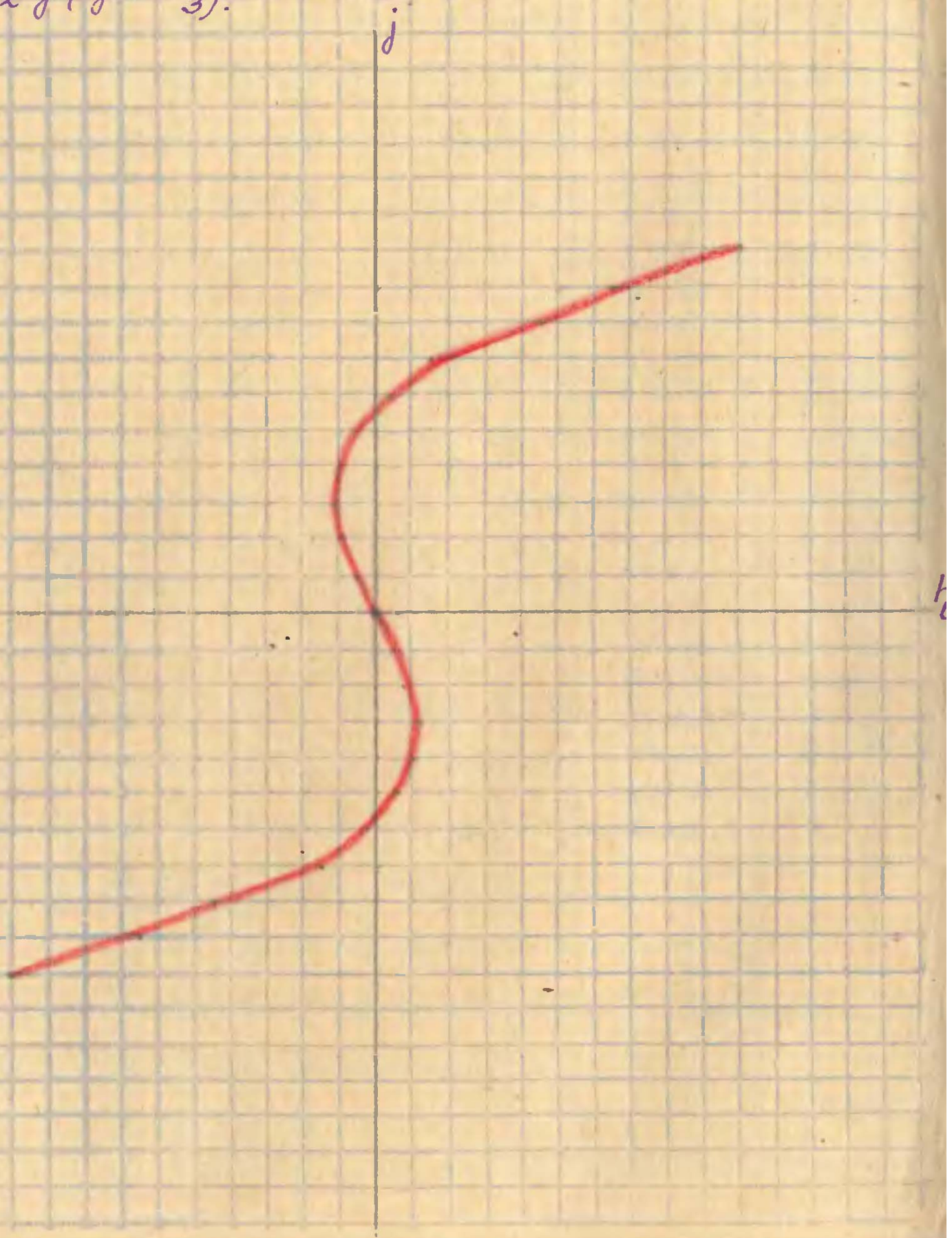


$$h = j(3j^2 - 2)$$

$j$	$h$
0	0
0,1	-0,197
0,2	-0,346
0,3	-0,519
0,4	-0,608
0,5	-0,625
0,6	-0,552
0,7	-0,371
0,8	-0,064
0,9	0,387
1	1
-0,1	0,197
-0,2	0,376
-0,3	0,519
-0,4	0,608
-0,5	0,625
-0,6	0,552
-0,7	0,371
-0,8	0,064
-0,9	-0,387
-1	-1
0,95	0,685



$$h = \frac{3}{2} j (j^2 - \frac{1}{3}).$$



$$h = \frac{3}{2}j(j^2 - \frac{1}{3})$$

j	h
0	0
0,1	-0,048
0,2	-0,087
0,3	-0,108
0,4	-0,102
0,5	-0,06
0,6	0,027
0,7	0,168
0,8	0,453
0,9	0,648
1	1,005
-0,1	-0,048
-0,2	0,087
-0,3	0,108
-0,4	0,102
-0,5	0,06
-0,6	-0,027
-0,7	-0,168
-0,8	-0,453
-0,9	-0,648

Средствами:

$$U = U_0 + K_1 \left\{ \frac{1}{3} + \frac{1}{3}j^2 - \frac{2\sqrt{2}}{3}j\sqrt{1-j^2} - \frac{2}{4} \left[ \frac{1}{9} + \frac{1}{9}j^4 + \frac{8}{9}j^2(1-j^2) + \frac{2}{9}j^2 - \frac{4\sqrt{2}}{9}j\sqrt{1-j^2} - \frac{4\sqrt{2}}{9}j^3\sqrt{1-j^2} \right] \right\}$$

т.к.  $\int_0^J H dJ = U$  то, продифференцировав по  $J$  получим уравнение кривой намагниченности.

$$U = U_0 + K_1 \left\{ \frac{1}{3} + \frac{1}{3}j^2 - \frac{2\sqrt{2}}{3}j\sqrt{1-j^2} - \frac{1}{12} - \frac{1}{12}j^4 - \frac{2}{3}j^2(1-j^2) - \frac{1}{6}j^2 + \frac{\sqrt{2}}{3}j\sqrt{1-j^2} + \frac{\sqrt{2}}{3}j^3\sqrt{1-j^2} \right\}$$

$$U = U_0 + K_1 \left\{ \frac{1}{4} + \frac{1}{6}j^2 - \frac{\sqrt{2}}{3}j\sqrt{1-j^2} + \frac{\sqrt{2}}{3}j^3\sqrt{1-j^2} - \frac{2}{3}j^2 + \frac{2}{3}j^4 - \frac{1}{12}j^4 \right\}$$

~~$$= U_0 + K_1 \left\{ \frac{1}{4} - \frac{1}{2}j^2 - \frac{\sqrt{2}}{3}j\sqrt{1-j^2}(1-j^2) \right\}$$~~

~~$$U = U_0 + K_1 \left\{ \frac{1}{4} + \frac{1}{6}j^2 - \frac{\sqrt{2}}{3}j\sqrt{1-j^2} + \frac{\sqrt{2}}{3}j^3\sqrt{1-j^2} + \frac{7}{12}j^4 - \frac{1}{12}j^4 \right\}$$~~

$$U = U_0 + K_1 \left\{ \frac{1}{4} - \frac{1}{2}j^2 - \frac{\sqrt{2}}{3}j\sqrt{1-j^2} + \frac{\sqrt{2}}{3}j^3\sqrt{1-j^2} + \frac{7}{12}j^4 \right\}$$

$$H = \frac{dU}{dJ} \quad \text{или} \quad H = \frac{dU}{dj} \frac{dj}{dJ} \quad \text{и т.к.} \quad j = \frac{J}{J_s}$$

$$\text{то} \quad \frac{dj}{dJ} = \frac{1}{J_s}$$

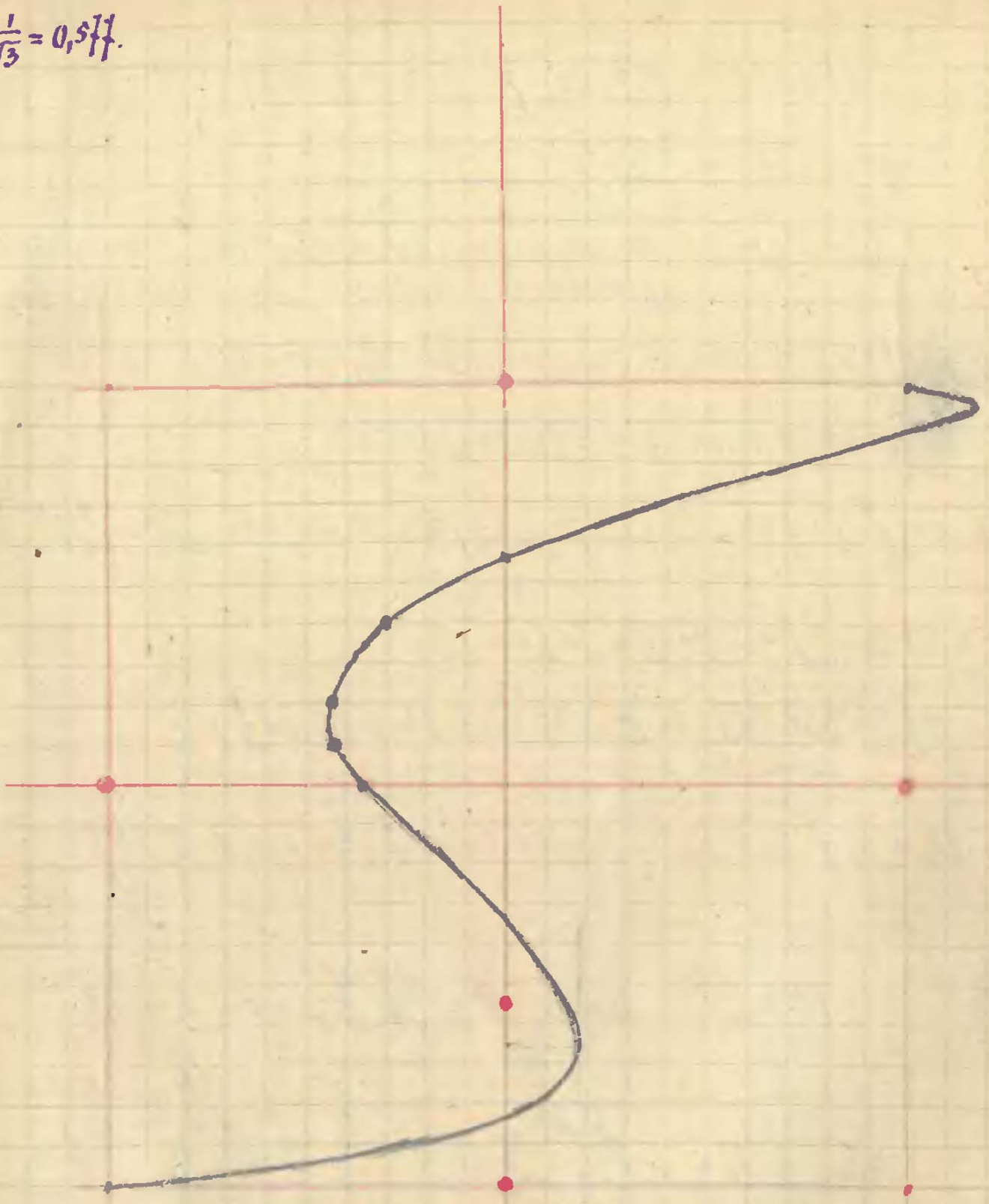
т.о.  $H = \frac{1}{J_s} \frac{dU}{dj}$

$$H = \frac{K}{J_s} \left\{ -j - \frac{\sqrt{2}}{3}\sqrt{1-j^2} + \frac{\sqrt{2}}{3} \frac{j^2}{\sqrt{1-j^2}} + \sqrt{2}j^2\sqrt{1-j^2} - \frac{\sqrt{2}}{3} \frac{j^4}{\sqrt{1-j^2}} + \frac{7}{3}j^3 \right\}$$

$$H = \frac{K}{J_s} \left\{ -j + \frac{\sqrt{2}}{3}\sqrt{1-j^2}(3j^2-1) + \frac{\sqrt{2}}{3} \frac{j^2}{\sqrt{1-j^2}}(1-j^2) + \frac{7}{3}j^3 \right\}$$

$$H = \frac{K}{J_s} \left\{ -j + \frac{\sqrt{2}}{3}\sqrt{1-j^2}(3j^2-1) + \frac{\sqrt{2}}{3}j^2\sqrt{1-j^2} + \frac{7}{3}j^3 \right\}$$

$$\frac{1}{\sqrt{3}} = 0,577.$$



$$H = \frac{\kappa_1}{J_s} \left\{ \frac{7}{3} j^3 + \frac{\sqrt{2}}{3} \sqrt{1-j^2} (3j^2-1+j^2) - j \right\} \text{ или}$$

$$H = \frac{\kappa_1}{J_s} \left\{ \frac{7}{3} j^3 - j + \frac{\sqrt{2}}{3} (4j^2-1) \sqrt{1-j^2} \right\}$$

$$H = \frac{\kappa_1}{3J_s} \left\{ 7j^3 - 3j + \sqrt{2} (4j^2-1) \sqrt{1-j^2} \right\}$$

Исследование:

$$1) j=1. \quad H = H_{\infty}. \quad H_{\infty} = \frac{\kappa_1}{3J_s} \left\{ 7 - 3 \right\} \text{ или}$$

$$H_{\infty} = \frac{4\kappa_1}{3J_s}$$

пусть  $\frac{H}{H_{\infty}} = \eta$

$$\eta = \frac{1}{4} \left\{ 7j^3 - 3j + \sqrt{2} (4j^2-1) \sqrt{1-j^2} \right\}$$

приведенное уравнение, не содержащее отбрасываемых констант

2) при  $j = \frac{1}{\sqrt{3}}$  получим:

$$\eta = \frac{1}{4} \left\{ \frac{7}{3\sqrt{3}} - \frac{3}{\sqrt{3}} + \sqrt{2} \left( \frac{4}{3} - 1 \right) \frac{\sqrt{2}}{\sqrt{3}} \right\} = \frac{1}{4} \left\{ -\frac{2}{3\sqrt{3}} + \frac{2}{\sqrt{3}} \frac{1}{3} \right\} = 0.$$

Итак, при  $\eta = 0$  т.е.  $H = 0$   $j_2 = \frac{1}{\sqrt{3}}$ .

при  $j=0$ , получим:

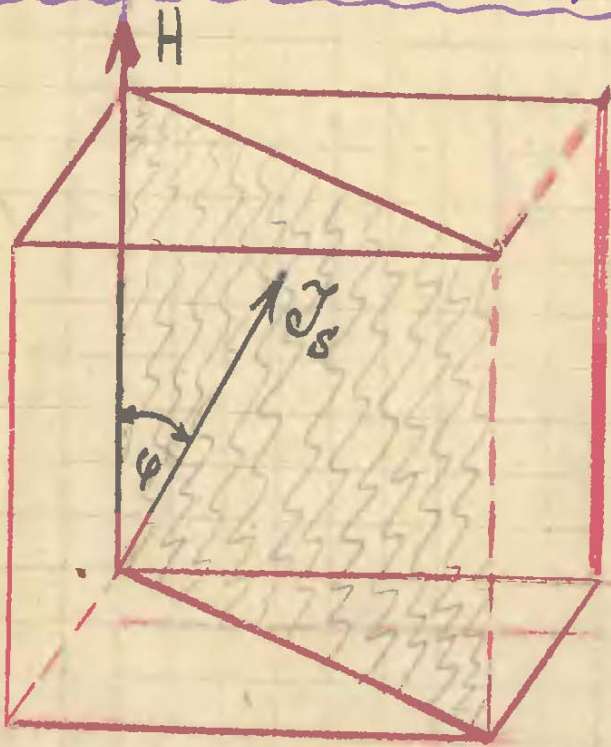
$$\eta = \frac{1}{4} \left\{ \sqrt{2} \cdot (-1) \right\} = -\frac{\sqrt{2}}{4} = -0,354$$

$$3) \frac{d\eta}{dj} = \frac{1}{4} \left\{ 21j^2 - 3 + \sqrt{2} \cdot 8j \sqrt{1-j^2} + \sqrt{2} (4j^2-1) (-j) \frac{1}{\sqrt{1-j^2}} \right\} = 0$$

$$21j^2 - 3 + 8\sqrt{2} j \sqrt{1-j^2} - \sqrt{2} j \frac{4j^2-1}{\sqrt{1-j^2}} = 0$$

$$(21j^2 - 3) \sqrt{1-j^2} + 8\sqrt{2} j (1-j^2) - \sqrt{2} j (4j^2-1) = 0$$

Кривая намагничивания недеформированного  
монокристалла для  $K < 0$  (никель).



$$S_1 = \cos \varphi \quad \vec{H} \parallel [100]$$

$$S_2 = S_3 = \frac{1}{\sqrt{2}} \sin \varphi = \frac{1}{\sqrt{2}} (S_3^2 - S_2^2 = \frac{1}{2} (1 - \cos^2 \varphi))$$

$$U = U_0 - K_1 (\cos^2 \varphi \sin^2 \varphi - \frac{1}{4} \sin^4 \varphi) =$$

$$= U_0 - K_1 [(1 - \cos^2 \varphi)^2 \frac{1}{4} + \cos^2 \varphi - \cos^4 \varphi] =$$

$$= U_0 - K_1 \left\{ \frac{1}{4} - \frac{1}{2} \cos^2 \varphi + \frac{1}{4} \cos^4 \varphi + \cos^2 \varphi - \cos^4 \varphi \right\} =$$

$$= U_0 - K_1 \left\{ \frac{1}{4} + \frac{1}{2} \cos^2 \varphi - \frac{3}{4} \cos^4 \varphi \right\}$$

$$\cos \varphi = j$$

$$U = U_0 - K_1 \left\{ \frac{1}{4} + \frac{1}{2} j^2 - \frac{3}{4} j^4 \right\}$$

$$H = -\frac{K_1}{J_s} \{ j - 3j^3 \} \quad \text{или} \quad H = \frac{K_1}{J_s} (3j^3 - j)$$

$$\text{при } j=1 \quad H = H_{\infty} \quad H_{\infty} = \frac{2K_1}{J_s} \quad \frac{H}{H_{\infty}} = \eta$$

$$\eta = \frac{1}{2} j (3j^2 - 1)$$

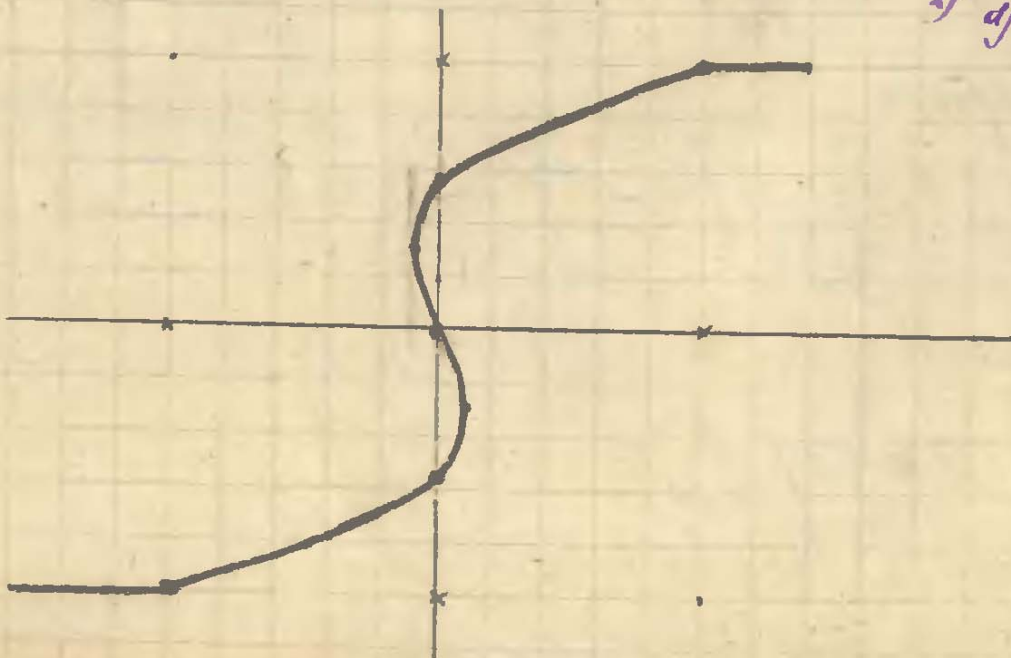
$$\eta = 0 \quad j_1 = 0 \quad j_2 = \frac{1}{\sqrt{3}}$$

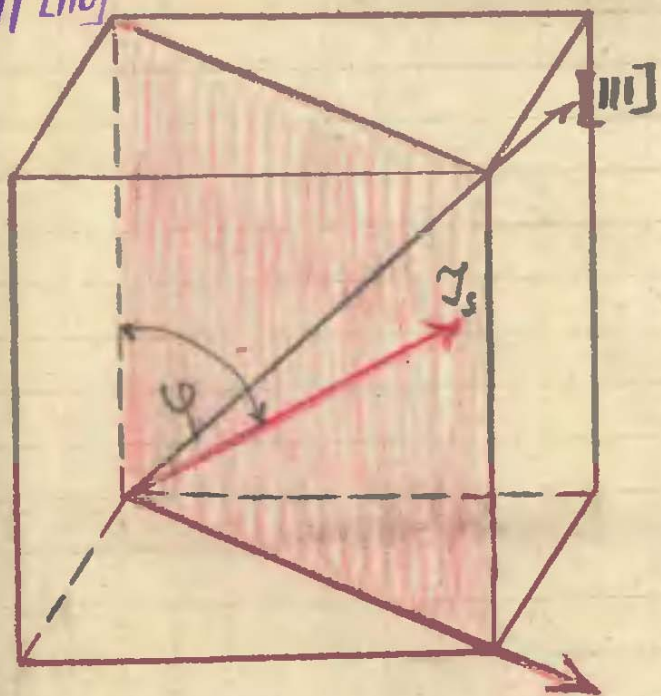
$$2) \frac{d\eta}{dj} = \frac{1}{2} (3j^2 - 1)$$

$$j_1 = \frac{1}{3}$$

$$\eta_1 = \frac{1}{2} \left( 3 \frac{1}{27} - \frac{1}{3} \right) =$$

$$= \frac{1}{2} \left( \frac{1}{9} - \frac{3}{9} \right) = -\frac{2}{9} \cdot \frac{1}{2} = -\frac{1}{9}$$



$H \parallel [110]$ 

$$H = \frac{K_1}{J_s} = H_{00}$$

$$\eta = 3j^2 - 2j^4$$

$$u = u_0 - K_1 \left[ \frac{1}{4} + \frac{1}{2} \cos^2 \varphi - \frac{3}{4} \cos^4 \varphi \right]$$

$$S_1 = \frac{1}{\sqrt{2}} \sin \varphi \quad S_2 = \frac{1}{\sqrt{2}} \sin \varphi \quad S_3 = \cos \varphi$$

$$h_1 = \frac{1}{\sqrt{2}} \quad h_2 = \frac{1}{\sqrt{2}} \quad h_3 = 0$$

$$j = (S_1 h_1 + S_2 h_2 + S_3 h_3)$$

$$j = \sin \varphi$$

$$u = u_0 - K_1 \left\{ \sin^2 \varphi - \frac{3}{4} \sin^4 \varphi \right\}$$

$$u = u_0 - K_1 \left\{ j^2 - \frac{3}{4} j^4 \right\}$$

$$H = -\frac{K_1}{J_s} \left\{ 2j - 3j^3 \right\} \quad \text{при } u:$$

$$H = \frac{K_1}{J_s} \left\{ 3j^3 - 2j \right\} \quad \text{при } j=1$$

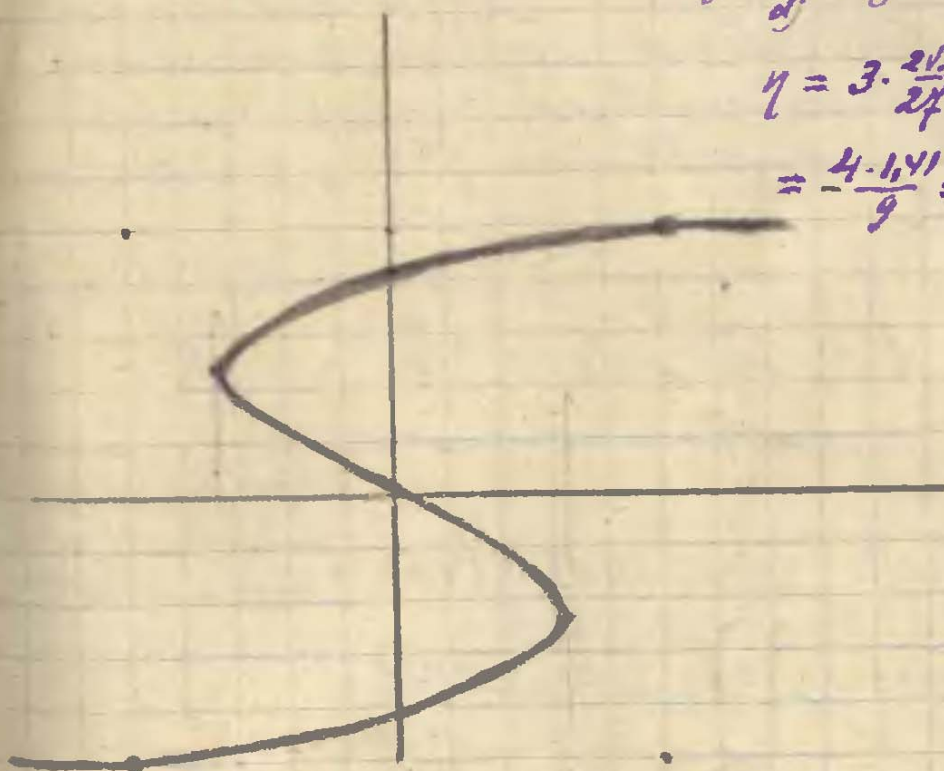
$$1) \text{ при } \eta = 0 \quad j_1 = 0 \quad j_2 = \sqrt{\frac{2}{3}} = 0,816$$

$$2) \quad \eta = 1 \quad j = 1$$

$$3) \quad \frac{d\eta}{dj} = 9j^2 - 2j = 0 \quad j = \frac{\sqrt{2}}{3} = \frac{1,41}{3} = 0,47$$

$$\eta = 3 \cdot \frac{2\sqrt{2}}{27} - 2 \cdot \frac{\sqrt{2}}{3} = 2\sqrt{2} \left( \frac{1}{9} - \frac{1}{3} \right) = -\frac{2\sqrt{2} \cdot 2}{9}$$

$$= -\frac{4 \cdot 1,41}{9} = -\frac{5,64}{9} = -0,625$$



Кривая намагниченности недеформированного  
монокристалла гексагональной структуры  
(кубическая).

$$M = M_0 + K_1 \cos^2 \varphi + K_2 \cos^4 \varphi \quad j = \cos \varphi$$

$$M = M_0 + K_1 j^2 + K_2 j^4$$

$$M = \frac{1}{3} (2K_1 j + 4K_2 j^3)$$

или erhalten

$$K_1 = -7,8 \cdot 10^4$$

$$K_2 = +2,2 \cdot 10^4$$

### Магнитный текстурный анализ.

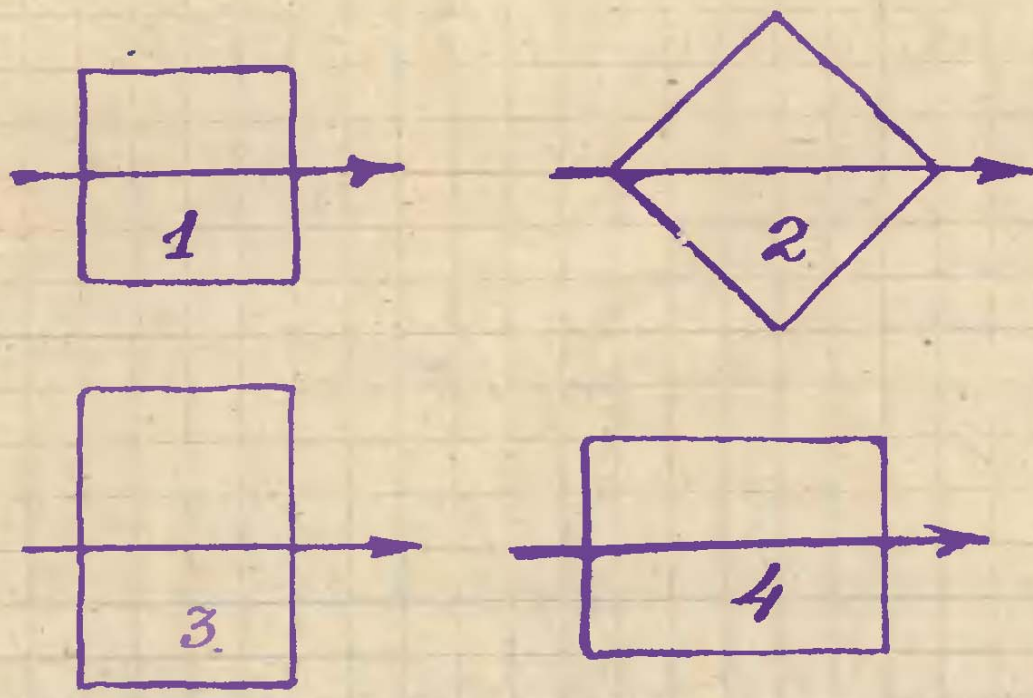
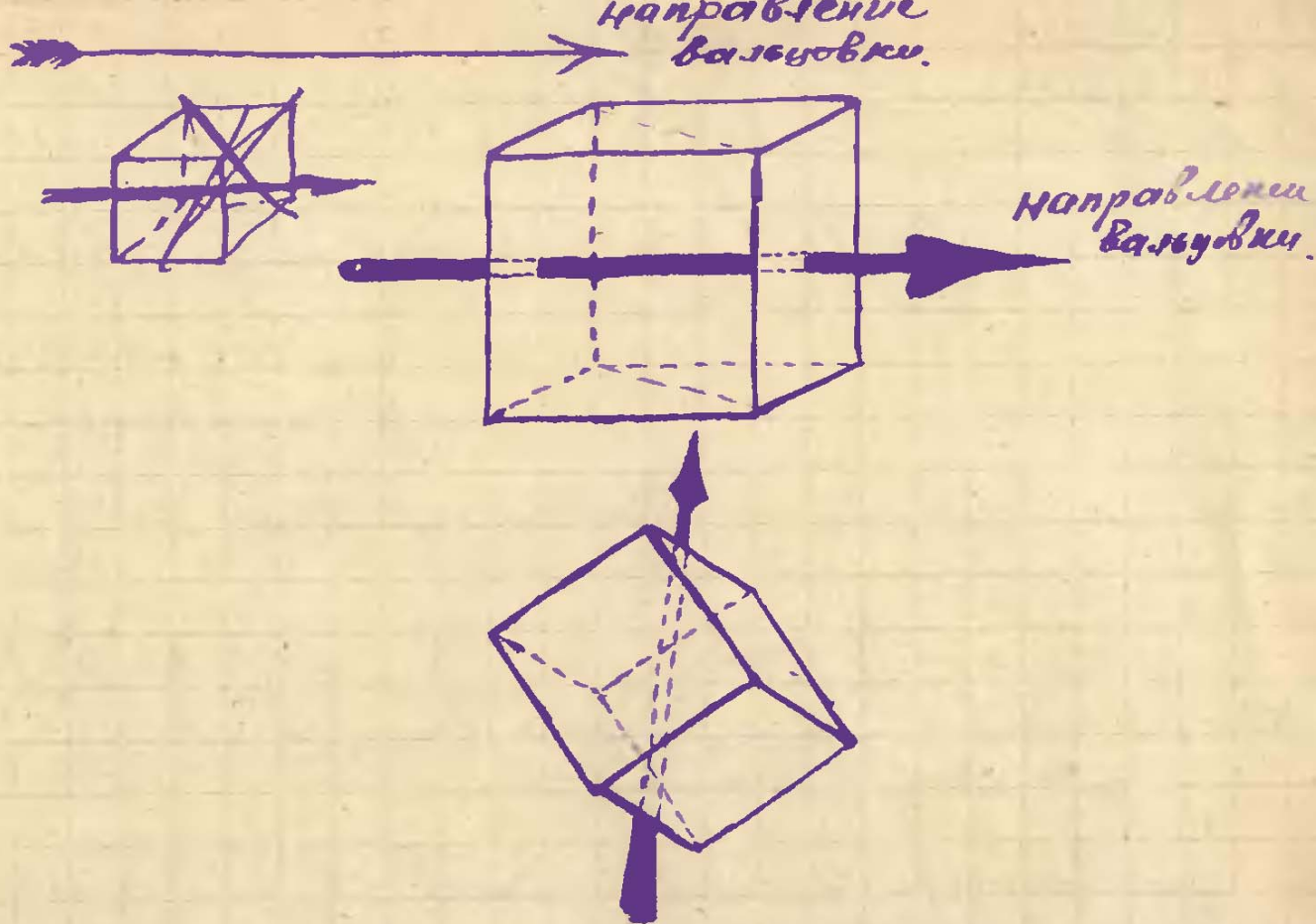
Для валцованных материалов, при исследовании  
дисков методом моментов, оказываются:

$$M = A_4 \sin^4 \varphi + A_2 \sin^2 \varphi$$

Эта формула, как показывает опыт, удовле-  
тельна всегда. Распределение осей в кубиче-  
ских решетках может быть представлено менее сложной  
формулой. Пусть это распределение будет, как по-  
казано в таблице.

группа	1	2	3	4	5
плоскость кристалла, параллельная плоскости валцовки	(100)	(100)	(110)	(110)	кристаллы с равномерно распреде- ленным ориент.
ось, параллельная на- правлению валцовки	[100]	[110]	[100]	[110]	
относительная ось	$W_1$	$W_2$	$W_3$	$W_4$	$W_5$





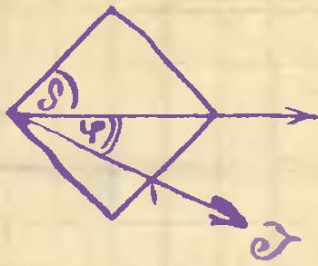
Пусть  $\delta$ -угол между направлением волны и направлением  $[100]$ , угол  $\varphi$  - между направлением волны и направлением наименьшей.

Тогда:

$$1. \delta = 0 \quad \delta_1 = \cos \varphi \quad \delta_2 = \sin \varphi \quad \delta_3 = 0$$

$$u = u_0 + k_1 \sin^2 \varphi \cos^2 \varphi = u_0 + \frac{k_1}{2} \cdot \frac{1}{2} \sin^2 2\varphi = u_0 + \frac{k_1}{8} (1 - \cos 4\varphi)$$

$$2. \delta = \frac{\pi}{4}$$



$$\begin{aligned} S_1 &= \cos(45 - \varphi) \\ S_2 &= \cos(45 + \varphi) \\ S_3 &= 0 \end{aligned}$$

$$U = U_0 + K_1 \cos^2(45 - \varphi) \cos^2(45 + \varphi)$$

$$\begin{aligned} \cos(45 - \varphi) &= \cos 45 \cdot \cos \varphi + \sin 45 \cdot \sin \varphi = \\ &= \frac{1}{\sqrt{2}} (\cos \varphi + \sin \varphi) \end{aligned}$$

$$\cos(45 + \varphi) = \frac{1}{\sqrt{2}} (\cos \varphi - \sin \varphi)$$

~~$$\begin{aligned} U &= U_0 + K_1 \frac{1}{4} (\cos^2 \varphi - \sin^2 \varphi)^2 = U_0 + \frac{K_1}{4} (\cos^2 \varphi - \sin^2 \varphi)^2 = \\ &= U_0 + \frac{K_1}{4} (2 \cos^2 \varphi - 1) \end{aligned}$$~~

$$\cos^2(45 - \varphi) = \frac{1}{2} (1 + 2 \sin \varphi \cos \varphi)$$

$$\cos^2(45 + \varphi) = \frac{1}{2} (1 - 2 \sin \varphi \cos \varphi)$$

$$\cos^2(45 - \varphi) \cos^2(45 + \varphi) = \frac{1}{4} (1 - 4 \sin^2 \varphi \cos^2 \varphi) =$$

$$2 \sin \varphi \cos \varphi = \sin 2\varphi$$

$$4 \sin^2 \varphi \cos^2 \varphi = \sin^2 2\varphi$$

$$= \frac{1}{4} (1 - \sin^2 2\varphi) =$$

$$1 - \cos 2\alpha = 2 \sin^2 \frac{\alpha}{2}$$

$$\sin^2 \frac{\alpha}{2} = \frac{1 - \cos \alpha}{2}$$

$$= \frac{1}{4} \left\{ 1 - \frac{1}{2} (1 - \cos 4\varphi) \right\} =$$

$$= \frac{1}{8} (1 + \cos 4\varphi); \text{ T.O.}$$

$$U = U_0 + \frac{K_1}{8} (1 + \cos 4\varphi)$$

3.  $\delta = 0. \quad S_1 = S_2 = \frac{1}{\sqrt{2}} \sin \varphi \quad S_3 = \cos \varphi$



$$U = U_0 + K_1 \left\{ \frac{1}{4} \sin^4 \varphi + \sin^2 \varphi \cos^2 \varphi \right\} =$$

$$\left. \begin{aligned} S_1^2 &= \frac{1}{2} \sin^2 \varphi \\ S_2^2 &= \frac{1}{2} \sin^2 \varphi \\ S_3^2 &= \cos^2 \varphi \end{aligned} \right\} = U_0 + K_1 \left\{ \frac{1}{4} \cdot \frac{1}{4} (1 - 2 \cos 2\varphi + \frac{1}{2} + \frac{1}{2} \cos 4\varphi) + \right.$$

$$4 \sin^2 \varphi \cos^2 \varphi = \sin^2 2\varphi$$

$$\sin^2 \varphi \cos^2 \varphi = \frac{1}{4} \sin^2 2\varphi$$

$$1 - \cos 4\varphi = 2 \sin^2 2\varphi$$

$$= U_0 + K_1 \left\{ \frac{1}{8} - \cos 2\varphi + \frac{1}{4} + \frac{1}{4} \cos 4\varphi + 1 - \cos 4\varphi \right\} \text{ usw.}$$

T.o.  $\sin^2 \varphi \cos^2 \varphi = \frac{1}{8} (1 - \cos 4\varphi)$

$$U = U_0 + \frac{K_1}{8} \left\{ \frac{1}{4} - \cos 2\varphi - \frac{3}{4} \cos 4\varphi \right\}$$

$$2 \sin^2 \varphi = 1 - \cos 2\varphi$$

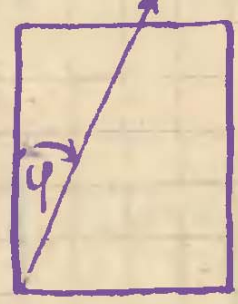
$$\sin^2 \varphi = \frac{1}{2} (1 - \cos 2\varphi)$$

$$\sin^4 \varphi = \frac{1}{4} (1 - 2 \cos 2\varphi + \cos^2 2\varphi)$$

$$2 \cos^2 2\varphi = 1 + \cos 4\varphi$$

$$\cos^2 2\varphi = \frac{1}{2} (1 + \cos 4\varphi)$$

4.  $\delta = \frac{\pi}{2}$



$$S_1^2 = \sin^2 \varphi \quad S_2 = S_3 = \frac{1}{\sqrt{2}} \cos \varphi$$

$$S_2^2 = S_3^2 = \frac{1}{2} \cos^2 \varphi$$

$$U = U_0 + K_1 \left( \frac{1}{4} \cos^4 \varphi + \sin^2 \varphi \cos^2 \varphi \right)$$

$$\cos^2 \varphi = \frac{1 + \cos 2\varphi}{2} \quad \cos^4 \varphi = \frac{1 + 2 \cos 2\varphi + \cos^2 2\varphi}{4} =$$

$$S_1^2 + S_2^2 + S_3^2 = 1$$

$$S_1^2 + 2S_2^2 = 1$$

$$S_1^2 = \frac{1}{2} (1 - S_2^2)$$

$$\frac{1}{2} \left( \frac{1}{2} + \cos 2\varphi + \frac{1}{4} (1 + \cos 4\varphi) \right) = \left( \frac{3}{4} + \cos 2\varphi + \frac{1}{4} \cos 4\varphi \right) \frac{1}{2} \text{ T.o.}$$

$$U = U_0 + \frac{K_1}{8} \left\{ \frac{3}{4} + \cos 2\varphi + \frac{1}{4} \cos 4\varphi + 1 - \cos 4\varphi \right\} \text{ usw.}$$

$$U = U_0 + \frac{K_1}{8} \left\{ \frac{7}{4} + \cos 2\varphi - \frac{3}{4} \cos 4\varphi \right\}$$

Матрица потерь энергии

$$U = \sum_i U_i W_i \quad \text{или}$$

$$U = U_0 + W_1 \frac{\kappa_1}{8} [1 - \cos 4\varphi] + W_2 \frac{\kappa_2}{8} [1 + \cos 4\varphi] + W_3 \frac{\kappa_3}{8} \left[ \frac{3}{4} - \cos 2\varphi - \frac{3}{4} \cos 4\varphi \right] + W_4 \frac{\kappa_4}{8} \left[ \frac{3}{4} + \cos 2\varphi - \frac{3}{4} \cos 4\varphi \right]$$

Дифференцируем по  $\varphi$  - получим значение механической мощности:

$$M = \left\{ \frac{W_1}{8} 4 \sin 4\varphi - \frac{W_2}{8} 4 \sin 4\varphi + \frac{W_3}{8} 2 \sin 2\varphi + \frac{3}{4} 4 \frac{W_3}{8} \sin 4\varphi - \frac{W_4}{8} 2 \sin 2\varphi + \frac{3}{4} 4 \frac{W_4}{8} \sin 4\varphi \right\} \kappa_1 \quad \text{или}$$

$$M = \kappa_1 \left\{ \frac{W_1 - W_2}{2} \sin 4\varphi + \frac{3}{8} (W_3 + W_4) \sin 4\varphi + \frac{1}{4} (W_3 - W_4) \sin 2\varphi \right\}$$

или:

$$M = \frac{\kappa_1}{8} \left\{ [4(W_1 - W_2) + 3(W_3 + W_4)] \sin 4\varphi + 2(W_3 - W_4) \sin 2\varphi \right\}$$

Воплощая экпериментальном поучение соотношению

$$M = A_4 \sin 4\varphi + A_2 \sin 2\varphi, \text{ сравним, получим:}$$

$$\left. \begin{aligned} \kappa_1 [4(W_1 - W_2) + 3(W_3 + W_4)] &= 8A_4 \\ \kappa_1 (W_3 - W_4) &= 4A_2 \end{aligned} \right\} \quad \underline{I}$$

Система уравнений не имеет единств. решения. Но возьмем случаи когда

$$W_1 \gg W_2 \quad \text{или} \quad W_1 \ll W_2$$

$$W_3 \gg W_4 \quad - \quad W_3 \ll W_4$$

Многа в уравнения  $\Gamma$  вероятности суммарно:

$$1) W_1 = 0 \quad W_3 = 0$$

$$2) W_2 = 0 \quad W_3 = 0$$

$$3) W_1 = 0 \quad W_4 = 0$$

$$4) W_2 = 0 \quad W_4 = 0 \quad \text{может...}$$

$$1) \frac{8A_4}{K_1} = -4W_2 + 3W_4$$

$$\frac{4A_2}{K_1} = -W_4$$

$$2) \frac{8A_4}{K_1} = 4W_1 + 3W_4$$

$$\frac{4A_2}{K_1} = -W_4$$

$$3) \frac{8A_4}{K_1} = -4W_2 + 3W_3$$

$$\frac{4A_2}{K_1} = W_3$$

$$4) \frac{8A_4}{K_1} = 4W_1 + 3W_3$$

$$\frac{4A_2}{K_1} = W_3$$

$$\text{и } \sum_i W_i = 1$$

Для сильно возбужденного (?) атомного пучка

$$A_2 = 18,4; \quad A_4 = -59,5$$

т.к.  $K_1 > 0$ , то очевидно эти вероятности должны быть выполнены условия  $\mathcal{D}$ , т.е.

$$\frac{8A_4}{K_1} = -4W_2 + 3W_3$$

$$\text{и } \frac{4A_2}{K_1} = W_3$$

или:

$$\frac{8A_4}{K_1} = 4W_2 + \frac{12A_2}{K_1} \quad \text{или}$$

$$W_3 = \frac{4A_2}{K_1}$$

$$W_2 = -\frac{1}{K_1} (2A_4 - 3A_2)$$

Откуда:

$$W_2 = 41,5\%; \quad W_3 = 17,5\%; \quad W_5 = 41,0\%$$

Для сильно валцованного (?) трансформаторного  
железа, как показывает опыт:

$$\Delta_2 = 24, \quad \Delta_4 = -23.$$

откуда:  $W_2 = 29.4\%$ ,  $W_3 = 24.6\%$ ,  $W_5 = 46.0\%$ .

Все это сделано без учета упругих напряжений  
в кристаллах.

Министерство просвещения РСФСР

**Красноярский государственный педагогический институт**

Утверждаю:

Кафедра \_\_\_\_\_

Зав. кафедрой

Дисциплина \_\_\_\_\_

\_\_\_\_\_ 195 г.

\_\_\_\_\_ (факультет, курс)

**Экзаменационный билет № \_\_\_\_\_**

1. \_\_\_\_\_

2. \_\_\_\_\_

3. \_\_\_\_\_

4. \_\_\_\_\_